



ผลงานพีอีชต่อการกำจัดซัลเฟตในน้ำเสียจากการกระบวนการสกิม  
ในอุตสาหกรรมน้ำยางขันโดยใช้ระบบบำบัดแบบไร์อากาศ

**Effect of pH on Sulfate Removal in Anaerobic Treatment of  
Skimed Latex Wastewater**

พิรีภรณ์ ปรีชาเลิศมิตร

Pireeporn Preechalertmit

วิทยานิพนธ์นี้เป็นส่วนหนึ่งของการศึกษาตามหลักสูตรปริญญาวิทยาศาสตรมหาบัณฑิต<sup>๑</sup>  
สาขาวิชาการจัดการสิ่งแวดล้อม<sup>๒</sup>  
มหาวิทยาลัยสงขลานครินทร์<sup>๓</sup>

**A Thesis Submitted in Partial Fulfillment of the Requirements for the Degree of  
Master of Science in Environmental Management**

**Prince of Songkla University**

**2553**

**ลิขสิทธิ์ของมหาวิทยาลัยสงขลานครินทร์**

(1)

**ชื่อวิทยานิพนธ์** ผลงานพิอุชต์ของการกำจัดซัลเฟตในน้ำเสียจากการบวนการสกิน  
ในอุตสาหกรรมน้ำยาหงข์ โดยใช้ระบบบำบัดแบบไร์อากาศ  
**ผู้เขียน** นางสาวพรีภรณ์ ปรีชาเดิมมิตร  
**สาขาวิชา** การจัดการสิ่งแวดล้อม

อาจารย์ที่ปรึกษาวิทยานิพนธ์หลัก	คณะกรรมการสอบ
(ผู้ช่วยศาสตราจารย์ ดร.สุเมธ ไชยประพันธ์)	ประธานกรรมการ (รองศาสตราจารย์ ดร.บรรจง วิทยวีรศักดิ์)
อาจารย์ที่ปรึกษาวิทยานิพนธ์ร่วม (ดร.ปิยะรัตน์ บุญแสง)	กรรมการ (ผู้ช่วยศาสตราจารย์ ดร.วีระศักดิ์ ทองลิมป์)
	กรรมการ (ดร.ปิยะรัตน์ บุญแสง)

บัญชีวิทยาลัย มหาวิทยาลัยสงขลานครินทร์ อนุมัติให้นับวิทยานิพนธ์กับบันทึกเป็นส่วนหนึ่งของการศึกษา ตามหลักสูตรปริญญาวิทยาศาสตร์มหาบัณฑิต สาขาวิชาการจัดการสิ่งแวดล้อม

(รองศาสตราจารย์ ดร.เกริกชัย ทองหนู)  
คณบดีบัณฑิตวิทยาลัย

ชื่อวิทยานิพนธ์	ผลของพีอุชต่อการกำจัดซัลเฟตในน้ำเสียกระบวนการสกินในน้ำเสียอุตสาหกรรมน้ำยาขัน โดยใช้ระบบบำบัดแบบไร์อากาศ
ผู้เขียน	นางสาวพิริภรณ์ ปรีชาเดศมิตร
สาขาวิชา	การจัดการสิ่งแวดล้อม
ปีการศึกษา	2553

### บทคัดย่อ

ในกระบวนการผลิตยางสกินมีการใช้กรดซัลฟูริกในการจับตัวเนื้อยางในหางน้ำยาง ส่งผลให้น้ำเสียสกินซึ่งมีสภาพเป็นกรดสูง พีอุชเฉลี่ย  $2.4 \pm 0.5$  ความเข้มข้นของซีโอดีและซัลเฟตสูงถึง  $14,911 \pm 1,819$  และ  $6,506 \pm 1,038$  มิลลิกรัมต่อลิตรตามลำดับ เมื่อร่วมกับน้ำเสียส่วนอื่นๆ เช่นระบบบำบัดที่มีสภาพไร์อากาศจะก่อให้เกิดปัญหาจากการรีดิวเซชัลเฟตเป็นไฮโดรเจนซัลไฟด์ ซึ่งกัดกร่อนโลหะและเป็นพิษยับยั้งการทำงานของจุลินทรีย์ในระบบบำบัดน้ำเสียได้ วัตถุประสงค์ของงานวิจัยครั้งนี้เพื่อศึกษาผลของพีอุชน้ำเสียสกินต่อการกำจัดซัลเฟต โดยแยกบำบัดขั้นต้นเฉพาะส่วนของน้ำเสียสกินด้วยระบบแบบไร์อากาศเพื่อให้ระบบแบบไร์อากาศที่สามารถมีศักยภาพในการผลิตก๊าซชีวภาพสูงขึ้น โดยแบ่งเป็น 2 การทดลอง คือ การศึกษาผลของพีอุชน้ำเสียต่อการกำจัดซัลเฟตในโดยใช้ระบบไร์อากาศแบบกึ่งต่อเนื่องที่พีอุชตั้งแต่  $2.4$  (ไม่ปรับพีอุช) ถึง  $7$  และการทดลองที่  $2$  เป็นการเปรียบเทียบประสิทธิภาพการกำจัดซัลเฟตของระบบยูเออสบีและเออสบี อาร์ ทำการเดินระบบทั้ง  $2$  ภายใต้สภาพเดียวกัน ผลจากการทดลองที่  $1$  พบว่าระบบที่รับน้ำเสียที่ไม่ปรับพีอุชกำจัดซัลเฟตได้  $7.25 \pm 4.01\%$  ซึ่งมีค่าต่ำที่สุด และเมื่อปรับพีอุชเป็น  $7$  พบว่าระบบมีประสิทธิภาพการกำจัดซัลเฟตได้สูงที่สุดเทียบกับระดับพีอุชอื่น มีค่าเท่ากับ  $45.45 \pm 3.75\%$  ซึ่งแตกต่างกับที่ระดับพีอุชอื่นๆ อย่างมีนัยสำคัญทางสถิติ ( $p < 0.05$ ) และในการทดลองที่  $2$  ปรับพีอุชน้ำเสียเป็น  $7$  ป้อนเข้าสู่ระบบยูเออสบีและเออสบีอาร์ พบว่าระบบทั้งสองมีอัตราส่วนกรดไฮมันระหว่างจ่ายต่อสภาพค้างมากกว่า  $0.8$  และเกิดการล้มเหลวหลังจากเดินระบบได้  $97$  วัน เมื่อปรับพีอุชเป็น  $8$  พบว่าระบบยูเออสบีและระบบเออสบีอาร์มีประสิทธิภาพการกำจัดซัลเฟตได้  $27.37 \pm 2.55\%$  และ  $46.58 \pm 1.98\%$  ตามลำดับ ลักษณะการเดินระบบระบบทั้งสองมีอัตราส่วนกรดไฮมันในเฟสการตกตะกอนก่อนปล่อยน้ำทึ้งอาจสามารถรักษาจุลินทรีย์ชนิดซัลเฟตเรดิวเซแบบที่เรียกว่า "ในระบบ" ได้ดีกว่าระบบยูเออสบี เนื่องจากเชื้อชนิดนี้รวมตัวเป็นเม็ดได้ไม่ดีเทียบกับจุลินทรีย์ชนิดผลิตมีเทน

<b>Thesis Title</b>	Effect of pH on Sulfate Removal in Anaerobic Treatment of Skimed Latex Wastewater
<b>Author</b>	Miss Pireeporn Preechalermit
<b>Major Program</b>	Environmental Management
<b>Academic Year</b>	2010

## **ABSTRACT**

In rubber skim block production process, use of sulfuric acid is a general practice that makes this rubber skim wastewater to be acidic ( $\text{pH } 2.4 \pm 0.5$ ) and high in organics (COD  $14,911 \pm 1,819$  mg/L) and sulfate ( $6,506 \pm 1,038$  mg/L). This wastewater when combined with those from other parts of the factory will cause difficulty in anaerobic treatment systems due to the hydrogen sulfide ( $\text{H}_2\text{S}$ ) produced from the reduction of sulfate. This gas is odorous, corrosive to metals and toxic to microorganisms in the treatment system, thus, pretreatment of this wastewater in separate prior to combining with other wastewaters could facilitate efficient anaerobic digesters that follow. The objectives of this work were first to study the effects of pH of skim wastewater in separate (pH 2.4 to 7) to sulfate removal in anaerobic digestion, and secondly to compare efficiency of upflow anaerobic sludge blanket reactor (UASB) and anaerobic sequencing batch reactor (ASBR) under similar operating regime. Results from the first part indicated that anaerobic digester accepting unadjusted skim rubber wastewater (pH  $2.43 \pm 0.50$ ) has the lowest sulfate removal at only  $7.25 \pm 4.01\%$  while at pH 7 the system posed sulfate removal at  $45.45 \pm 3.75\%$  that is significantly higher than other pH's ( $p < 0.05$ ). In the second part, rubber skim wastewater adjust to pH 7 was used as feed. It was found that both UASB and ASBR could barely maintain the internal pH and finally failed after 97 days of operation. When the wastewater pH was adjusted to 8, sulfate removal at  $27.37 \pm 2.55\%$  and  $46.58 \pm 1.98\%$  could be sustained for UASB and ASBR, respectively. Characteristics of ASBR operation that allows settling phase was thought to enable better retention of sulfate reducing bacteria which generally do not granulate well compared to acidogens and methanogens in the granule forming anaerobic digesters.

## กิตติกรรมประกาศ

วิทยานิพนธ์ฉบับนี้สำเร็จลุล่วงได้ด้วยดี เนื่องด้วยความกรุณาอย่างสูงในการให้คำแนะนำ คำปรึกษา ข้อคิดเห็นที่เป็นประโยชน์ และตรวจสอบข้อบกพร่องต่าง ๆ ด้วยความเจาใจใส่ สนับสนุน และให้กำลังใจมาโดยตลอดจากคณะกรรมการที่ปรึกษาวิทยานิพนธ์ ผู้ช่วยศาสตราจารย์ ดร.สุเมธ ไชยประพันธ์ และดร.ปิยะรัตน์ บุญแสรวง ขอขอบพระคุณรองศาสตราจารย์ ดร.บรรจง วิทยรีศักดิ์ และรองศาสตราจารย์ ดร.วีระศักดิ์ ทองลินปี กรรมการสอบวิทยานิพนธ์ที่กรุณาให้คำแนะนำ และเสนอข้อคิดเห็นที่เป็นประโยชน์ ตลอดจนช่วยตรวจสอบแก้ไขวิทยานิพนธ์ให้มีความสมบูรณ์ยิ่งขึ้น

ขอขอบพระคุณอาจารย์ในคณะกรรมการจัดการสิ่งแวดล้อมทุกท่านที่ได้ให้ความรู้ทางด้านวิชาการตลอดจนข้อคิดเห็นที่เป็นประโยชน์ต่อการทำวิทยานิพนธ์

ขอขอบพระคุณบัณฑิตวิทยาลัย มหาวิทยาลัยสงขลานครินทร์ที่ให้ทุนสนับสนุนในการทำวิทยานิพนธ์ในครั้งนี้

ขอขอบคุณนักวิทยาศาสตร์ เจ้าหน้าที่ห้องปฏิบัติการคณะกรรมการจัดการสิ่งแวดล้อม มหาวิทยาลัยสงขลานครินทร์ที่ได้ให้ความช่วยเหลือด้านการใช้เครื่องมือในห้องปฏิบัติการ ให้คำแนะนำ และช่วยเหลือในการวิเคราะห์ในห้องปฏิบัติการ

ขอขอบคุณ คุณกัญญารัตน์ สุษิลพงศ์พิริยะ (พี่วัน) คุณวรรณฤทธิ์ หวาน เช่ง (พี่ปุ๊ก) คุณอิศรา รักษ์งาม (พี่แอร์) และพี่น้องสาขาวิชาการจัดการสิ่งแวดล้อมรุ่นที่ 18 ที่ให้คำปรึกษาตลอดจนให้กำลังใจ และความช่วยเหลือในงานวิจัยมาด้วยดี

สุดท้ายนี้ผู้วิจัยขอกราบขอบพระคุณ คุณพ่อเจียชุ่ยคิม แซ่เจีย (บิดา) คุณแม่สุ่ยเคิง แซ่เอ้า (มารดา) คุณณรงค์ชัย ปรีชาเดิมมิตร (พี่ง้วง) คุณสุกชัย ปรีชาเดิมมิตร (พี่หมี) และคุณดวง หยาด ปรีชาเดิมมิตร ที่เคยเป็นแรงบันดาลใจ ให้การสนับสนุนและเป็นกำลังใจในการต่อสู้กับปัญหา และอุปสรรคต่าง ๆ มาโดยตลอดจนวิทยานิพนธ์ฉบับนี้สามารถสำเร็จลุล่วงได้ด้วยดี

พิธีกรณ์ ปรีชาเดิมมิตร

## สารบัญ

	หน้า
สารบัญ	(6)
รายการตาราง	(9)
รายการตารางผนวก	(10)
รายการภาพประกอบ	(11)
รายการภาพประกอบผนวก	(13)
สัญลักษณ์คำย่อ และตัวย่อ	(14)
บทที่	
1. บทนำ	1
1.1 บทนำต้นเรื่อง	1
1.2 ตรวจเอกสาร	4
1.3 วัสดุประสงค์	18
1.4 ประโยชน์ที่คาดว่าจะได้รับ	19
1.5 ขอบเขตการวิจัย	19
2. วิธีการวิจัย	20
2.1 วิธีการวิจัย	20
2.1.1 การศึกษาลักษณะน้ำเสียโรงงานอุตสาหกรรมผลิตน้ำยางขัน ในส่วนของกระบวนการจัดการจับตัวทางน้ำยางด้วยกรดซัลฟูริก (น้ำเสียสกิม)	19
2.1.2 การเตรียมตัวอย่างน้ำเสียที่ใช้ในการทดลอง	21
2.1.3 การทดลองที่ 1 การศึกษาทดลองพื้นที่เชิงลึกก่อนเข้าระบบต่อกระบวนการกำจัดซัลเฟตในน้ำเสียสกิม	22
2.1.4 การทดลองที่ 2 เปรียบเทียบประสิทธิภาพในการกำจัดซัลเฟตโดยใช้ระบบ UASB (upflow anaerobic sludge bed) และ ASBR (anaerobic sequencing batch reactor)	23
2.2 วัสดุ	28
2.2.1 สารปรับพื้นที่	28
2.2.2 ตัวอย่างน้ำเสียที่ใช้ในการเดินระบบ	28
2.2.3 ตะกอนหัวเชื้อจุลินทรีย์ (seed)	28

## สารบัญ (ต่อ)

	หน้า
2.2.4 สารเคมีที่ใช้ในเคราะห์พารามิเตอร์ต่าง ๆ	28
2.3 อุปกรณ์ที่ใช้ในการวิจัย	29
2.3.1 อุปกรณ์เก็บตัวอย่างน้ำ	29
2.3.2 อุปกรณ์ที่ใช้ในการวิเคราะห์ลักษณะน้ำเสียในห้องปฏิบัติการ	29
3. ผล และวิจารณ์ผลการวิจัย	30
3.1 ลักษณะน้ำเสียที่ใช้ในการทดลอง	30
3.2 การทดลองที่ 1 ผลของพีเอชต่อกระบวนการกำจัดซัลเฟต ( $\text{SO}_4^{2-}$ ) ในน้ำเสียสกินในระบบไร์อากาศ	31
3.2.1 VFA (volatile fatty acid), สภาพค้าง (alkalinity) และพีเอช	32
3.2.2 ซัลเฟต (sulfate: $\text{SO}_4^{2-}$ )	35
3.2.3 COD (chemical oxygen demand)	38
3.3 การทดลองที่ 2 ผลของระบบไร์อากาศแบบ UASB และ ASBR ในระดับห้องปฏิบัติการ	39
3.3.1 VFA (volatile fatty acid), สภาพค้าง (alkalinity) และพีเอช	39
3.3.2 ซัลเฟต (sulfate: $\text{SO}_4^{2-}$ )	43
3.3.3 COD (chemical oxygen demand)	45
3.3.4 องค์ประกอบของมีเทน และไฮโดรเจนซัลไฟด์	47
3.4 การเปรียบเทียบการทำงานของระบบไร์อากาศที่รับน้ำเสียอุตสาหกรรมยางพาราที่แตกต่างกัน	47
3.4.1 VFA (volatile fatty acid), สภาพค้าง (alkalinity) และพีเอช	49
3.4.2 ซัลเฟต (sulfate: $\text{SO}_4^{2-}$ )	49
3.4.3 COD (chemical oxygen demand)	50
4. บทสรุปและข้อเสนอแนะ	51
4.1 บทสรุป	51
4.2 ข้อเสนอแนะในการทำการวิจัยเพิ่มเติม	51

## สารบัญ (ต่อ)

	หน้า
บรรณานุกรม	53
ภาคผนวก	60
ประวัติผู้เขียน	82

## รายการตาราง

ตาราง	หน้า
1-1 ปริมาณน้ำเสียจากการบวนการผลิตของโรงงานอุตสาหกรรมผลิตน้ำยางขัน	5
1-2 สมบัติของน้ำเสียรวมจากโรงงานอุตสาหกรรมผลิตน้ำยางขัน	5
1-3 สมบัติน้ำเสียจากการบวนการผลิตยางสกิมจากโรงงานอุตสาหกรรมผลิตน้ำยางขัน	5
2-1 พารามิเตอร์และวิธีวิเคราะห์คุณลักษณะน้ำเสีย	20
2-2 ความถี่ในการวิเคราะห์คุณภาพน้ำเสียและน้ำทิ้งที่ผ่านการบำบัดด้วยระบบบำบัดน้ำเสีย UASB และ ASBR	27
3-1 ลักษณะน้ำเสียสกิมจากโรงงานอุตสาหกรรมและเมื่อทำการปรับพื้อเชของน้ำเสีย เป็นระดับต่าง ๆ ด้วยถ้าไม่มียางพารา	30
3-2 ค่า COD และชัลเฟตในน้ำเสีย และน้ำทิ้งของระบบกึ่งต่อเนื่องที่รับน้ำเสียปรับพื้อเชระดับต่าง ๆ ณ สภาวะคงตัว	38
3-3 เปรียบเทียบประสิทธิภาพการทำงานของระบบ UASB และ ASBR ที่รับน้ำเสียเข้าระบบปรับพื้อเชเป็น 8 ณ สภาวะคงตัว	42
3-4 เปรียบเทียบลักษณะน้ำเสียที่ป้อนเข้าระบบ UASB 1, UASB 2 และ ABR	48
3-5 เปรียบเทียบลักษณะน้ำทิ้งและประสิทธิภาพของระบบ UASB 1, UASB 2 และ ABR	48

## รายการตารางผนวก

ตารางผนวก	หน้า
ก-1 ผลการวิเคราะห์ทางเคมีของน้ำเสีย น้ำทิ้ง และประสิทธิภาพการทำงานของระบบบำบัดแบบกะกึ่งต่อเนื่องที่รับน้ำเสียสกimmerที่ปรับพื้นที่ด้วยถ่านไม้ขังพาราที่ระดับต่าง ๆ	61
ก-2 ผลของการวิเคราะห์ทางเคมีของน้ำเสีย และน้ำทิ้ง, ผลการวิเคราะห์น้ำเสีย และน้ำทิ้งของระบบ UASB และ ASBR, พีอช 7	70
ก-3 ผลของการวิเคราะห์ทางเคมีของน้ำเสีย และน้ำทิ้ง, ผลการวิเคราะห์น้ำเสีย และน้ำทิ้งของระบบ UASB และ ASBR, พีอช 8	73
ก-4 ผลของการวิเคราะห์ทางเคมีของน้ำเสีย และน้ำทิ้ง, ผลการวิเคราะห์น้ำเสีย และน้ำทิ้งของระบบ UASB 1	75
ก-5 ผลของการวิเคราะห์ทางเคมีของน้ำเสีย และน้ำทิ้ง, ผลการวิเคราะห์น้ำเสีย และน้ำทิ้งของระบบ ASBR	76
ข-1 ตารางแสดงค่า $pK'$ ที่ระดับ Ionic Strength และอุณหภูมิต่าง ๆ	79

## รายการภาพประกอบ

ภาพประกอบ	หน้า
1-1 การจับตัวของจุลินทรีย์เป็นเม็ดตะกอน	9
1-2 แบบจำลองแสดงการทำงานของระบบ UASB	9
1-3 ลักษณะเม็ดตะกอนจุลินทรีย์ (ขนาด 0.5-2 mm)	10
2-1 ถังเก็บรวมน้ำเสีย (Storage Tank) และจุดเก็บตัวอย่างน้ำเสีย	21
2-2 ไร์อากาศแบบกะกึ่งต่อเนื่อง (ชุดการทดลองขั้นต้น)	22
2-3 แบบจำลองระบบบำบัดน้ำเสีย UASB ในห้องปฏิบัติการ	24
2-4 แบบจำลองระบบบำบัดน้ำเสีย ASBR ในห้องปฏิบัติการ	26
3-1 สภาพความเป็นกรดในระบบกะกึ่งต่อเนื่อง ที่รับน้ำเสียที่ระดับพีเอชต่าง ๆ (a) พีเอช 2.43, (b) พีเอช 4, (c) พีเอช 5, (d) พีเอช 6 และ (e) พีเอช 7	33
3-2 ปริมาณ VFA ในน้ำเสียที่ปรับพีเอชระดับต่าง ๆ และน้ำทิ้งจากระบบไร์อากาศ แบบกะกึ่งต่อเนื่อง ณ สภาวะคงตัว	34
3-3 พีเอช และสภาพค่าคงในน้ำทิ้งจากระบบแบบกะกึ่งต่อเนื่องที่รับน้ำเสียสกินปรับ พีเอชระดับต่าง ๆ ณ สภาวะคงตัว	34
3-4 พีเอช และ VFA/ALK ratio ของระบบแบบกะกึ่งต่อเนื่องที่รับน้ำเสียสกินปรับ พีเอชระดับต่าง ๆ ณ สภาวะคงตัว	35
3-5 ประสิทธิภาพการกำจัด COD และชัลเฟตของระบบกะกึ่งต่อเนื่องโดย (a) พีเอช 2.43, (b) พีเอช 4, (c) พีเอช 5, (d) พีเอช 6 และ (e) พีเอช 7	37
3-6 ประสิทธิภาพการกำจัด COD และชัลเฟตของระบบแบบกะกึ่งต่อเนื่องที่รับน้ำเสีย ปรับพีเอชระดับต่าง ๆ ณ สภาวะคงตัว	37
3-7 VFA และพีเอชในน้ำเสียเข้า และน้ำทิ้งจากระบบ UASB	40
3-8 VFA และพีเอชในน้ำเสียเข้า และน้ำทิ้งจากระบบ ASBR	41
3-9 VFA/ALK ratio ของน้ำเสียเข้า และน้ำทิ้งจากระบบ UASB และ ASBR	42
3-10 ประสิทธิภาพการกำจัดชัลเฟต ความเข้มข้นของชัลเฟตในน้ำเสียเข้าระบบ และน้ำทิ้งจากระบบ UASB	44
3-11 ประสิทธิภาพการกำจัดชัลเฟต ความเข้มข้นของชัลเฟตในน้ำเสียเข้าระบบ และน้ำทิ้งจากระบบ ASBR	44

## รายการภาพประกอบ (ต่อ)

	หน้า
3-12 ประสิทธิภาพการกำจัด COD ความเข้มข้นของ COD ในน้ำเสียเข้าระบบ และนำทิ้งจากระบบ UASB	46
3-13 ประสิทธิภาพการกำจัด COD ความเข้มข้นของ COD ในน้ำเสียเข้าระบบ และนำทิ้งจากระบบ ASBR	46

## รายการภาพประกอบพนวก

ภาพประกอบพนวก	หน้า
ข-1 ความสัมพันธ์ระหว่างพิอิเซกับการเปลี่ยนแปลงของชัลไฟด์ 77	
ข-2 สัดส่วนของ $H_2S$ และ $HS^-$ ของชัลไฟด์ในน้ำ 78	
ข-3 ความสัมพันธ์ระหว่าง Ionic Strength กับการเปลี่ยนแปลงร้อยละไฮโดรเจนชัลไฟด์ 80	

## สัญลักษณ์คำย่อ และตัวย่อ

ALK.	= alkalinity คือ ความสามารถของน้ำในการรับอนุภาค  proton ซึ่งส่วนใหญ่เกิดจากองค์ประกอบของสารละลายcarbонат และไบ卡ربอเนต
Ash	= เศษจากไม้ยางพารา
COD	= chemical oxygen demand คือ ความต้องการออกซิเจนทั้งหมดในการออกซิไดซ์สารอินทรีย์ด้วยวิธีทางเคมี
Eff	= effluent คือ น้ำทิ้งจากระบบ
HRT	= hydraulic retention time คือ ระยะเวลาที่น้ำเสียถูกกักพักอยู่ในระบบ
$H_2S$	= hydrogen sulfide คือ ไฮโดรเจนซัลไฟฟ์ เป็นสารประกอบซัลไฟฟ์ที่สามารถอยู่ในรูปละลายน้ำ (dissolved $H_2S$ ) หรืออยู่ในรูปของก๊าซซึ่งไม่แตกตัวเป็นอิออน มีกลิ่นเหม็นหรือที่เรียกว่าก๊าซไข่เน่า
Inf	= influent คือ น้ำเสียที่เข้าระบบ
Mean	= ค่าเฉลี่ย
MPB	= methane production bacteria คือ กลุ่มจุลินทรีย์ที่ผลิตมีเทนจากการใช้ VFA เป็นอาหาร ได้มีเทน และการรับอนไดออกไซด์เป็นผลผลิตสุดท้าย
Range	= ช่วงของข้อมูลต่ำสุด และสูงสุด
SRB	= sulfate reducing bacteria คือ กลุ่มจุลินทรีย์ที่รีดิวเซชัลเฟต โดยสามารถใช้ซัลเฟตเป็นตัวรับอิเล็กตรอนตัวสุดท้าย และได้ซัลไฟฟ์เป็นผลผลิตสุดท้าย
SRR	= sulfate reducing reactor คือ ระบบบำบัดไร้อากาศกำจัดซัลเฟตจากน้ำเสีย โดยอาศัยการทำงานของจุลินทรีย์กลุ่มรีดิวเซชัลเฟต
SD	= ค่าเบี่ยงเบนมาตรฐาน
$SO_4^{2-}$	= sulfate คือ ปริมาณซัลเฟต
$S^{2-}$	= sulfide คือ ซัลเฟตที่แตกตัวเป็นซัลไฟฟ์ จากกระบวนการรีดิวเซชัลเฟต
$S_T$	= total Sulfide คือ ปริมาณซัลไฟฟ์ทั้งหมด ซึ่งประกอบด้วย $H_2S$ , HS- และ $S^{2-}$
UASB	= upflow anaerobic sludge blanket reactor คือ ระบบชั้นตะกอนไร้อากาศแบบไอลชัน มีลักษณะเป็นถังสูง โดยอาศัยการไอลชันของน้ำเสียภายในระบบผ่านชั้นตะกอนจุลทรีย์ที่อยู่บริเวณส่วนล่างของถัง
VFA	= volatile fatty acid, กรดไขมันระเหยง่าย คือ กรดอินทรีย์ที่มีการรับอนอะตอนไม่เกิน 6 ตัว สามารถละลายน้ำได้ น้ำหนักโมเลกุลต่ำ สามารถกลั่นตัวได้ที่ความดันบรรยายกาศ

## บทที่ 1

### บทนำ

#### 1.1 บทนำต้นเรื่อง

ยางพาราถือเป็นพืชเศรษฐกิจที่สำคัญอีกชนิดหนึ่งของประเทศไทย ในปี พ.ศ. 2551 ประเทศไทยมีเนื้อที่กรีดยางได้ 11 ๓๗๑ ๔๗ ไร่ ให้ผลผลิต 3 ๑๖๖ ๘๔๓ ตัน และได้มีการพยากรณ์ เนื้อที่กรีดยางได้ในเดือนกันยายน พ.ศ. 2552 ประมาณ 11 ๕๘ ๑๖๕ ไร่ ให้ผลผลิตประมาณ 3 ๑๗๕ ๘ ๓ ตัน โดยคิดเป็นพื้นที่ในจังหวัดสงขลาประมาณ 1 ๑๘๖ ๗๓๘ ไร่ ให้ผลผลิตประมาณ 342 ๙๖๗ ตัน (สำนักงานเศรษฐกิจการเกษตร ๒๕๕๒) โดยในปี พ.ศ. ๒๕๕๑ ประเทศไทยมีการส่งออกยางพาราถึง 2 ๙๖๖ ๑๒๘ ตัน คิดเป็นมูลค่าการส่งออก 194 ๓๕๖.๓๗ ล้านบาท และในปี พ.ศ. ๒๕๕๑ มีปริมาณการส่งออกยางพาราถึง 2 ๘๓๒ ๗๗๒ ตัน คิดเป็นมูลค่าการส่งออก 223 ๖๒๘.๓ ล้านบาท (สำนักงานเศรษฐกิจการเกษตร ๒๕๕๒) การส่งออกยางธรรมชาติของประเทศไทยนั้นสามารถแบ่งได้หลายประเภท ได้แก่ ยางแผ่นร่มควัน ยางแท่ง น้ำยางข้น ยางผสม และอื่นๆ ในปัจจุบัน อุตสาหกรรมผลิตน้ำยางข้นเป็นอุตสาหกรรมที่มีการแข่งขันค่อนข้างสูงทั้งในและต่างประเทศ ในปี พ.ศ. ๒๕๕๑ ประเทศไทยมีการผลิตน้ำยางข้น 663 ๙๒๖ ตัน และส่งออกสูงถึง 5 ๑ ๔๘๙ ตัน และในปี พ.ศ. ๒๕๕๑ ประเทศไทยมีการผลิตน้ำยางข้น 587 ๑๔๗ ตัน และส่งออกสูงถึง 5 ๙ ๓๗๕ ตัน (สถาบันวิจัยยาง ๒๕๕๒)

อุตสาหกรรมผลิตน้ำยางข้นเป็นอุตสาหกรรมการแปรรูปน้ำยางสดให้เป็นน้ำยางข้นเพื่อใช้ เป็นวัตถุคุณภาพในการแปรรูปเป็นผลิตภัณฑ์ต่าง ๆ เช่น ถุงมือยาง ถุงโภชนาടก เครื่องมือทางการแพทย์ และที่นอนฟองน้ำ เป็นต้น ในกระบวนการผลิตน้ำยางข้น และยางสกimmerที่มีการใช้กรดซัลฟูริก (sulfuric acid  $\text{H}_2\text{SO}_4$ ) ในการจับตัวกับเศษเนื้อยาง ก่อให้เกิดน้ำเสียปริมาณมากทำให้คุณลักษณะของน้ำเสียที่นิยมใช้ในการจัดการน้ำเสียส่วนใหญ่นิยมใช้บ่อหมัก ไร้อากาศ แต่ยังคงก่อให้เกิดปัญหาระบบบำบัดน้ำเสียที่เหม็นได้ ทำให้เกิดความเดือดร้อนร้าวความของประชาชนที่อาศัยอยู่โดยรอบ (กรมควบคุมมลพิษ ๒๕๔๘) กล่าวคือกลิ่นเหม็นที่เกิดขึ้นมักมีองค์ประกอบของไฮโดรเจนซัลไฟด์ (hydrogen sulfide  $\text{H}_2\text{S}$ ) ที่เกิดจากการย่อยสลายสารอินทรีย์แบบ ไร้อากาศโดยกลุ่มชัลเฟต์รีดิวเชชั่นแบคทีเรีย (sulfate reducing bacteria SRB) ทำหน้าที่รีดิวเชชัลเฟต ไปเป็นไฮโดรเจนซัลไฟด์ ทำให้ผู้ประกอบการ

ตัดสินใจที่จะใช้ระบบบำบัดน้ำเสียแบบเติมอากาศ เพื่อเป็นการลดปัญหาเรื่องกลิ่น ไฮโดรเจนซัลไฟด์ส่งผลให้ผู้ประกอบการต้องรับภาระต้นทุนที่สูงขึ้นจากการเติมอากาศให้กับระบบบำบัดน้ำเสีย โดยที่ระบบบำบัดแบบเติมอากาศนั้นจะไม่มีการทำจัดซัลเฟต แต่จะออกซิไดซ์ ซัลเฟอร์ให้เป็นซัลเฟต (Lens *et al.*, 1998) นอกจากปัญหาเรื่องกลิ่นจากไฮโดรเจนซัลไฟด์แล้ว ซัลเฟตที่อยู่ในน้ำเสีย เมื่อเข้าสู่กระบวนการหมักแบบไร้อากาศ จะแตกตัวเป็นซัลไฟด์ ซึ่งเป็นพิษ ต่อจุลินทรีย์ในระบบบำบัดน้ำเสีย โดยเฉพาะ MPB (methane production bacteria) ซึ่งเป็นจุลินทรีย์ ที่มีความอ่อนไหวต่อการเปลี่ยนแปลงของสภาพแวดล้อมสูง เนื่องจากไฮโดรเจนซัลไฟด์สามารถ แพร่ผ่านเยื่อหุ้มเซลล์ (cell membrane) ของจุลินทรีย์ได้อย่างรวดเร็ว (Bitton 2005) ปริมาณ และ ความเป็นพิษของซัลไฟด์จะมีความสัมพันธ์ต่อการเปลี่ยนแปลงของค่าพีเอช ดังนั้นการติดตั้งระบบ บำบัดน้ำเสียที่แบ่งเป็น 2 ส่วน คือ ส่วนที่ 1 กำจัดซัลเฟตที่อยู่ในน้ำเสียออกไประบบ SRR) ซึ่งเป็นระบบบำบัดน้ำเสียแบบไร้อากาศ และส่วนที่ 2 คือ ส่วนที่รับน้ำเสียจากส่วน แรกเข้าสู่ระบบไร้อากาศเพื่อทำการบำบัดและผลิตก๊าซชีวภาพ ซึ่งการแยกการบำบัดเป็น 2 ส่วนนี้ จะเป็นการเพิ่มประสิทธิภาพให้กับการผลิตก๊าซชีวภาพอีกทางหนึ่ง (Lopes *et al.*, 2006) จากเหตุผล ข้างต้น ระบบไร้อากาศแบบปิดจึงน่าจะเป็นอีกทางเลือกที่สามารถช่วยลดปัญหาเรื่องกลิ่นเหม็น และต้นทุนในการดูแลระบบบำบัดน้ำเสียได้ พร้อมทั้งยังให้ก๊าซชีวภาพ (biogas) เป็นผลผลอยได้ อีกด้วย

น้ำเสียที่เกิดจากอุตสาหกรรมน้ำยาหงึ้นนั้นจะมีค่าพีเอชที่แตกต่างกันออกไปขึ้นอยู่กับ กรรมวิธีการผลิตของอุตสาหกรรมนั้น ๆ โดยที่น้ำเสียที่เกิดจากการผลิตยางสกิมเครฟ และน้ำยาหงີ ขึ้น ซึ่งเป็นกระบวนการผลิตที่ดำเนินควบคู่กันไปนั้น มีค่าพีเอชที่แตกต่างกันมาก หากน้ำเสียเหล่านี้ ถูกปล่อยสู่ระบบบำบัดน้ำเสีย อาจส่งผลให้มีสภาพที่ไม่เหมาะสมต่อการเจริญเติบโตของจุลินทรีย์ และอาจส่งผลให้ประสิทธิภาพการทำงานของจุลินทรีย์ในระบบบำบัดน้ำเสียลดลงได้ เนื่องจาก จุลินทรีย์จะเจริญได้ที่พีเอชระหว่าง 6-9 (ดวงพร คันธ์ ใจดี 2545) โดยน้ำเสียรวมนั้นจะมีค่าพีเอช อยู่ในช่วง 4.7-5.1 ในขณะที่น้ำล้าง และน้ำเสียสกิมมีค่าพีเอชอยู่ในช่วง 7.1-8.3 และ 3.2-4.9 ตามลำดับ (พัฒนวรรณ วิทยากร 2545) ดังนั้นการปรับพีเอชของน้ำเสียก่อนปล่อยเข้าสู่ระบบ บำบัดน้ำเสียจึงมีความสำคัญ มีการปฏิบัติ 2 ขั้นตอน คือ การปรับพีเอชก่อนเข้าสู่บ่อตักยาง และการ ปรับพีเอชของน้ำเสียหลังออกจากบ่อตักยาง หรือก่อนน้ำเสียรวมจะเข้าสู่ระบบบำบัดแบบชีวภาพ ให้ค่าพีเอชสูงขึ้นจนสูงสุดเป็นกลาง (วันชัย แก้วยอด 2547) เพื่อให้จุลินทรีย์ในระบบบำบัดน้ำเสียสามารถทำงานได้ดีขึ้น นอกจากนั้นการปรับพีเอชยังเป็นการป้องกันการเกิดกลิ่นเหม็นโดยให้ เกิดการรีดักชันของซัลเฟตด้วยแบคทีเรียให้อยู่ในรูป  $\text{HS}^-$  ที่ไม่มีกลิ่น เพื่อป้องกันการเกิดก๊าซ ไฮโดรเจนซัลไฟด์ในบ่อบำบัดน้ำเสียซึ่งมีกลิ่นเหม็น แต่จากการศึกษาของ Lopes และคณะ (2007)

พบว่าที่พื้นที่ (4-6) ระบบบังคับสามารถรีดิวซ์ชัลเฟตได้ ในการปรับพื้นที่ของน้ำเสียมีวัสดุปรับพื้นที่หลากหลายให้เลือกใช้ โดยส่วนใหญ่สารปรับพื้นที่นิยมใช้ คือ ปูนขาว นอกจากนี้ยังสามารถใช้วัสดุปรับพื้นที่ชนิดอื่นได้ เช่น โซดาไฟ ( $\text{NaOH}$ ) โซดาแอลช ( $\text{Na}_2\text{CO}_3$ ) และถ้าไม่มียางพารา (parawood ash) โรงงานอุตสาหกรรมส่วนใหญ่นิยมใช้ปูนขาวในการปรับพื้นที่ของน้ำเสีย ปริมาณการใช้ปูนขาวเฉลี่ยของแต่ละโรงงานนั้นอยู่ในช่วง  $3 - 5 \text{ kg/day}$

ในแต่ละกระบวนการผลิตของโรงงานอุตสาหกรรมนั้น นำเสียแต่ละส่วนจะถูกปล่อยออกมานมัสเป็นก้อน นำเสียจากการกระบวนการผลิตยางสกินจะถูกปล่อยเมื่อสิ้นสุดการผลิตในแต่ละวัน ทำให้มีเพียงนำเสียจากกระบวนการผลิตนำยางขันที่เข้าระบบบำบัดโดยไม่มีการผสมกับนำเสียจาก การผลิตยางสกิน ส่วนกระบวนการเติมปูนขาวนั้นยังคงดำเนินไปตามปกติ ทำให้นำเสียมีค่าพิเศษ สูงเกินความต้องการของระบบ ส่งผลให้ระบบทำงานได้ไม่เต็มที่ สิ้นเปลืองค่าใช้จ่ายสำหรับปูนขาว และระบบบำบัดนำเสียอาจตื้นเบินเร็วกว่าปกติอันเกิดจากการสะสมของปูนขาวที่ใช้ นอกเหนือนี้ การบำบัดนำเสียที่มีลักษณะและปริมาณของนำเสียที่แตกต่างกันร่วมกัน กล่าวคือนำเสียสกินมีความเข้มข้นของซัลเฟตและ COD สูงกว่านำเสียจากการล้างเครื่องปั่นนำยางขัน เมื่อนำนำเสียทึ้ง 2 ส่วนผสมกันจะเป็นการเพิ่มปริมาณนำเสีย ส่งผลให้ขนาดของระบบบำบัดนำเสียต้องมีขนาดใหญ่ขึ้นตามไปด้วยเพื่อเพียงพอต่อการรองรับปริมาณนำเสียที่เกิดขึ้นทั้งหมด และยังเป็นการเพิ่มความเข้มข้นของนำเสียรวมให้มีความเข้มข้นของ COD และซัลเฟตสูงขึ้นอีกด้วย ดังนั้นการแยกขั้นตอนการเฉพาะส่วนนำเสียที่มีความเข้มข้นของซัลเฟต COD และความเป็นกรดสูง จึงเป็นอีกทางเลือกหนึ่งที่จะสามารถลดขนาดของระบบบำบัดนำเสียลง

การบำบัดน้ำเสียที่มีความเข้มข้นของ COD และซัลเฟตในน้ำเสียสูงนั้น จึงหมายที่จะใช้ระบบไร์อักเตแบบปิด เนื่องจากในปัจจุบันนี้ได้มีการพัฒนาระบบที่มีประสิทธิภาพสูง โดยระบบบำบัดน้ำเสียแบบ upflow anaerobic sludge blanket (UASB) เป็นระบบที่มีประสิทธิภาพสูง มีระยะกักพักทางชลศาสตร์สั้น และมีความสามารถในการเลี้ยงตะกอนจุลินทรีย์ในระบบได้ โดยมีการรวมตัวกันเป็นเม็ดตะกอนจึงเป็นการรักษาความเข้มข้นของจุลินทรีย์ในระบบ อีกระบบที่มีการพัฒนาอย่างมากในปัจจุบันคือ ระบบ anaerobic sequencing batch reactor (ASBR) เป็นระบบที่มีการเลี้ยงตะกอนจุลินทรีย์มีความเข้มข้นสูง เช่น กัน อีกทั้งยังใช้ได้กับน้ำเสียที่มีตะกอนแขวนลอย การก่อสร้างระบบไม่ซับซ้อน ระบบมีความยืดหยุ่นสามารถปรับการทำงานให้สอดคล้องกับน้ำเสีย เนื่องจากเป็นระบบที่มีการป้อนน้ำเสียแบบงวด (batch) ซึ่งแตกต่างกับระบบ UASB ที่มีการป้อนน้ำแบบต่อเนื่อง ดังนั้นหากโรงงานอุตสาหกรรมจะทำการปรับปรุงหรือเปลี่ยนแปลงระบบบำบัดน้ำเสีย ระบบ ASBR และระบบ ASBR จึงเป็นอีกด้วยที่มีประสิทธิภาพสูงและสามารถปรับเปลี่ยนได้ตามความต้องการ

ดังนั้น ผู้วิจัยจึงเลือกใช้วิธีการศึกษาผลของพื้นที่ทดลองที่มีความเข้มข้นสูงในน้ำเสียยางสกิน โดยการปรับพื้นที่ของน้ำเสียก่อนทำการบำบัดด้วยถ่านไม้ย่างพารา และทำการบำบัดด้วยระบบบำบัดน้ำเสียแบบไร์อَاค่า โดยเลือกศึกษาเปรียบเทียบประสิทธิภาพของระบบ UASB และ ASBR ทั้งนี้เพื่อเพิ่มประสิทธิภาพการกำจัดชัลเฟตในน้ำเสียสกิน เพื่อลดปริมาณการใช้สารเคมีในการปรับพื้นที่ลดค่าใช้จ่ายในการเติมอากาศให้กับระบบบำบัดน้ำเสีย เพิ่มประสิทธิภาพการบำบัดน้ำเสีย เพิ่มความสามารถในการผลิตก๊าซชีวภาพของระบบไร์อَاค่าที่รับน้ำเสียผ่านการกำจัดชัลเฟตแล้ว และเป็นแนวทางในการจัดการน้ำเสียที่มีปริมาณชัลเฟตสูงได้ดีต่อไป

## 1.2 ตรวจเอกสาร

### 1.2.1 น้ำเสียจากกระบวนการผลิตน้ำยาฆ่าเชื้อและยางสกินเครฟ

จากการสำรวจความสามารถในการผลิตของกลุ่มโรงงานอุตสาหกรรมยางในจังหวัดสงขลาของวันนี้ แก่รายอุด (254) พบว่าความสามารถในการผลิตมีความแตกต่างกัน ขึ้นกับขนาดกำลังการผลิตของเครื่องจักร คุณภาพ และความสามารถในการแข่งขันเรื่องราคา อันเป็นสาเหตุให้ปริมาณน้ำเสียที่เกิดจากกระบวนการผลิตมีปริมาณที่แตกต่างกัน ไปดังแสดงในตารางที่ 1-1 อย่างไรก็ตาม เมื่อทำการเปรียบเทียบอัตราการเกิดน้ำเสียจากการผลิตน้ำยาฆ่าเชื้อ 1 ตัน จะมีค่าประมาณ  $2.71\text{--}5.46 \text{ m}^3/\text{ton}_{\text{product}}$  ซึ่งน้ำเสียส่วนใหญ่มาจากการล้างทำความสะอาดเครื่องปั่น และพื้นที่การปั่นแยกบางส่วนมาจาก การทำความสะอาดบ่อพักน้ำยาฆ่าเชื้อ และการบรรจุน้ำยาฆ่าเชื้อ มีปริมาณไม่มากนัก ส่วนของการจับตัวหางน้ำยาฆ่าเชื้อกรณีชัลฟูริก มีอัตราการเกิดน้ำเสียประมาณ  $24.91\text{--}65.33 \text{ m}^3/\text{ton}_{\text{product}}$  หรือคิดเป็นร้อยละ 24 ของน้ำเสียทั้งหมด (กรมควบคุมมลพิษ 2548) เป็นน้ำเสียในบ่อจับตัวหางหลังจากการคัดแยกเนื้ออย่างออก ไปแล้ว ซึ่งประกอบด้วยน้ำซีรั่วน้ำยาฆ่าเชื้อ และกรดชัลฟูริกที่ผสมลงไปเพื่อจับเนื้อยาง น้ำเสียทั้ง 2 ส่วนมีคุณสมบัติที่แตกต่างกัน ดังแสดงในตารางที่ 1-2 และ 1-3 เนื่องจากน้ำเสียจากการผลิตน้ำยาฆ่าเชื้อ มีอนุภาคของเนื้อยางปนอยู่มาก และมีการปนเปื้อนของแอมโมเนียม ( $\text{NH}_3$ ) ที่ใช้รักษาสภาพน้ำยาฆ่าเชื้อ แต่น้ำเสียจากการกระบวนการจับตัวหางน้ำยาฆ่าเชื้อกรณีชัลฟูริก เกิดจากการคัดแยกเนื้อยาง โดยใช้กรด และมีความปนเปื้อนที่สูงกว่า

ปัญหาสำคัญที่เกิดจากน้ำเสียโรงงานอุตสาหกรรมน้ำยาฆ่าเชื้อ (กรมควบคุมมลพิษ 2548) ที่ใช้ระบบบำบัดน้ำเสียแบบบ่อหมักไร์อَاค่า คือ เรื่องกลิ่นเหม็นจากไอก่อเจนชัลไฟฟ์ก่อให้เกิดความรำคาญแก่ประชาชนโดยรอบ เนื่องจากในกระบวนการผลิตมีการใช้กรดชัลฟูริก ส่งผลให้น้ำเสียมีปริมาณชัลเฟตสูง เมื่อน้ำเสียผ่านการบำบัดแบบไร์อَاค่า ทำให้เกิดก๊าซไอก่อเจนชัลไฟฟ์ขึ้น

ตารางที่ 1-1 ปริมาณน้ำเสียจากการบวนการผลิตของโรงงานอุตสาหกรรมผลิตน้ำยาขัน

กระบวนการผลิต	ผลผลิต (ton/day)	ปริมาณน้ำเสียที่เกิดขึ้น (m <sup>3</sup> /day)	อัตราการเกิดน้ำเสียต่อผลผลิต (m <sup>3</sup> /ton product)
น้ำยาขัน	15.56-52.74	55.76-215.3	2.71-5.46
ยางสกิมเครป	78-3.56	26.63-26.18	24.91-65.33

ที่มา: ดัดแปลงจาก วันชัย แก้วยอด (254)

ตารางที่ 1-2 สมบัติของน้ำเสียรวมจากโรงงานอุตสาหกรรมผลิตน้ำยาขัน

Parameter	น้ำเสียรวม	
	Range	Mean±SD
BOD <sub>5</sub> (mg/L)	245-821	4486 ± 1534
COD (mg/L)	476-12177	8217 ± 2152
SS (mg/L)	35-268	1226 ± 653
Sulfate (mg/L)	44-2262	1198 ± 616
Total Sulfide (mg/L)	4-8.1	2.55 ± 5.64
Dissolved Sulfate (mg/L)	4-3	49 ± 94
Hydrogen Sulfide (mg/L)	4-2.87	27 ± 78
pH	3.72 - 7.96	5.7 ± 1.26

ที่มา : ดัดแปลงจาก พัฒนารณ วิทยกุล 2544

ตารางที่ 1-3 สมบัติน้ำเสียจากการบวนการผลิตยางสกิม จากโรงงานอุตสาหกรรมผลิตน้ำยาขัน

Parameter	น้ำเสียรัม	
	Range	Mean
BOD <sub>5</sub> (mg/L)	11282-1852	15247
COD (mg/L)	28756-3815	3256
SS (mg/L)	34-52	44
TKN (mg/L)	491-5992	5371
TP (mg/L)	399-597	533
VFA (mg/L as CH <sub>3</sub> COOH)	1.25-15.8	1338
Sulfate (mg/L)	4924-6191	5411
pH	3.2-4.9	4.5

ที่มา: ดัดแปลงจาก พชราภรณ์ จ่าแก้ว (2546) และวรพันธ์ ราชวัตร (2545)

### 1.2.2 การบำบัดน้ำเสียแบบไร์อากาศ

ระบบบำบัดน้ำเสียแบบไร์อากาศ ทำการบำบัดน้ำเสียโดยใช้จุลทรี (*anaerobic bacteria*) ที่ดำรงชีพไม่ต้องการออกซิเจนอิสระ ดังนั้นจึงไม่มีการเติมอากาศให้กับน้ำเสียในระบบบำบัด ปฏิกิริยาการบำบัดน้ำเสียไม่ว่าจะเป็นแบบใช้หรือไม่ใช้อากาศ ต่างมีกลไกพื้นฐานร่วมกันคือ เป็นปฏิกิริยาที่มีการถ่ายเทอิเล็กตรอน ( $e^-$ ) ความแตกต่างระหว่างปฏิกิริยาที่ใช้อากาศ และไม่ใช้อากาศ อยู่ที่ประเภทของสารรับอิเล็กตรอน สำหรับปฏิกิริยาที่ไม่ใช้ออกซิเจนเป็นตัวรับ อิเล็กตรอน (*anaerobic respiration*) จะมีสารรับอิเล็กตรอน คือ ชาลเฟต ( $\text{NO}_3^-$ ) หรือ คาร์บอนไดออกไซด์ ( $\text{CO}_2$ ) หากใช้ชนิดอิเล็กตรอนเป็นเกลที่ในการแบ่งเป็น หลักสามารถแบ่งแบคทีเรียออกไซด์ (*denitrifier*) แบคทีเรียสร้างมีเทน (*MPB*) และแบคทีเรียดิวัชิงชาลเฟต (*SRB*) หากแบ่งชนิดของ ปฏิกิริยาออกซิเดชัน–รีดักชันที่เกิดขึ้นภายในเซลล์ของจุลทรีสามารถแบ่งออกเป็น 2 ประเภท ตามสารรับอิเล็กตรอน คือ

1) การหมัก (*Fermentation*) คือ ปฏิกิริยาออกซิเดชัน–รีดักชันของสารอินทรีที่เกิดขึ้นใน ภาวะที่ไม่มีสารรับอิเล็กตรอนภายนอก

2) การหายใจ (*Respiration*) คือ ปฏิกิริยาออกซิเดชัน–รีดักชันที่มีสารภายนอกเป็นสารรับ อิเล็กตรอนตัวสุดท้าย

การย่อยสลายสารอินทรีของจุลทรีในระบบบำบัดแบบไร์อากาศ ปฏิกิริยาชีวเคมีที่ เกิดขึ้น และเปลี่ยนสารอินทรีเป็นมีเทน  $\text{CH}_4$  คาร์บอนไดออกไซด์  $\text{CO}_2$  และก๊าซอื่น ๆ มีลักษณะเป็น ขั้นตอน ด้วยแบคทีเรีย 2 กลุ่ม (เกรียงศักดิ์ อุณหสิน โภจน์ 2543) โดยมีขั้นตอนต่าง ๆ ดังนี้ คือ

#### 1) กระบวนการไฮโดรไลซิส (*Hydrolysis*)

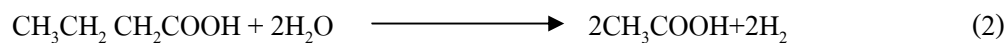
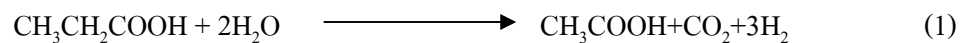
ในกระบวนการนี้สารโมเลกุลใหญ่ เช่น คาร์บอไฮเดรต โปรตีน และไขมัน ซึ่งมีขนาดใหญ่ เกินกว่าแบคทีเรียดูดซึมเข้าเซลล์ได้ จะถูกย่อยสลายให้ลายเป็นสารโมเลกุลที่เล็กลง เช่น นำตาล กลูโคส  $\text{C}_6\text{H}_{12}\text{O}_6$  และกรดไขมันสามารถดูดซึมเข้าสู่เยื่อหุ้มเซลล์ของแบคทีเรีย โดยแบคทีเรีย กลุ่มที่เรียกว่า *hydrolyzing bacteria* ที่ผลิตเอนไซม์ และปล่อยออกมายจากเซลล์ (*slimy* นิ่มรัตน์ 2548) กระบวนการนี้จะไม่มีการลดค่า COD (กรมโรงงานอุตสาหกรรม 2545) เพราะเป็นขั้นตอนที่ เปลี่ยนสารอินทรีที่มีโมเลกุลใหญ่ไปเป็นสารประกอบโมเลกุลขนาดเล็กลงเท่านั้น (สันทัด ศิริอนันต์ ไฟนูลย์ 2549) กระบวนการที่เกิดขึ้นในขั้นตอนนี้เกิดขึ้นก่อนข้างซ้า และเป็นขั้นตอนที่ ขึ้นกับปัจจัยหลายประการ เช่น ความเข้มข้นของสารอินทรีตั้งต้น ความเข้มข้นของเอนไซม์ อุณหภูมิ พิอ็อกซิเจน ที่ผิวดินพัสดุระหว่างสารอินทรีกับเนื้อไชม์ เป็นต้น (มั่นสิน ตันทุลาเวศ 2546)

## 2) กระบวนการสร้างกรด (Acidogenesis)

ในกระบวนการนี้จะเกิดการย่อยสลายสารโมเลกุลขนาดเล็กที่ได้จากการแปรรูป (น้ำตาลกลูโคส กรดอะมิโน และกรดไขมัน) ด้วยกระบวนการหมัก (fermentation) จะได้ผลผลิตคือ กรดไขมันระเหยง่าย (volatile fatty acid (VFA)) ซึ่งเป็นกรดอินทรีย์ที่มีน้ำหนักโมเลกุลต่ำ และมีคาร์บอนอะตอน (carbon atom) ไม่เกิน 5 ตัว เช่น กรดอะซิติก (acetic acid) □ กรดโพรพิโอนิก (propionic acid) □ กรดบิวไทริก (butyric acid) เป็นต้น และอาจเกิดผลิตภัณฑ์ชนิดอื่น ๆ เช่น ก๊าซไฮโดรเจน ( $\text{hydrogen} \square \text{H}_2$ ) และก๊าซคาร์บอนไดออกไซด์ แบคทีเรียสร้างกรดจะมีอัตราการเจริญเติบโตสูง และทนทานต่อสภาพแวดล้อมได้ดี แต่หากมีการสร้างกรดในระบบมากเกินไปจะมีผลต่ออัตราการผลิตก๊าซชีวภาพ เพราะจะส่งผลยับยั้งการทำงานของ MPB เนื่องจากปริมาณกรดที่สะสมในระบบที่มากเกินไปจะทำให้ค่า pH ของระบบลดลง

## 3) กระบวนการสร้างกรดอะซิติกจากกรดไขมันระเหยง่าย (Acetogenesis)

กรดไขมันระเหยง่ายจากการกระบวนการสร้างกรดจะถูกแบคทีเรียอะซิโตเจนิก (acetogenic) เปลี่ยนให้เป็นกรดอะซิติก กรดฟอร์มิก คาร์บอนไดออกไซด์ คาร์บอนไดออกไซด์ และไฮโดรเจน ซึ่งเป็นส่วนประกอบสำคัญในการสร้างมีเทน การย่อยสลายกรดบิวไทริก และกรดโพรพิโอนิก จะเกิดขึ้นดังสมการ (1) และ (2) ตามลำดับ กระบวนการนี้เป็นกระบวนการที่มีความสำคัญของการย่อยสลายในการย่อยสลายแบบไม่ใช้อากาศ เนื่องจากเป็นการลดการสะสมของกรดไขมันระเหยง่าย และในการบวนการสร้างมีเทนนั้นจะใช้สารตั้งต้นที่มีปริมาณcarbонจำนวน 1-2 คาร์บอน เท่านั้น ถ้า VFA ที่สร้างขึ้นมีcarbонมากกว่า 2 อะตอน MPB จะไม่สามารถนำไปใช้ได้ และเกิดการสะสมในระบบ



## 4) กระบวนการสร้างมีเทน (Methanogenesis)

เป็นการเปลี่ยนกรดอะซิติก กรดโพรพิโอนิก กรดฟอร์มิก คาร์บอนไดออกไซด์ และไฮโดรเจนเป็นก๊าzmีเทนภายใต้สภาวะไร้อากาศ ด้วย MPB ที่มีอัตราการเจริญเติบโตช้ามาก และไม่สามารถใช้กรดอินทรีย์มากกว่า 2 อะตอนเป็นสารตั้งต้นในการสร้างก๊าzmีเทนได้ และยังมีความอ่อนไหวต่อการเปลี่ยนแปลงของสภาพแวดล้อมเป็นอย่างมาก รวมถึงดำเนินชีวิตได้ในสภาวะไร้อากาศเท่านั้น (obligate anaerobic bacteria)

### 1.2.2.1 ข้อดีของกระบวนการย่อยสลายแบบไร์อากาด เมื่อเปรียบเทียบกับการย่อยสลายแบบใช้อากาศ (เกรียงศักดิ์ อุดมสิน ใจดี 2543)

1) ไม่ต้องเสียค่าใช้จ่ายในปริมาณสูงเพื่อทำการเติมอากาศ แต่กระบวนการย่อยสลายแบบไร์อากาดจะใช้กําชการบอนไดออกไซด์เป็นตัวรับอิเล็กตรอนซึ่งสามารถพบได้ในสิ่งแวดล้อมทุกระบบ

2) การเจริญเติบโตของจุลินทรีย์ที่ไร์อากาดจะมีการเจริญเติบโตช้ากว่าจุลินทรีย์ที่ใช้อากาศ ดังนั้นปริมาณตะกอนที่เกิดขึ้นจึงมีปริมาณน้อย ซึ่งทำให้ประหยัดค่าใช้จ่ายในการบำบัดกากตะกอน

3) ในกระบวนการย่อยสลายแบบไร์อากาดจะผลิตกําชชีวภาพที่มีกําชมีเทนเป็นองค์ประกอบ สามารถนำไปผลิตเป็นพลังงานไฟฟ้าเพื่อประหยัดค่าใช้จ่ายได้บางส่วน

4) สามารถรับการระบุรุกที่สูงได้ถึง 5–10% ของการย่อยสลายแบบเติมอากาศ หมายความว่าต้องการรับน้ำเสียที่มีความเข้มข้นสูง

### 1.2.2.2 ข้อเสียของกระบวนการย่อยสลายแบบไร์อากาด (เกรียงศักดิ์ อุดมสิน ใจดี 2543)

1) ใช้เวลาในการย่อยสลาย และเริ่มต้นระบบ (start-up) นานกว่าการย่อยสลายแบบใช้อากาศ เนื่องจากการเจริญเติบโตช้ากว่า

2) ความสามารถในการปรับตัวกับการเปลี่ยนแปลงปริมาณน้ำเสีย ค่า BOD อุณหภูมิ และสภาพแวดล้อมอื่น ๆ ต่ำ

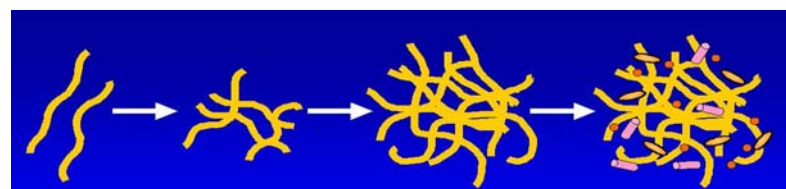
3) เกิดกําชไฮโดรเจนชัลไฟด์ซึ่งมีกลิ่นเหม็นสามารถทำปฏิกิริยากับโลหะหรือโลหะหนักทำให้น้ำทึบ มีสีดำ และไฮโดรเจนชัลไฟด์อาจส่งผลให้ระบบย่อยสลายล้มเหลวได้

4) มีแบบที่เรียกว่าร้างมีเทนซึ่งมีความไวต่อสารพิษ ดังนั้นจึงทำให้การย่อยสลายแบบไร์อากาดจึงมีความไวต่อสารพิษมากกว่าการย่อยสลายแบบใช้อากาศ

### 1.2.3 ระบบชั้นตะกอนแอนาโรบิกไอลชีน (upflow anaerobic sludge blanket, UASB)

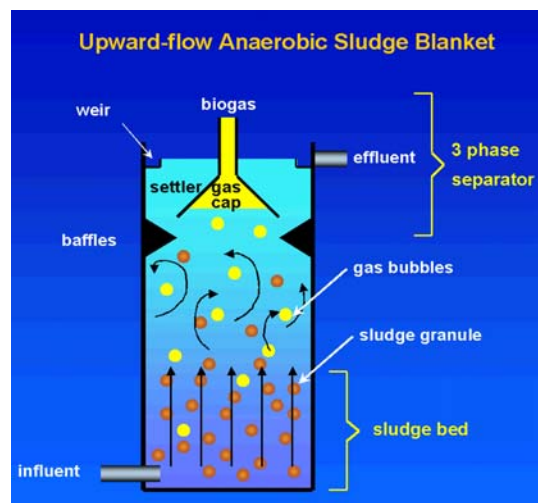
ระบบชั้นตะกอนแอนาโรบิกไอลชีน หรือเรียกว่า ระบบ UASB เป็นระบบบำบัดแบบไร์อากาด ที่ไม่มีตัวกลางรองรับ อาศัยการย่อยสลายสารอินทรีย์ด้วยตะกอนจุลินทรีย์แบบขวนลองซึ่งเป็นลักษณะสำคัญของระบบ UASB (กรมควบคุมมลพิษ 2545) ตะกอนจะถูกเลี้ยงให้จับตัวกันเป็นเม็ด (ภาพประกอบ 1-1) ขนาดเส้นผ่านศูนย์กลางประมาณ 1-2 mm (สูบันฑิต นิ่มรัตน์ 2548) หลักการพื้นฐาน คือ สร้างสภาพทางเคมีที่เหมาะสมแก่การจับตัวเป็นเม็ดของจุลินทรีย์ (ธีระ เกรgot 2539) อาจมีการเพิ่ม  $\text{CaCO}_3$  หรือ  $\text{FeS}$  ซึ่งเป็นสารช่วยสร้างตะกอน ระบบบำบัด

สามารถรับน้ำเสียที่มีความเข้มข้นต่ำ ๆ ได้ดีแม้ที่อุณหภูมิต่ำกว่า  $20^{\circ}\text{C}$  การทำงานของระบบ (ภาพประกอบ 1-2) คือ น้ำเสียจะไหลเข้าจากทางด้านล่างของถังขึ้นสู่ด้านบน (upflow) อย่างช้าๆ สัมผัสชั้นตะกอนที่อยู่บริเวณด้านล่าง ทำให้มีดีดตะกอนแขวนลอยขึ้นมาในถัง เกิดการย่อยสลายแบบไร้อากาศ ก้าชที่เกิดขึ้นจะถูกแยกออกจากทางด้านบนด้วยอุปกรณ์แยกก้าช (gas-solid-separator GSS) ความซุ่มของระบบ คือ ต้องใช้เวลาในการสร้างเม็ดตะกอนจุลินทรีย์



ภาพประกอบ 1-1 การจับตัวของจุลินทรีย์เป็นเม็ดตะกอน

ที่มา: <http://www.uasb.org/discover/granules.htm#granulation> (15/8/2019)



ภาพประกอบ 1-2 แบบจำลองแสดงการทำงานของระบบ UASB

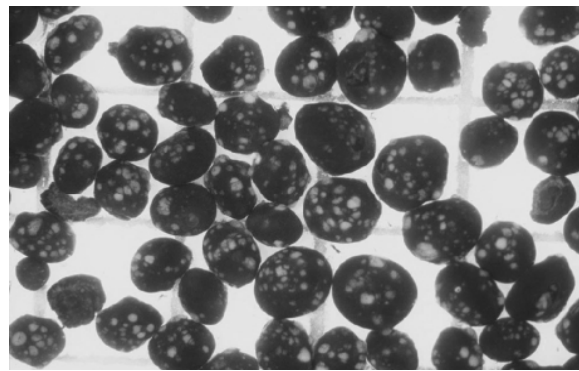
ที่มา: <http://www.uasb.org/discover/agbs.htm#uasb> (15/8/2019)

เมื่อผ่านกระบวนการย่อยสลายแล้ว ระบบ UASB จะถูกปล่อยให้กวนผสมในถัง เกิดการตกตะกอนแยกตัวออกเป็นชั้น ดังนี้

- 1) ชั้นบนสุด หรือชั้นที่ทำหน้าที่เก็บสะสมก้าชด้วยเครื่องแยกก้าช
- 2) ชั้นที่เป็นน้ำใสผ่านกระบวนการย่อยสลาย และออกจากระบบ
- 3) ชั้นของเม็ดตะกอนจุลินทรีย์ โดยแบ่งเป็น 2 ชั้น คือ

3.1) ชั้นเม็ดตะกอนขนาดเล็ก หรืออาจเรียกว่าชั้นเม็ดตะกอนลอย  
เนื่องจากตะกอนจุลินทรีย์มีขนาดเล็กจึงทำให้ชั้นนี้มีตะกอนสะสมอยู่ด้านบน

3.2) ชั้นเม็ดตะกอนขนาดใหญ่ หรือเรียกว่าชั้นตะกอนล่าง คือ ชั้นของเม็ด  
ตะกอนขนาดใหญ่ที่มีการสะสมอยู่ส่วนล่าง มีลักษณะเป็นเม็ดเกิดจากจุลินทรีย์ทางติดแน่น  
ลักษณะของเม็ดตะกอนแสดงดังภาพประกอบ 1-3



ภาพประกอบ 1-3 ลักษณะของเม็ดตะกอนจุลินทรีย์ (ขนาด 5-2 mm)

ที่มา: <http://www.uasb.org/discover/granules.htm#granules> (15/8/2019)

การบำบัดด้วยระบบ UASB นิยมใช้กับกระบวนการบำบัดอัตราสูงโดยมีจุลชีพที่ไวต่อการ  
ทำงาน และระบบยังคงสามารถรักษาตะกอนจุลินทรีย์ไว้ได้ที่ระดับกักพักทางชลศาสตร์เพียง 2  
ชั่วโมง (Yan and Tay 1996) ระบบนี้มีประสิทธิภาพในการกำจัด COD ได้สูงมาก เมื่อเทียบกับ  
ระบบบำบัดน้ำเสียแบบไร์อากาศแบบอื่น อีกทั้งฟองกําชั้นที่เกิดจะช่วยให้เกิดการไหลในถังปฏิกริยา  
เป็นแบบปั้นป่วนช่วยในการผสม นอกจากนี้จากการศึกษาของ Nidal *et al.* (2004) ยังพบว่าตะกอน  
ส่วนเกินจากถังย่อยแบบ UASB มีปริมาณน้อย ง่ายต่อการรีดนำออก และทำให้เสถียรอีกด้วย

Rintala and Lepistö (1998) ทำการศึกษาการบำบัดน้ำเสียอุตสาหกรรมผลิต  
กระดาษ โดยใช้ระบบ UASB ที่อุณหภูมิ 55 °C COD และซัลเฟต ของน้ำเสียเท่ากัน 8-31 mg/L  
และ 34-85 mg/L ตามลำดับโดย COD/SO<sub>4</sub><sup>2-</sup> ratio เป็น 3.4-5.3 พนว่าประสิทธิภาพการ  
กำจัด COD มีค่าเป็นร้อยละ 67-74 และซัลเฟตในน้ำทึบมีความเข้มข้นเป็น 15-25 mg/L

Yamaguchi *et al.* (1999) ศึกษาการบำบัดน้ำเสียสังเคราะห์ ที่มีซัลเฟตสูงด้วย  
ระบบบำบัดแบบ UASB อุณหภูมิ 35 °C ที่ COD และซัลเฟตมีค่าเป็น 2000 mg/L 1000 mg/L  
ตามลำดับ พนว่าประสิทธิภาพการกำจัด COD ที่กระบวนการทุกซัลเฟต 1.3 kg<sub>sulfate</sub>/m<sup>3</sup>/day มีค่าสูงถึง  
ร้อยละ 90

### 1.2.4 ระบบເອົສບີອ້າຣ໌ (Anaerobic Sequencing Batch Reactor, ASBR)

ระบบ ASBR ມີລັກຍະນະເດືອກກັບຮະບົບ UASB ອີເອດັ່ງໜັກໄຮ້ອາກາສ ແຕ່ເປັນປ່ອໜັກນາດເລື້ອກທີ່ມີການເລື້ອງຕະກອນຈຸລິນທຽບຢ່ານຂຶ້ນສູງມາກ (ກຽມຄວບຄຸມມລພີຍ 2545) ໄນມີກາրກວນນໍ້າ ແລະ ມີກາຣເດີມນໍ້າເສີຍເປັນແບນກະ (batch) ກາຣທຳງານຄື່ອ ເມື່ອຮະບບຮັບນໍ້າເສີຍຈະທຳກາຣກວນໂດຍໃຊ້ກຳຊີ່ທີ່ເກີດຈາກກາຣຍ່ອຍສາຍ COD ໃນຮະບບ ທຳໄຫ້ເກີດກາຣຝູ້ງຕ້ວຂອງໜັ້ນຕະກອນຄ້າຍກັບກາຣໃຊ້ໃບພັດກວນປະມາມກົ້າຈະລົດລົງ ເມື່ອ COD ໃນຮະບບລົດລົງທຳໄຫ້ເກີດກາຣຕົກຕະກອນຂອງໜັ້ນຕະກອນໃນຮະບບ ຜົ່ງຈະໄດ້ນໍ້າສ່ວນໃສທີ່ອຸ່ງສ່ວນບົນຂອງຮະບບສາມາຮອປລ່ອຍທີ່ອອກໄດ້ ໃນທາງປົງປັບຕົວຈຳກັງມີກາຣໃຊ້ຄັ້ງນໍ້າເສີຍມາກກວ່າ 2 ລັງເຊື່ອໄປ ເພື່ອເປັນກາຣດຳເນີນກາຣນຳບັດຍ່າງຕ່ອນເນື່ອງ ນອກຈາກນີ້ຮະບບ ASBR ຍັງມີປະສິທິພາບໃນກາຣກຳຈັດສີ ແລະ COD ສູງຖື່ງຮ້ອຍລະ 9 ໂມລະ 85 ຕາມຄໍາດັບ (Ilgi and Oztekin 2006 ແລະ Rodrigues. et al. 2001)

#### 1.2.4.1 ຊົດຂອງຮະບບ ASBR

- 1) ປະມາມຕະກອນທີ່ຕ້ອງນໍ້າໄປກຳຈັດນ້ອຍ
- 2) ໃຊ້ໄດ້ກັບນໍ້າເສີຍທີ່ມີຕະກອນແຂວນລອຍ
- 3) ເປັນຮະບບທີ່ກ່ອສ້າງໄດ້ຈ່າຍໄນ້ສັບຊ້ອນ ເນື່ອຈາກເປັນຄັ້ງໃນເດືອກມີກາຣສູນນໍ້າເຂົ-ອອກ ກາຣທຳປົງປັບຕົວ ກາຣຕົກຕະກອນ ແລະ ກາຣກວນກາຍໃນຄັ້ງໃນເດືອກກັນ
- 4) ຮະບບມີຄວາມຢືດຫູ່ນໃນກາຣນຳບັດ ແລະ ສາມາຮອດທີ່ຈະປ່ຽນກາຣທຳກວນໃຫ້ເໜາະສົມກັບນໍ້າເສີຍທີ່ເຂົ້າສູ່ຮະບບໄດ້
- 5) ມີຮະບະກັກພັກທາງຈລຄາສຕ່ຽສັ້ນ
- 6) ສາມາຮອດສ້າງສກາວະທີ່ເອື້ອດຳນວຍໃນກາຣຕົກຕະກອນເຊີງກາພໃນຄັ້ງປົງປັບຕົວໄດ້ດີ
- 7) ມີມວລເຊີງກາພທີ່ວ່ອງໄວໃນກາຣທຳກວນ

### 1.2.5 ປັຈຍທີ່ມີຜົດຕ່ອກກາຣນຳບັດນໍ້າເສີຍແບນໄຮ້ອາກາສ

1.2.5.1 ອຸນຫກູມ ເປັນປັຈຍທີ່ສໍາຄັນເນື່ອຈາກ MPB ມີຄວາມໄວຕ່ອກກາຣປັບປຸງແປ່ງຂອງອຸນຫກູມ ດັ່ງນັ້ນຕ້ອງມີກາຣະມັດຮວງໃຫ້ກາຣປັບປຸງແປ່ງມີຄວາມແປປັນໄມ່ເກີນ  $\pm$  ຮ້ອຍລະ 5 (ສູນເຊ 2529 ອ້າງຖື່ງໃນ ສູນທິດ ນິມຮັຕນ 2548) ກາຣຍ່ອຍສາຍສາຮອນທຽບແບນໄຮ້ອາກາສ ມີອຸນຫກູມທີ່ເໜາະສົມອູ່ 2 ຂ່ວງ ຄື່ອ ຂ່ວງກາຣທຳກວນຂອງ ມີ mesophilic bacteria ຜົ່ງອຸນຫກູມອູ່ໃນຂ່ວງ 3 – 4  $^{\circ}\text{C}$  ແລະ ຂ່ວງກາຣທຳກວນຂອງ thermophilic bacteria ຜົ່ງອຸນຫກູມອູ່ໃນຂ່ວງ 45 – 55  $^{\circ}\text{C}$  (Rittmann and McCarty 2001) ໂດຍປົກຕິເມື່ອຸນຫກູມເພີ່ມຂຶ້ນອັດກາຣເກີດປົງປັບຕົວ ແລະ ກາຣທຳກວນຂອງຈຸລິນທຽບກາຍໃນເຊລດ໌ຈະເພີ່ມຂຶ້ນພຽມທີ່ມີອັດກາຣເຈີ່ງເຕີບໂຕເຮົວຂຶ້ນ (Gray 1989) ແຕ່ຄ້າ

อุณหภูมิเพิ่งขึ้นเกินกว่าที่เซลล์จะทำงาน ได้ ส่วนประกอบบางส่วนของเซลล์อาจจะถูกทำลาย อีกทั้งยังทำให้การทำงาน และการเจริญเติบโตของจุลินทรีย์ลดลง

**1.2.5.2 พีอช เป็นปัจจัยที่สำคัญโดยเฉพาะอย่างยิ่งแบคทีเรียสร้างมีเทน ถ้าค่าพีอชไม่เหมาะสมการเจริญเติบโตของแบคทีเรียสร้างมีเทนจะถูกยับยั้ง ทำให้การทำงานของระบบบำบัดล้มเหลวได้ โดยค่าพีอชที่เหมาะสมต่อ MPB ควรอยู่ในช่วง 6.7 – 7.4 (Bitton 2005) ส่วนค่าพีอชที่เหมาะสมต่อการเกิดปฏิกิริยาซัลเฟตรีดักชัน จะอยู่ในช่วง 6.7-7.0 (Elke et al., 1996) ทั้งนี้การผลิตมีเทนจะถูกยับยั้งเกือบทั้งหมดที่พีอช เท่ากับ 6.2 (ธีระ เกรอต 2539) ในระบบบำบัดแบบไร้อากาศ ส่วนใหญ่มักประสบปัญหาในการควบคุมค่าพีอช เนื่องจากแบคทีเรียนะนั้นมีช่วงพีอชที่เหมาะสมต่อการเจริญเติบโตแตกต่างกัน แบคทีเรียผลิตกรดจะทำงานได้ในช่วงพีอช 5.5-6.5 (Khanal 2008) ดังนั้นในการเดินระบบไร้อากาศที่มีการทำงานร่วมกันของจุลินทรีย์หลายชนิด อาจจะทำการควบคุมพีอชให้อยู่ในช่วง 6.8-7.4 กระบวนการปรับพีอชของน้ำเสียที่มีความเป็นกรด หรือด่างให้อยู่ในช่วงที่เหมาะสม ส่วนใหญ่จะอาศัยวิธีการทำให้เป็นกลางทางเคมี (chemical neutralization) น้ำเสียสกินนั้นมีสภาพเป็นกรด จึงจำเป็นต้องใช้สารเคมีที่มีคุณสมบัติเป็นด่าง ในการปรับพีอชด่างที่นิยมใช้ในการปรับพีอชของน้ำเสีย ได้แก่ ปูนขาว ( $\text{Ca}(\text{OH})_2$ ) โซเดียมไฮดรอกไซด์ ( $\text{NaOH}$ ) และโซดาแอด (Na<sub>2</sub>CO<sub>3</sub>) และสารประกอบแคลเซียมออกไซด์ (CaO) ตัวแปรในการเลือกใช้สารปรับพีอชนั้นอยู่กับปัจจัยหลายประการ เช่น ราคา อัตราการเกิดปฏิกิริยา วิธีการใช้งาน วิธีการเก็บรักษา ผลผลิตสุดท้าย และค่าใช้จ่ายในการจัดการของเสีย**

ในงานวิจัยครั้งนี้ใช้ถ่านไม้ย่างพารา (parawood ash) เป็นวัสดุในการปรับพีอชของน้ำเสียสกิน ซึ่งถ่านไม้ย่างพาราเป็นภาคของเสียที่มีปริมาณมากในพื้นที่ เนื่องจากมีการใช้ไม้ย่างพาราเป็นเชื้อเพลิงสำหรับให้ความร้อน เช่น การเผาไหม้สำหรับหม้อต้ม โอน้ำ หรือการอบ/รมย่าง เป็นต้น ถ่านไม้ย่างพารานั้นจะมีลักษณะเป็นฝุ่นละเอียดสีน้ำตาลคล้ำดิน มี CaO เป็นองค์ประกอบสูงถึงร้อยละ 59.52 (พนาลี ชีวกิດการ และคณะ 2548) ดังนั้นถ่านไม้ย่างพาราจึงน่าจะมีคุณสมบัติในการปรับพีอชของน้ำเสียสกินได้ และจากการศึกษาของ พนาลี ชีวกิດการ และคณะ (2548) ซึ่งเปรียบเทียบประสิทธิภาพการกำจัด COD และซัลเฟตในน้ำเสียโรงพยาบาลน้ำย่างขัน โดยใช้ถ่านอย เตาเผายะของจังหวัดภูเก็ต ปูนขาว และถ่านไม้ย่างพารา พบว่าถ่านไม้ย่างพารามีประสิทธิภาพในการกำจัด COD และซัลเฟตได้ดีที่สุด นอกจากนี้จากการศึกษาของกัญญารัตน์ ฤทธิ์พงศ์ทิรฆ์ (2551) และ ยศวิรศ เขตอนันต์ (2551) เมื่อเปรียบเทียบการใช้ ปูนขาว โซเดียมไฮดรอกไซด์ และถ่านไม้ย่างพารา ปรับพีอชของน้ำเสียอุตสาหกรรมน้ำย่างขัน แล้วทำการบำบัดด้วยระบบไร้อากาศแบบ ABR และ UASB ตามลำดับพบว่า ประสิทธิภาพการกำจัด COD และซัลเฟตของระบบ เมื่อใช้สาร

ปรับพิเศษต่าง ๆ นั้นไม่แตกต่างกัน ดังนั้นในงานวิจัยครั้งนี้จึงเลือกถ้าไม้มงพาราเป็นสารปรับพิเศษ

**1.2.5.3 ระยะเวลาคงคลาสตรา (hydraulic retention time, HRT)** และระยะเวลา กักพักของแข็ง (solid retention time [SRT]) จะต้องเหมาะสม และเพียงพอที่จะทำการย่อยสลายอย่างสมบูรณ์ การลดระยะเวลา กักน้ำจะทำให้ขนาดของระบบบำบัดลดลง แต่ถ้าต่ำเกินไปแบบที่เรียกว่า ถูกชะออกจากระบบ อายุ Sludge ที่เหมาะสมในการทำงานควรมีค่าไม่ต่ำกว่า 1 วัน เนื่องจาก MPB มีอัตราการเจริญเติบโตช้า ดังนั้นาอยุ่ sludge ที่มีค่ามากจึงมีประสิทธิภาพการกำจัด COD สูง

**1.2.5.4 สภาพความเป็นด่าง (alkalinity)** มีความสำคัญต่อระบบบำบัดแบบไร้อากาศ สภาพด่างที่สำคัญ คือ สภาพด่างไบคาร์บอนेट ( $\text{HCO}_3^-$ ) เพราะจะทำหน้าที่เป็นบัฟเฟอร์ (buffer) แสดงถึงความสามารถในการด้านทานความเป็นกรดในระบบ เมื่อมีกรดใหม้มันจะเหยย่าง่ายเกิดขึ้น สภาพความเป็นด่างมีหน่วยเป็นมิลลิกรัมต่อลิตรของแคลเซียมคาร์บอนे�ต นอกเหนือนี้อีกปัจจัยที่สำคัญ คือ อัตราส่วนระหว่างกรดใหม้มันจะเหยย่าง่ายต่อสภาพด่างไบคาร์บอนे�ต ถ้าหากมีอัตราส่วนน้อยกว่า 4 ระบบจะมีบัฟเฟอร์ (Buffer) สูง ถ้าอัตราส่วนนี้มีค่ามากกว่า 8 พิเศษของระบบจะลดลงอย่างรวดเร็ว เมื่อมีกรดใหม้มันจะเหยย่าง่ายเกิดขึ้น แม้จะเพิ่มขึ้นเพียงเล็กน้อย ระบบไร้อากาศควรมีสภาพด่างอยู่ระหว่าง 1-5 mg/L  $\text{CaCO}_3$  (Metcalf and Eddy 2014)

### 1.2.5.5 ความเป็นพิษ

1) กรดระเหยย่าง่าย โดยทั่วไประบบไร้อากาศควรมีปริมาณ 5-5 mg/L as  $\text{CH}_3\text{COOH}$ . หากมีการสะสมจะทำให้พิเศษลดลง กรดโพพิโอนิกที่ความเข้มข้น 1 g/m<sup>3</sup> ที่พิเศษ เป็นกลางจะแสดงความเป็นพิษต่อระบบ และจะรุนแรงขึ้นเมื่อพิเศษลดลง (ธีระ เกรอต 2539)

2) แอมโมเนียม เกิดจากการสลายตัวของโปรตีนจะอยู่ในรูปแอมโมเนียม ( $\text{NH}_4^+$ ) หรือแอมโมเนีย อิสระ ( $\text{NH}_3$ ) ทั้งนี้จะขึ้นอยู่กับพิเศษของระบบ ดังสมการ (3)



ถ้าระบบมีพิเศษ เท่ากับ 7.2 หรือต่ำกว่า แอมโมเนียมจะอยู่ในรูปของแอมโมเนียม ไอออนซึ่งมีความเป็นพิษน้อย ถ้าความเข้มข้นของแอมโมเนียมเกิน 15 mg/L จะเกิดความเป็นพิษ รุนแรง ขณะที่ความเข้มข้นของแอมโมเนียมต้องมากกว่า 3 mg/L

3) ไอออนบวกของโลหะเบาๆ เนื่องจากการรักษาระดับพิเศษของระบบต้องมีการเติมเบส ส่งผลให้ปริมาณ ไอออนบวกของโลหะเบาๆ ที่เกี่ยวข้องกับเบส ได้แก่ โซเดียม โปแทสเซียม แคลเซียม และแมงกานีสสูงขึ้น และสามารถทำให้เกิดความเป็นพิษได้

4) โลหะหนัก MPB ต้องการธาตุจำเป็น 4 ชนิด กือ เหล็ก โคบอล นิกเกิล และซัลเฟอร์ในปริมาณต่ำมาก ขณะเดียวกันปริมาณโลหะหนักที่สูงเกินไปจะเป็นพิษต่อแบคทีเรีย ได้แก่ สังกะสี แมงกานีส แคนดเมียม โคบอล นิกเกิล โครเมียม และทองแดง ซึ่งอยู่ในรูปไฮอน โดย ลำดับความเป็นพิษของโลหะหนักจะเรียงตามลำดับดังนี้ กือ ทองแดง เหล็ก แคนดเมียม และสังกะสี แต่ความเป็นพิษของโลหะหนักลดลงได้ถ้านำเสียบมีปริมาณซัลไฟฟ์เพื่อหมายเหตุ เพราะสามารถรวมกับ โลหะหนักเกิดเป็นโลหะซัลไฟฟ์ซึ่งสามารถถูกตัดก่อนได้

5) ศักยภาพการให้ และรับอิเล็กตรอน (oxidation – reduction potential) เป็นค่าที่ใช้วัดความสามารถในการให้หรือรับอิเล็กตรอนระหว่างปฏิกิริยาที่มีการถ่ายเทอิเล็กตรอน เรียกอีก อย่างว่า โออาร์พี (ORP) ถ้าเป็นบวกมาก แสดงว่าสารละลายมีความสามารถในการรับอิเล็กตรอน ได้ เช่น มีออกซิเจนละลาย แต่ถ้าค่า ORP เป็นลบ แสดงว่าสารละลายมีความสามารถในการให้ อิเล็กตรอน ได้ ในระบบไratio อากาศที่ดี จะต้องมีค่า ORP ในช่วง -3 [[กึ่ง -5 [[mV

6) ธาตุอาหาร (nutrient) ระบบไratio อากาศต้องการธาตุในสัดส่วนที่ต่ำกว่าระบบที่ใช้อากาศ โดยมีอัตราส่วน  $BOD_5 / N/P$  ที่ต้องการมีค่าประมาณ 1 [[1.1/ 2 หากพบว่าอัตราส่วนของ ธาตุอาหารในระบบมีค่าต่ำกว่าอัตราดังกล่าว ต้องทำการเติมให้ครบ สารเคมีที่นิยมใช้ กือ ยูรีย เพื่อเพิ่มไratio โกรเจน และกรดฟอสฟอริกในการเพิ่มฟอสฟอรัส (สมพิพธ์ ด่านธีรวนิชย์ และคณะ [[541])

7) ซัลไฟฟ์เกิดจากการรีดิวเซชัลเฟตในระบบ หรือจากการถ่ายตัวของโปรตีน ซัลไฟฟ์ในปริมาณเล็กน้อยจะเป็นสารอาหารที่จำเป็นต่อ MPB (กรมโรงงานอุตสาหกรรม [[545]) ถ้าความเข้มข้นของซัลไฟฟ์มากกว่า  $2 [[g/m^3$  MPB จะถูกยับยั้งอย่างรุนแรง (ธีระ เกรอต [[539]) ซัลไฟฟ์สามารถแยกออกในรูปของก๊าซไฮโดรเจนซัลไฟฟ์ ความเข้มข้นของซัลไฟฟ์จะขึ้นกับพื้นที่และส่วนประกอบของก๊าซ

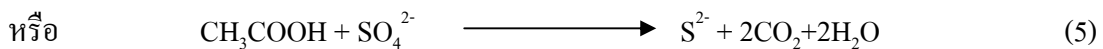
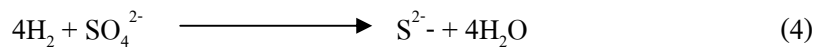
Omil *et al.* (1996) ศึกษาผลของปริมาณซัลไฟฟ์ต่อการย่อยกรดไขมันระเหยง่าย ในระบบ UASB เปรียบเทียบการทำงานของ MPB และ SRB โดยใช้น้ำเสียสังเคราะห์ ที่มีค่า  $COD/SO_4^{2-}$  ratio เป็น 5 โดย COD มีค่า  $5 [[-26[[mg/L]$  และซัลเฟตมีค่า  $1 [[-5 [[mg/L$  ที่ อัตราเร็วไฮโลชีน เท่ากับ  $2 m/hr$  และค่าพื้นที่ เท่ากับ 8 พนว่า COD จะถูกกำจัดโดย SRB มีประสิทธิภาพการกำจัด อยู่ในช่วงร้อยละ 93-97 โดยที่ประสิทธิภาพการกำจัดจะลดลงเมื่อเพิ่ม ความเร็วไฮโลชีน ที่ความเร็วไฮโลชีน  $6 m/hr$  ที่พื้นที่ เท่ากับ 8 COD ที่ถูกกำจัดโดย MPB จะมีประสิทธิภาพการกำจัดเหลือร้อยละ 23 เมื่อซัลเฟตมีค่ามากกว่า  $2 [[mg/L$  ที่พื้นที่ เท่ากับ 7 ทำให้ เกิดการยับยั้งการทำงานของ MPB

O'Flaherty *et al.* (1998) ศึกษาผลของพื้นที่ และความเป็นพิษของซัลไฟฟ์ที่มีต่อ การเติบโตของ MPB และ SRB พนว่าที่พื้นที่ระหว่าง 7.-7.5 อัตราการเจริญเติบโตของ MPB และ

SRB มีค่าเท่ากัน ที่ pH เอชระหว่าง 7.2-8.5 โดย SRB ที่ใช้กรดโพธิโอนิกมีความอ่อนไหวสูงสุด ที่ความเข้มข้นของซัลไฟด์สูง และที่ pH เอชระหว่าง 6.8-7.2 ระดับของซัลไฟด์ที่ยังบังการเจริญเติบโตได้ร้อยละ 5 ของ MPB และ SRB มีค่าเท่ากัน

### 1.2.6 ซัลไฟต์ดักชัน (sulfate reduction)

ในการบำบัดน้ำเสียแบบไม่ใช้อากาศที่มีซัลไฟต์ (sulfide  $\text{S}^{2-}$ ) หรือโซเดียมโซเดียมซัลไฟต์ (thiosulfate  $\text{S}_2\text{O}_3^{2-}$ ) หรือสารประกอบซัลเฟอร์ ที่อยู่ในรูปออกซิไดซ์ ปฏิกิริยาที่เกิดขึ้นจะมี 2 อย่าง คือ ปฏิกิริยาที่สร้างมีเทน (methanogenesis) และปฏิกิริยาเรดักชันซัลไฟต์ ที่ไม่ใช้ออกซิเจนอย่างเด็ดขาด โดยอาศัย sulfate reducing bacteria (SRB) ที่สามารถดักชัลไฟต์ให้กลายเป็นซัลไฟด์ได้ (มั่นสิน และมั่นรักษ์ ตัณฑุลเวศ์ 2545) ดังสมการ (4) และ (5)



ความสามารถในการใช้ซัลไฟต์เป็นสารรับอิเล็กตรอนจะจำกัดอยู่แต่ใน SRB เท่านั้น ซึ่ง SRB นั้นสามารถใช้สาขาวาหารได้หลายชนิด โดยจะใช้ซัลเฟอร์ที่มีอยู่ในระบบให้หมุนคลื่นจึงจะหันไปใช้กระบวนการหมัก (fermentation) ซึ่งจะต่างกับ MPB ที่สามารถใช้สารอินทรีย์ที่มีคาร์บอนอะตอมมากกว่า 1 อะตอมได้ แต่ไม่สามารถใช้สารอินทรีย์กลุ่มเมแทซิลได้ (กรมควบคุมมลพิษ 2546)

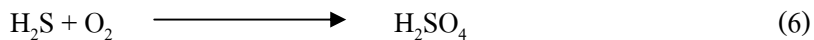
ถึงแม้ว่าระบบบำบัดน้ำเสียแบบไร้อากาศจะมุ่งที่ผลิตมีเทน หากนำน้ำเสียมีซัลไฟต์ หรือซัลไฟด์ ( $\text{SO}_3^{2-}$ ) SRB อาจแบ่งเป็น 3 พาก คือ SRB ที่กำจัดไฮโดรเจน SRB ที่กำจัดอะเซติเท และ SRB ที่กำจัดกรดอินทรีย์ระหว่างโมเลกุลใหญ่ การเกิดปฏิกิริยาเรดักชันซัลไฟต์ ก่อให้เกิดปัญหาต่าง ๆ ดังนี้

1) ส่งผลให้ประสิทธิภาพในการกำจัด COD ลดลง เนื่องจากในน้ำทิ้งจะมีซัลไฟด์อยู่ซึ่งไฮโดรเจนซัลไฟด์ 1 g สามารถวัดเป็น COD ได้ 2 g

2) ซัลไฟต์ บางส่วนกลายไปเป็นไฮโดรเจนซัลไฟต์ ถ้ามีการนำก๊าซชีวภาพไปใช้จะต้องทำการกำจัดไฮโดรเจนซัลไฟต์ออก หากนำก๊าซชีวภาพไปเผาจะเกิดก๊าซซัลไฟต์ไฮดรอไไซด์ (sulfur dioxide  $\text{SO}_2$ )

3) การเกิดซัลไฟต์เรดักชันต้องใช้สารอินทรีย์เป็นจำนวนมาก มีผลให้แหล่งการ์บอนสำหรับสร้างมีเทนลดลง ผลผลิตก๊าซมีเทนจะลดน้อยลงด้วย

4) การเกิดซัลไฟด์ในน้ำทิ้ง และก้าชีวภาพ สร้างปัญหารื่องกลิ่นเหม็น และปัญหาการกัดกร่อนดังสมการ (6)



5) ซัลไฟด์เป็นพิษต่อแบคทีเรียสร้างมีเทน ถ้ามีความเข้มข้นซัลไฟด์สูง ทำให้ประสิทธิภาพการทำงานของระบบลดต่ำลง

นอกจากปัญหาที่เกิดขึ้นดังที่กล่าวมาแล้วนั้น ปฏิกิริยาเริดักชันซัลเฟตยังคงมีข้อดี ดังนี้

- 1) ใช้กำจัดซัลเฟต แต่ควรระวัง และให้ความสำคัญกับการกำจัดซัลไฟด์ เพื่อไม่ให้น้ำทิ้งมีซัลไฟด์มากเกินไป
- 2) ซัลไฟด์ที่เกิดขึ้น สามารถกำจัดโดยหนักโดยอาศัยปฏิกิริยาตกตะกอน (precipitation) ดังตัวอย่างสมการ (7)



### 1.2.7 ปัจจัยทางสภาพแวดล้อมที่ส่งผลต่อการทำงานของ SRB

1.2.7.1 อุณหภูมิ การเปลี่ยนแปลงของอุณหภูมิมีผลต่อ SRB ค่อนข้างมาก โดยพบว่าเมื่ออุณหภูมิเปลี่ยนแปลงไปจากช่วงที่เหมาะสม จะส่งผลให้การเกิดเริดักชันซัลเฟตในตะกอนดินน้ำเค็มลดลงถึง 2-3.9 เท่า โดยที่อุณหภูมิที่เหมาะสมต่อการเจริญเติบโตของเชื้อ SRB บริสุทธิ์อยู่ในช่วง 28-32 °C (Mara and Horan 2003)

1.2.7.2 ความต้องการเกลือ และความทนต่อเกลือของ SRB นั้น ขึ้นอยู่กับแหล่งน้ำที่มาของแบคทีเรีย ซึ่งแยกได้เป็นพวกที่ได้จากแหล่งน้ำเค็มหรือน้ำกร่อย กับพวกที่ได้จากแหล่งน้ำจืด SRB ที่ได้จากแหล่งน้ำเค็ม หรือน้ำกร่อยมากต่อการปริมาณเกลือในระดับน้ำจึงเจริญเติบโตได้ดี ชนิด และปริมาณเกลือที่เหมาะสม คือโซเดียมคลอไรด์ 2 g/L และ แมกนีเซียมคลอไรด์ 1.5 g/L บางสายพันธุ์อาจต้องการแคลเซียมคลอไรด์เข้มข้นต่า 5 g/L การนำแบคทีเรียกลุ่มนี้มาเลี้ยงที่สภาพความเค็มต่ำ อาจส่งผลกระทบต่อการเจริญเติบโตได้ ส่วนแบคทีเรียที่มาจากน้ำจืดนั้น อาจมีการขยับการเจริญเติบโต ถ้ามีโซเดียมคลอไรด์ที่ความเข้มข้นเท่ากับที่มีอยู่ในทะเล (27 g/L) แต่อาจมี SRB บางสายพันธุ์ที่มีความสามารถในการปรับตัว สามารถทนอยู่ได้ในตัวกลางที่มีระดับความเข้มข้นของโซเดียมคลอไรด์สูงเท่ากับระดับความเข้มข้นในน้ำทะเล และบางพวกสามารถอยู่ได้ทั้งที่ระดับโซเดียมคลอไรด์เท่ากับ 6 g/L หรือไม่มีโซเดียมคลอไรด์อยู่เลย

1.2.7.3 พีเอชที่เหมาะสมต่อ SRB อยู่ในช่วงเป็นกลาง คือ ประมาณ 7 และมักจะสูงขึ้นเมื่อพีเอชต่ำกว่า 6 หรือสูงกว่า 9 แต่ยังพบว่าปฏิกิริยาเรดักชันซัลเฟตสามารถเกิดขึ้นได้ในแหล่งน้ำประมาณ 3-4 เมื่อจากปฏิกิริยาเรดักชันซัลเฟต โดย SRB เป็นปฏิกิริยาที่ใช้โปรดอน หรือไฮโคลเจนไออกอน การใช้สารอาหารของ SRB จึงสร้างสภาพด่างให้ระบบทำให้ SRB สามารถดำรงชีวิตได้แม้พีเอชโดยรวมของระบบจะมีค่าต่ำ

Lopes *et al.* (2007) ศึกษาสภาวะการสร้างกรด และรีดิวช์ซัลเฟต ภายใต้สภาวะพีเอชต่ำ (6.5 และ 4) COD/SO<sub>4</sub><sup>2-</sup> ratio เท่ากับ 3.5 และ 9 ที่อุณหภูมิ 55 °C โดยใช้ระบบ UASB พบว่าที่พีเอชทุกระดับ และทุก COD/SO<sub>4</sub><sup>2-</sup> ratio ระบบมีปฏิกิริยาการสร้างกรด และการกำจัดซัลเฟตที่ใกล้เคียงร้อยละ 100 ที่พีเอชเท่ากับ 6 และ COD/SO<sub>4</sub><sup>2-</sup> ratio เท่ากับ 9 ซัลเฟตรีดักชันเกิดขึ้นอย่างสมบูรณ์ เมื่อพีเอชเท่ากับ 5 มีประสิทธิภาพการรีดิวช์ซัลเฟตอยู่ในช่วงร้อยละ 80-90% ส่วน COD/SO<sub>4</sub><sup>2-</sup> ratio ที่พีเอช เท่ากับ 4 COD/SO<sub>4</sub><sup>2-</sup> ratio เท่ากับ 3.5 และ 9 มีประสิทธิภาพการรีดิวช์ซัลเฟตอยู่ในช่วงร้อยละ 30-40% และ 55-65 ตามลำดับ

Moosa *et al.* (2002) ศึกษาผลของการเพิ่มขั้นของซัลเฟตต่ออัตราการรีดิวช์ซัลเฟตที่ความเข้มข้นซัลเฟตเริ่มต้นที่ 1000-10000 mg/L พบว่าอัตราการกำจัดซัลเฟตมีค่าเป็นร้อยละ 168-418 kg/m<sup>3</sup>/day และความเข้มข้นของซัลเฟตเริ่มต้น ไม่มีผลต่อค่าอัตราการเจริญเติบโตจำเพาะ หรือค่าคงที่ของการย่อยสลาย

#### 1.2.7.4 COD/ SO<sub>4</sub><sup>2-</sup> ratio (COD to Sulfate Ratio)

COD/SO<sub>4</sub><sup>2-</sup> ratio เป็นอีกปัจจัยที่มีผลต่อการแข่งขันระหว่าง MPB และ SRB ในระบบบำบัดน้ำเสียแบบไร้อากาศ โดย COD/SO<sub>4</sub><sup>2-</sup> ratio สูงหากความเข้มข้นของซัลเฟตในน้ำเสียมีอยู่ในปริมาณน้อยจะเป็นตัวจำกัดการเจริญเติบโตของ SRB ส่งผลให้ SRB ที่ใช้ไฮโคลเจนย่างใช้ซัลเฟต ทำให้ SRB ที่ออกซิไดซ์กรดอินทรีย์โดยตรงไม่อาจแข่งขันกับจุลินทรีย์ที่สร้างอะซิเตทได้ การย่อยสลายสารอินทรีย์ส่วนใหญ่จึงเกิดผ่านการทำงานร่วมกันระหว่างจุลินทรีย์สร้างกรดจุลินทรีย์สร้างอะซิเตท และ MPB ได้ผลิตกัมแท้หลักเป็นมีเทน และคาร์บอนไดออกไซด์ โดย COD/SO<sub>4</sub><sup>2-</sup> ratio ที่เกิดมีเทน และกำจัดซัลเฟตร่วมกัน คือ 0.67 (Lens *et al.*, 1998) หาก COD/SO<sub>4</sub><sup>2-</sup> ratio สูงกว่า 1 จะส่งผลต่อ MPB ได้ (O'Flaherty *et al.*, 1998 และ Percheron *et al.*, 1997)

หาก COD/SO<sub>4</sub><sup>2-</sup> ratio ต่ำ โดยที่น้ำเสียมีความเข้มข้นของซัลเฟตสูง SRB แต่ละกลุ่มจึงไม่ต้องแข่งชิงซัลเฟต อย่างไรก็ตาม SRB กลุ่มย่อยสลายไม่สมบูรณ์มีอัตราการเจริญเติบโตสูงกว่า การย่อยสลายสารอินทรีย์จึงอาจเกิดจาก SRB กลุ่มย่อยสลายไม่สมบูรณ์ และ SRB กลุ่มใช้อะซิเตทจะได้ผลิตกัมแท้หลัก คือ การบ่อนไดออกไซด์ และซัลไฟด์

Lopes *et al.* (2007) ศึกษาผลของ COD/SO<sub>4</sub><sup>2-</sup> ratio และความเข้มข้นของไฮโดรเจนชัลไฟฟ์ต่อประสิทธิภาพของระบบ UASB ที่ 55 °C พีอเชเท่ากับ 6 โดยใช้โซ่อิโกรสเป็นแหล่งการรับอน กำหนดให้ระบบมี OLR เท่ากับ 4.5 g<sub>COD</sub>/L/day ประสิทธิภาพการกำจัดชัลไฟฟ์ที่ COD/SO<sub>4</sub><sup>2-</sup> ratio เท่ากับ 4 และ 1 มีค่าเป็นร้อยละ 65 และ 25-35 ตามลำดับทั้งนี้ประสิทธิภาพการสร้างกรดเกิดขึ้นอย่างสมบูรณ์ที่ทุก COD/SO<sub>4</sub><sup>2-</sup> ratio นอกจากนั้นยังพบว่าตัวชี้วัดประสิทธิภาพการกำจัดชัลไฟฟ์ต้นจะขึ้นอยู่กับความเข้มข้นของชัลไฟฟ์ในระบบ

Velasco *et al.* (2007) ศึกษาความสัมพันธ์ของความสามารถในการสร้างไฮโดรเจนชัลไฟฟ์ และชัลไฟฟ์ โดย SRB กับการเกิดปฏิกิริยา กับโลหะเพื่อใช้กำจัดโลหะหนักในน้ำเสียซึ่งการควบคุมการผลิตไฮโดรเจนชัลไฟฟ์ด้วยแบบที่เรียนนั้นขึ้นอยู่กับหลายปัจจัยด้วยกัน เช่น OLR การบรรเทาทุกชัลไฟฟ์ และ COD/SO<sub>4</sub><sup>2-</sup> ratio ที่เข้าระบบ

โดยที่การทดลองของ Antonio *et al.* (2007) นั้นจะดูความสัมพันธ์ของ COD/SO<sub>4</sub><sup>2-</sup> ratio ที่เข้าระบบกับปริมาณไฮโดรเจนชัลไฟฟ์ที่เกิดขึ้น และตะกั่วที่เกิดการตกผลึกที่ใช้อาหารอุด เป็นแหล่งการรับอนในระบบ UASB ผลจากการทดลองพบว่า ความเข้มข้นชัลไฟฟ์สูงสุดที่ระบบสร้างได้ คือ 47±1 mg/L as S ที่ COD/SO<sub>4</sub><sup>2-</sup> ratio เข้าระบบมีค่าเท่ากับ 2.5 โดยมีการลดลงของชัลไฟฟ์ และอาหารอุดร้อยละ 94 และ 87 ตามลำดับ และความเข้มข้นของชัลไฟฟ์ต่ำสุดที่ระบบผลิตได้ คือ 145±1 mg/L as S ที่ COD/SO<sub>4</sub><sup>2-</sup> ratio มีค่าเท่ากับ 0.67

จากการวิจัยข้างต้น จะเห็นได้ว่า SRB นั้นยังคงสามารถทำงานได้เมื่อระบบมี COD/SO<sub>4</sub><sup>2-</sup> ratio ต่ำ และจะทำงานได้ดีขึ้นเมื่ออัตราโน๊ตัวสูงขึ้น นอกจากนั้นยังพบว่าการบันยั่งการทำงานของ SRB นั้น จะขึ้นอยู่กับปัจจัยจากความเข้มข้นของชัลไฟฟ์ในระบบมากกว่าปัจจัยจาก COD/SO<sub>4</sub><sup>2-</sup> ratio

### 1.3 วัตถุประสงค์

1.3.1 เพื่อศึกษาผลของพีอเชต่อกระบวนการกำจัดชัลไฟฟ์ในน้ำเสียจากการบันยั่งตัวทางน้ำย่างด้วยกรดชัลไฟฟ์ (นำเสียสกิน) ของโรงงานอุตสาหกรรมน้ำย่างขึ้นด้วยระบบบำบัดนำเสียแบบไร้อากาศแบบกึ่งต่อเนื่อง

1.3.2 เพื่อศึกษา และเปรียบเทียบประสิทธิภาพในการกำจัดชัลไฟฟ์ในน้ำเสียสกิน โดยใช้ระบบ UASB และระบบ ASBR

## 1.4 ประโยชน์ที่คาดว่าจะได้รับ

1.4.1 ทราบถึงผลของพีอีอช และปัจจัยที่มีผลต่อการกำจัดชัลเฟตในน้ำเสียอุตสาหกรรมน้ำย่างขันในส่วนของการจับทางน้ำย่างด้วยกรดซัลฟูริก โดยใช้ระบบบำบัดไร์օอากาศแบบ UASB และระบบ ASBR ทั้งนี้เพื่อเป็นการเพิ่มประสิทธิภาพในการกำจัด การผลิตก๊าซชีวภาพของระบบบำบัดน้ำเสียถัดไปที่รับน้ำเสียระบบนี้

1.4.2 ข้อมูลที่ได้นำไปประยุกต์ใช้กับน้ำเสียที่มีลักษณะใกล้เคียงกัน และปรับใช้ในการออกแบบการบำบัดน้ำเสียจากกระบวนการผลิตยางสกิน หรือน้ำเสียที่มีความเข้มข้นของชัลเฟตสูงให้เหมาะสมต่อไป

## 1.5 ขอบเขตการวิจัย

1.5.1 น้ำเสียที่ใช้ในการวิเคราะห์ในครั้งนี้น้ำมาจากการร่วมกันของกระบวนการอุตสาหกรรมน้ำย่างขัน ในจังหวัดสงขลา โดยเก็บตัวอย่างน้ำเสียจากบ่อเก็บรวบรวมน้ำเสียจากกระบวนการผลิตยางสกิน ในการทดลองที่ 1 ศึกษาผลของพีอีอชต่อการกำจัดชัลเฟต ทำการปรับพีอีอชของน้ำเสียด้วย เล้าไม้ยางพารา บำบัดโดยใช้ระบบไร์օอากาศแบบกะกึ่งต่อเนื่อง

การทดลองที่ 2 นำค่าพีอีอชที่ได้จากการทดลองที่ 1 มาทำการเดินระบบเปรียบเทียบระหว่างระบบ UASB และ ASBR ทำการเดินระบบบำบัดน้ำเสียทั้ง 2 ภายใต้สภาวะเดียวกัน

1.5.2 วิเคราะห์ลักษณะน้ำเสียเข้าระบบ และน้ำทิ้งที่ผ่านการบำบัดจากระบบแล้ว โดยวิเคราะห์พารามิเตอร์ดังนี้ พีอีอช VFA สภาพด่าง (alkalinity) COD และชัลเฟต ตามวิธีใน APHA AWWA and WEF (1998)

## บทที่ 2 วิธีการวิจัย

### 2.1 วิธีการวิจัย

#### 2.1.1 การศึกษาลักษณะน้ำเสียโรงงานอุตสาหกรรมผลิตน้ำยาฆ่าเชื้อในส่วนของกระบวนการ การรับตัวของน้ำยาฆ่าเชื้อกรณ์ชัลฟ์ริก (น้ำเสียสกิม) มีรายละเอียดดังนี้

เก็บตัวอย่างน้ำเสียจากการกระบวนการรับตัวของน้ำยาฆ่าเชื้อกรณ์ชัลฟ์ริก (น้ำเสียสกิม) ของโรงงานอุตสาหกรรมผลิตน้ำยาฆ่าเชื้อในพื้นที่จังหวัดสงขลา เพื่อนำมาวิเคราะห์ลักษณะน้ำเสีย พื้นฐาน คือ pH, กรดไขมันระเหยง่าย (VFA), สภาพด่าง (alkalinity), COD และซัลเฟต (sulfate:  $\text{SO}_4^{2-}$ ) โดยใช้วิธีเก็บตัวอย่างน้ำเสียแบบจ้าง (grab Sampling) จากถังเก็บรวมน้ำเสียของโรงงาน (storage tank) ดังภาพประกอบที่ 2-1 จากนั้นนำตัวอย่างน้ำเสียมาทำการวิเคราะห์คุณลักษณะน้ำเสียในห้องปฏิบัติการโดยใช้วิธีการใน standard methods for the examination of water and wastewater 20<sup>th</sup> edition ของ APHA, AWWA และ WEF (1998) และสมาคมวิชากรรมสิ่งแวดล้อมแห่งประเทศไทย (2535) ซึ่งทำการวิเคราะห์ในพารามิเตอร์ต่าง ๆ ดังตารางที่ 2-1

ตารางที่ 2-1 พารามิเตอร์ และวิธีวิเคราะห์น้ำเสีย

Parameter	Method
pH	pH meter
Chemical oxygen demand	Close reflux method
Alkalinity	Direct titration method*
Volatile fatty acid	Direct titration method*
Sulfate	Turbidimetric method

\* ที่มา: APHA, AWWA และ WEF, 1998

\* สมาคมวิชากรรมสิ่งแวดล้อมแห่งประเทศไทย และ World Environmental Center, 2535



ภาพประกอบ 2-1 ถังเก็บรับรวมน้ำเสีย (storage tank) และจุดเก็บตัวอย่างน้ำเสีย

### 2.1.2 การเตรียมตัวอย่างน้ำเสียที่ใช้ในการทดลอง

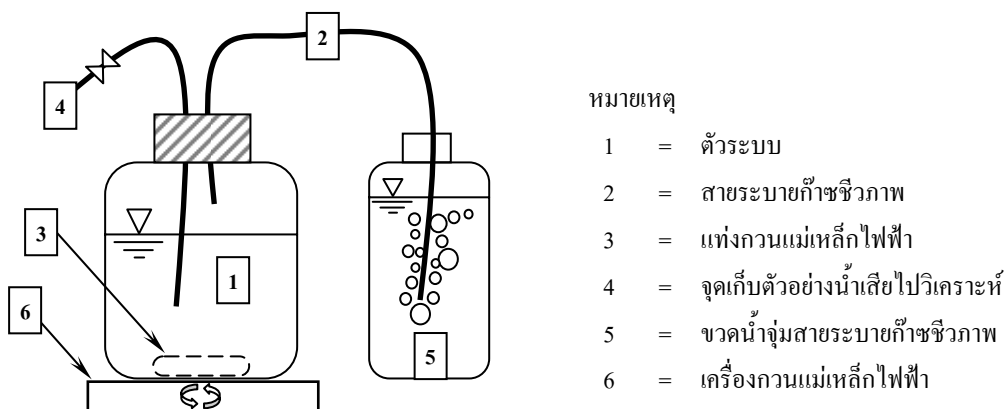
1) ทำการเตรียมถ่านไม้ยางพารา (parawood ash) เพื่อใช้ในการปรับพีเอชของตัวอย่างน้ำเสีย โดยเก็บตัวอย่างถ่านไม้ยางพาราจากเตาอบร่มควันยางแผ่นของสหกรณ์ยางแผ่นร่มควันแห่งหนึ่งในพื้นที่จังหวัดสงขลา นำมากรองด้วยตะกรงละเอียดขนาด  $500 \mu\text{m}$  บนໄล์ความชื้นที่  $103\text{-}105^\circ\text{C}$  เป็นเวลา 1 ชั่วโมง

2) ทำการเตรียมตัวอย่างน้ำเสียสำหรับใช้ในการทดลอง โดยนำตัวอย่างน้ำเสียมาปรับพีเอชด้วยถ่านไม้ยางพารา และทำการตีกวนพร้อมวัดค่าพีเอชจนกระทั่งได้ค่าพีเอชที่ต้องการ คือ 4, 5, 6, 7, และไม่ปรับพีเอช ( $2.43$ ) ตามลำดับ จากนั้นทิ้งไว้ให้เกิดการตกตะกอน และแยกน้ำเสียส่วนใส่เพื่อใช้สำหรับการทดลอง

### 2.1.3 การทดลองที่ 1 การศึกษาผลของพีเอชน้ำเสียก่อนเข้าระบบต่อกระบวนการ การกำจัดชัลเพตในน้ำเสียสกิม

การทดลองที่ 1 เป็นการศึกษา โดยการปรับพีเอชของน้ำเสียสกิมก่อนเข้าระบบเป็น 4, 5, 6 และ 7 โดยมีน้ำเสียสกิมที่ไม่ปรับพีเอชเป็นชุดควบคุม ทำการทดลองโดยใช้ระบบไร์อากาศแบบกะกึ่งต่อเนื่อง ซึ่งประกอบด้วยส่วนประกอบสำคัญ ดังนี้

**2.1.3.1 ตัวระบบ (reactor)** ใช้ขวดแก้วปริมาตรรวม 2.5 L ปริมาตรการใช้งานจริงในการหมัก (working volume) 2.0 L ส่วนบนของขวดเป็นฝาเกลียวปิดสนิท ฝาจะระบุต่อด้วยสายยางสองเส้น เส้นหนึ่งสำหรับเปลี่ยนถ่ายน้ำเสียเข้า-ออกจากระบบ สายยางอีกเส้นหนึ่งสำหรับระบายน้ำก๊าซชีวภาพที่เกิดขึ้นภายในระบบออกภายนอก โดยปลายสายยางจุ่มอยู่ใต้ผิวน้ำของขวดน้ำ อีกใบหนึ่ง เพื่อรักษาสภาวะไร์อากาศภายในระบบ แสดงดังภาพประกอบ 2-2 ซึ่งประกอบด้วยส่วนประกอบสำคัญ ดังนี้



ภาพประกอบ 2-2 ระบบไร์อากาศแบบกะกึ่งต่อเนื่อง (ชุดการทดลองขั้นต้น)

- 1) เส้นท่อทรงกลม ใช้สายสั่งลมออกซิเจน สำหรับหัวบล๊าตต์ เป็นท่ออ่อน (PVC) ใส ขนาดเส้นผ่านศูนย์กลางภายใน 4 mm และเส้นผ่านศูนย์กลางภายนอก 6 mm สำหรับเปลี่ยนถ่ายน้ำเสีย เก็บตัวอย่าง และระบายน้ำก๊าซชีวภาพที่เกิดขึ้นภายในระบบ
- 2) แท่งกวนแม่เหล็กไฟฟ้า (magnetic bar) ขนาด  $8 \times 70$  mm
- 3) เครื่องกวนแม่เหล็กไฟฟ้า (magnetic stirrer) ผลิตภัณฑ์ Framo รุ่น M 21/1 สำหรับการกวนผสม ให้เกิดการกวนผสมอย่างสมบูรณ์ (completely mix)

4) ขวดน้ำสำหรับจุ่มสายยางระบายน้ำซึ่งชีวภาพจากขวดหมัก เพื่อรักษาสภาพไว้  
อากาศของขวดหมัก ขวดน้ำใช้ขวดแก้วใส ขนาดปริมาตร 1 L บรรจุน้ำจนถึงคอขวด ไม่ปิดฝาขวด

### **2.1.3.2 การเริ่มเดิน และการทำงานของระบบไวร์อากาศแบบกะทิ่งต่อเนื่อง**

เริ่มจากการเตรียมหัวเชื้อจุลินทรีย์ในการหมัก โดยทำการเก็บตะกอนจุลินทรีย์จาก  
ระบบบำบัดน้ำเสียแบบไวร์อากาศของโรงงานอุตสาหกรรมผลิตน้ำยาขันในพื้นที่จังหวัดสงขลา  
ทำการวัดค่าความเข้มข้นของหัวเชื้อตะกอนจุลินทรีย์ ในรูป MLSS หลังจากนั้นนำตัวอย่างน้ำที่ปรับ  
พิเศษที่ระดับค่าต่าง ๆ แล้ว และตะกอนจุลินทรีย์ (seed) ซึ่งมีค่า MLSS เท่ากับ 11,950 mg/L มา  
บรรจุลงในระบบ ใช้อัตราส่วนการผสมที่ ตัวอย่างน้ำเสีย 1,600 mL ต่อตะกอนจุลินทรีย์ที่ทราบ  
ความเข้มข้นแล้ว 400 mL ได้อากาศภายในระบบออกค่าวายก้าวในโตรเจน ( $N_2$ ) และปิดฝาให้สนิท  
เพื่อรักษาสภาพไวร์อากาศของระบบ ทำการถ่ายน้ำทิ้งออกจากระบบเป็นปริมาตร 1.0 L ทุก 5 วัน  
และการเติมน้ำเสียใหม่ที่ปรับพิเศษแล้ว เป็นปริมาตร 1.0 L ทุก 5 วัน (HR ที่มีค่าเป็น 10 วัน)  
จนกระทั่งระบบมีการเปลี่ยนแปลงของประสิทธิภาพไม่มากกว่าร้อยละ 10 (Mahmoud. et.al., 2004)  
จะถือว่าระบบเข้าสู่สภาวะคงตัว (stable condition) ทำการตรวจวิเคราะห์พิเศษ, COD, ชัลเฟต, VFA  
และ สภาพด่าง โดยใช้วิธีการใน standard methods for the examination of water and wastewater  
20<sup>th</sup> edition ของ APHA, AWWA and WEF (1998) และสมาคมวิศวกรรมสิ่งแวดล้อมแห่งประเทศไทย  
(2535) ซึ่งทำการวิเคราะห์ในพารามิเตอร์ต่าง ๆ ดังตารางที่ 2-1

### **2.1.4 การทดลองที่ 2 เปรียบเทียบประสิทธิภาพในการกำจัดชัลเฟต โดยใช้ระบบ UASB (Upflow anaerobic sludge bed) และ ASBR (Anaerobic sequencing batch reactor)**

หลังจากที่ทำการทดลองข้อ 2.1.3 เสร็จแล้วนั้น ก็จะได้ค่าพิเศษที่ระบบมีประสิทธิภาพใน  
การกำจัดชัลเฟตที่เหมาะสมในช่วงพิเศษระหว่าง 2.43-7 เพื่อนำมาเดินระบบบำบัดน้ำเสีย UASB  
และ ASBR ต่อไป โดยรูปแบบหลักของการเดินระบบบำบัดน้ำเสีย UASB และ ASBR มีการเดิน  
ระบบพร้อมกัน และศึกษาภัยได้สภาวะเดียวกัน

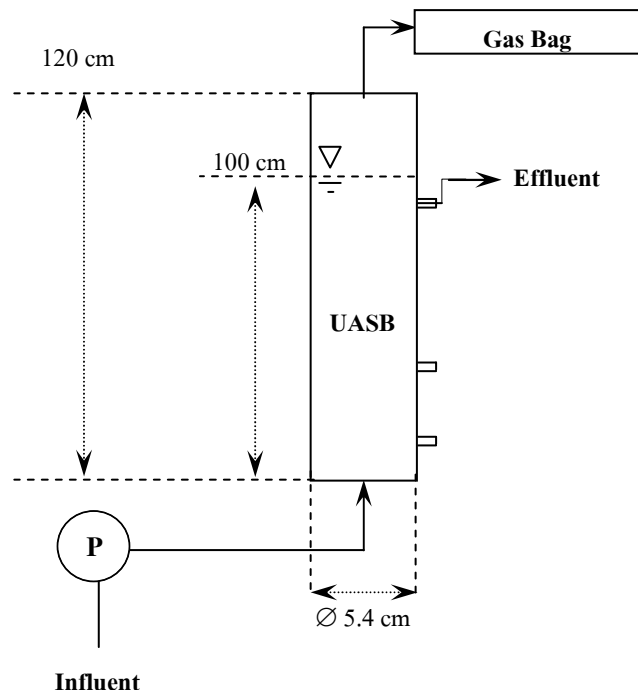
#### **2.1.4.1 ระบบบำบัดน้ำเสีย UASB จำลองในห้องปฏิบัติการ การเริ่มเดินระบบ และ การทำงานของระบบ UASB**

1) การสร้างระบบ UASB มีส่วนประกอบสำคัญดังนี้

1.1) ถังปฏิกรณ์ UASB (UASB reactor) ดำเนินการสร้าง 1 ระบบ ตัวระบบทำจาก  
ท่ออะคริลิกทรงกลมใส ขนาดเส้นผ่านศูนย์กลางภายนอก 6.0 cm หนา 0.3 cm สูง 120 cm มีขนาด

ใช้งานจริง (working volume) 2.3 L ส่วนบนของระบบมีอุปกรณ์สำหรับเก็บก๊าซที่เกิดขึ้น จากระบบ แสดงดังภาพประกอบ 2-3

1.2) ปั๊มคุณของเหลว (peristaltic pump) สามารถปรับความเร่งสำหรับปรับความเร็วของน้ำเสียได้ตามความต้องการ จำนวน 1 ตัว สำหรับปั๊มน้ำเสียเข้าสู่ระบบ UASB



ภาพประกอบ 2-3 แบบจำลองระบบบำบัดน้ำเสีย UASB ในห้องปฏิบัติการ  
หมายเหตุ: คือ peristaltic pump

1.3) นาฬิกาตั้งเปิด-ปิดเวลา (timer) สำหรับควบคุมเวลาในการปั๊มน้ำเสียเข้าสู่ระบบ UASB

1.4) ขวดป้อนน้ำเสีย (feed tank) ใช้ขวดพลาสติกปริมาตร 600 mL จำนวน 1 ขวด สำหรับใช้เป็นที่เก็บน้ำเสียก่อนเพื่อนำน้ำเสียสู่ระบบ UASB

1.5) ขวดรองรับน้ำทิ้ง (effluent) ใช้ขวดพลาสติก ปริมาตร 600 mL จำนวน 1 ขวด ใช้รองรับน้ำทิ้งที่ผ่านการบำบัดจากระบบ UASB

1.6) ถุงเก็บก๊าซ ขนาด 1 L จำนวน 2 ใบ สำหรับเก็บตัวอย่างก๊าซชีวภาพที่เกิดขึ้นจากระบบ เพื่อหาปริมาตรก๊าซชีวภาพที่เกิดขึ้นในแต่ละวัน และองค์ประกอบของก๊าซชีวภาพที่ระบบ UASB ผลิตขึ้น

## 2) การเริ่มเดินระบบ และการทำงานของระบบบำบัดน้ำเสีย UASB

2.1) การเริ่มต้นเดินระบบ UASB โดยทำการเติมตะกอนจุลินทรีที่นำมาจากระบบบำบัดน้ำเสียของโรงงานอุตสาหกรรมน้ำยางขันในพื้นที่จังหวัดสangklaburi ในระบบห้อง 2 โดยกำหนดให้ค่า MLSS ในแต่ละระบบมีค่าประมาณ 22,000 mg/L (ยศวริศ เขตตอนนั้นต์, 2551, กัญญาภรณ์ สุขุมพงษ์พิริยะ, 2550 และ Hur. et. al., 1999) จากนั้นทำการป้อนน้ำเสียเข้าสู่ระบบให้ได้ตามปริมาณใช้งานทั้งหมด (2.3 L) ขังน้ำเสียทิ้งไว้เป็นเวลา 48 ชั่วโมง เพื่อให้จุลินทรีเกิดการปรับตัวจนมีความคุ้นเคยกับน้ำเสียที่จะทำการป้อนเข้าระบบเพื่อป้องกันการเกิด Shock Load ทำการเดินระบบที่ ระยะกักพักทางชลศาสตร์ (HR) เท่ากับ 7 วัน (ยศวริศ เขตตอนนั้นต์, 2551 และ ศันสนีย์ วงศ์ชนะ, 2553) ทำการเดินระบบที่อุณหภูมิห้องตลอดการทดลองจนกระทั่งระบบเข้าสู่สภาพภาวะคงตัว นั่นคือระบบมีการเปลี่ยนแปลงของประสิทธิภาพไม่มากกว่าร้อยละ 10

2.2) การทำงานของระบบ UASB การป้อนน้ำเสียเข้าระบบ UASB จะถูกควบคุมด้วยปั๊มดูดของเหลว (peristaltic pump) นำเสียจะถูกปั๊มเข้าสู่ระบบทางด้านล่างของระบบ ไหลผ่านชั้นตะกอนภายในระบบ และ ไหลออกทางด้านบนของระบบที่ความสูง 100 cm

### 2.1.4.2 ระบบบำบัดน้ำเสีย ASBR จำลองในห้องปฏิบัติการ การเริ่มเดินระบบ และการทำงานของระบบ UASB

#### 1) การสร้างระบบ ASBR มีส่วนประกอบสำคัญดังนี้

1.1) ถังปฏิกรณ์ ASBR (ASBR reactor) ดำเนินการสร้างจำนวน 1 ระบบ ปริมาตรใช้งานจริง (working volume) 2.3 L ด้วยห่ออะคริลิกใส ขนาดเส้นผ่าศูนย์กลางภายนอก 6.0 cm หนา 0.3 cm สูง 120 cm ส่วนบนของถังมีอุปกรณ์เก็บก๊าซที่เกิดจากระบบ ดังภาพประกอบ 2-4

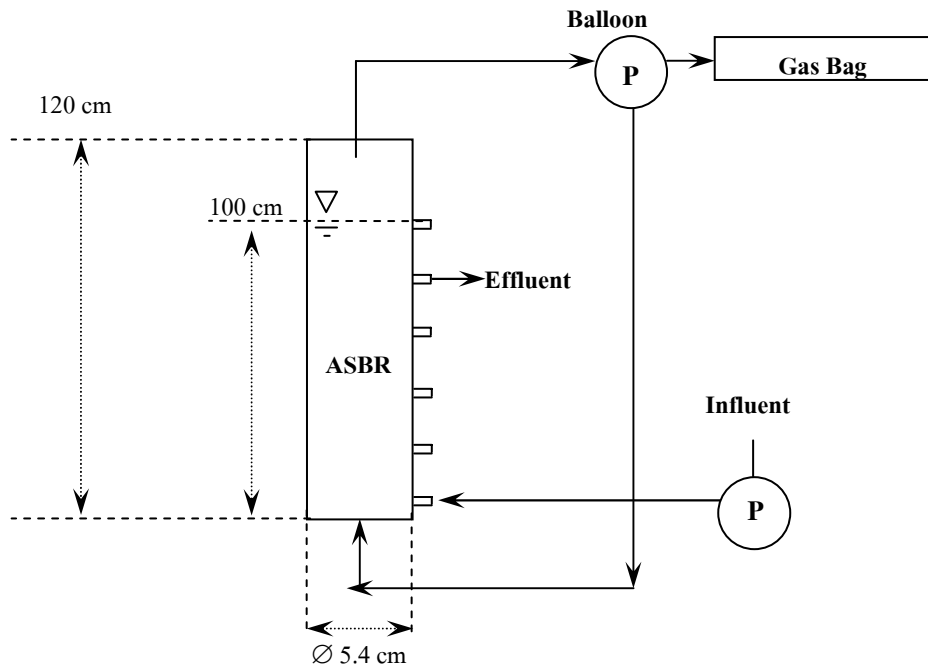
1.2) ปั๊มดูดของเหลว (peristaltic pump) สามารถปรับความเร่งสำหรับปรับความเร็วของน้ำเสียได้ตามความต้องการ จำนวน 2 ตัว สำหรับปั๊มน้ำเสียเข้าสู่ระบบ ASBR และใช้สำหรับวนก๊าซ (gas recirculation) เพื่อใช้ในการกวนผสมน้ำเสียในระบบ ASBR ให้สมกันอย่างทั่วถึง

1.3) นาฬิกาตั้งเปิด-ปิดเวลา (timer) สำหรับควบคุมเวลาในการปั๊มน้ำเสียเข้าสู่ระบบ ASBR

1.4) ขวดป้อนน้ำเสีย (feed tank) ใช้ขวดพลาสติกปริมาตร 300 mL จำนวน 1 ขวด สำหรับใช้ใส่น้ำเสียเพื่อปั๊มน้ำเสียสู่ระบบ ASBR

1.5) ขวดรองรับน้ำทิ้ง (effluent) ขวดพลาสติกปริมาตร 300 mL จำนวน 1 ขวด สำหรับใช้รองรับน้ำทิ้งที่ผ่านการบำบัดจากระบบ ASBR

1.6) ถุงเก็บก๊าซ ขนาด 1 L จำนวน 1 ใบ สำหรับเก็บตัวอย่างก๊าซชีวภาพที่เกิดขึ้นจากระบบ เพื่อหาปริมาตรก๊าซชีวภาพที่เกิดขึ้นในแต่ละวัน และองค์ประกอบของก๊าซชีวภาพที่ระบบ ASBR ผลิตขึ้น



ภาพประกอบ 2-4 แบบจำลองระบบบำบัดน้ำเสีย ASBR ในห้องปฏิบัติการ

หมายเหตุ: คือ peristaltic pump

1.7) บอลลูนชายหาด (balloon) ใช้สำหรับรวมและพักก๊าซ เพื่อใช้สำหรับกวนผสมในระบบ ASBR

1.8) เส้นท่อ เป็นท่อซิลิโคน (silicone) ใส ทรงกลม เส้นผ่าศูนย์กลางภายใน 0.9 cm และ 0.3 cm ใช้สำหรับเป็นทางนำน้ำเสียเข้า-ออกจากระบบ ส่งก๊าซชีวภาพไปยังถุงเก็บก๊าซ และหมุนเวียนก๊าซกลับมาการกวนผสมนำน้ำเสียในระบบ ASBR

## 2) การรีเมค deinระบบ และการทำงานของระบบบำบัดน้ำเสีย ASBR

2.1) การเริ่มต้น deinระบบ ASBR โดยทำการเติมตะกอนจุลินทรีย์ที่นำมาจากระบบบำบัดน้ำเสียของโรงงานอุตสาหกรรมนำขึ้นในพื้นที่จังหวัดสงขลาลงในระบบทั้ง 2 โดยกำหนดให้ค่า MLSS ในแต่ละระบบมีค่าประมาณ 22,000 mg/L (ข่าวรีด เขตอนันต์, 2551, กัญญาธน์ สมภพศรีรัม, 2550 และ Hur. et al., 1999) จากนั้นทำการป้อนนำน้ำเสียเข้าสู่ระบบให้ได้ตามปริมาตรใช้งานทั้งหมด (2.3 L) ขังนำน้ำเสียทิ้งไว้เป็นเวลา 48 ชั่วโมง เพื่อให้จุลินทรีย์เกิดการ

ปรับตัวจนมีความคุ้นเคยกับน้ำเสียที่จะทำการป้อนเข้าระบบเพื่อป้องกันการเกิด Shock Load ทำการเดินระบบที่ระบบทักษะทางชลศาสตร์ (HRD) เท่ากับ 7 วัน (ยศวริศ เขตอนันต์, 2551 และ ศันสนีช วงศ์ชานะ, 2553) ทำการเดินระบบที่อุณหภูมิห้องทดลอง จนกระทั่งระบบเข้าสู่ สภาวะคงตัว (stable condition)

2.2) การทำงานของระบบ ASBR มีรอบการทำงาน เท่ากับ 12 ชั่วโมง รายละเอียด การทำงานแต่ละรอบมีดังนี้ คือ เริ่มจากการปั๊มน้ำเสียเข้าสู่ระบบทางด้านล่างของระบบภายใน 15 นาทีแรก หลังจากนั้นจะทำการกวนผสมน้ำเสีย และจุลทรรษด้วยการวนก้าชชีวภาพที่เกิดขึ้นจาก ระบบ เพื่อให้เกิดปฏิกิริยาด้วยการกวนผสมอย่างสมบูรณ์ เป็นเวลาทั้งหมด 660 นาที โดยทำการ กวน 1 นาที ทุกๆ 30 นาที ทำการพักน้ำเสียในระบบเพื่อให้เกิดการแตกตัวกอน เป็นเวลา 30 นาที และทำการปล่อยน้ำเสียออกจากระบบทางด้านบนภายใน 15 นาทีสุดท้ายตามลำดับ

#### **2.1.4.3 ความถี่การตรวจวิเคราะห์คุณภาพน้ำเสีย และน้ำทิ้งที่ผ่านกระบวนการบำบัดด้วย ระบบบำบัดน้ำเสีย UASB และ ASBR**

ทำการวิเคราะห์คุณภาพน้ำเสีย และน้ำทิ้งที่ผ่านกระบวนการบำบัดจากระบบบำบัดน้ำเสีย เพื่อตรวจสอบประสิทธิภาพการทำงานของระบบทั้ง 2 แสดงในตารางที่ 2-2

ตารางที่ 2-2 ความถี่ในการวิเคราะห์คุณภาพน้ำเสีย และน้ำทิ้งที่ผ่านกระบวนการบำบัดด้วยระบบบำบัดน้ำเสีย UASB และ ASBR

Parameter	Frequency of Monitoring
pH	สัปดาห์ละ 1 ครั้ง
Chemical Oxygen Demand	สัปดาห์ละ 1 ครั้ง
Alkalinity	สัปดาห์ละ 1 ครั้ง
Volatile Fatty Acid	สัปดาห์ละ 1 ครั้ง
Sulfate	สัปดาห์ละ 1 ครั้ง
Biogas Composition	สัปดาห์ละ 1 ครั้ง

#### **2.1.4.4 การศึกษาค่าชีวภาพ**

1) วัดปริมาณค่าชีวภาพที่เกิดขึ้นต่อวัน โดยใช้ถุงเก็บค่าชีวภาพเก็บตัวอย่างค่าชีวภาพที่เก็บตัวอย่างค่าชีวภาพระบบบำบัดน้ำเสีย UASB (ภาพประกอบที่ 2-2) และระบบบำบัดน้ำเสีย ASBR (ภาพประกอบ 2-3) วัดปริมาณค่าชีวภาพด้วยหลักการแทนที่น้ำ จะทำการตรวจวัดปริมาณค่าชีวภาพที่เกิดขึ้นเป็นประจำทุกวัน

2) ทำการวิเคราะห์องค์ประกอบค่าชีวภาพ ด้วยการใช้ถุงเก็บค่าชีวภาพเก็บตัวอย่างค่าชีวภาพที่เกิดขึ้นจากระบบ UASB และ ASBR เพื่อนำไปวิเคราะห์องค์ประกอบของค่าชีวภาพ  $H_2S$  ด้วยวิธี Cadmium Sulfide Method (Jacobs, 1960) ส่วนค่าชีวภาพ Methane ( $CH_4$ ) จะวิเคราะห์ด้วยเครื่อง Gas Chromatography (GC) ใช้ Detector ชนิด Thermal Conductivity Detector (TCD) ผลิตภัณฑ์ของ Hewlett Packard รุ่น HP 6890

#### **3) การวิเคราะห์ข้อมูล**

เปรียบเทียบประสิทธิภาพการกำจัดสารของระบบบำบัดน้ำเสียไว้อาศาแบบ UASB และ ASBR ในรูปแบบของร้อยละ ค่าเฉลี่ย (Mean) ส่วนเบี่ยงเบนมาตรฐาน (Standard Deviation; SD) และวิเคราะห์ข้อมูลทางสถิติโดยใช้ One-way ANOVA เพื่อเปรียบเทียบประสิทธิภาพในการกำจัดสารของระบบบำบัดน้ำเสีย UASB และ ASBR

### **2.2 วัสดุ**

**2.2.1 สารปรับพีอีอช** คือ เล้าไม้ย่างพารา ซึ่งนำมาจากเตาอบยางแผ่นรมควันจากสหกรณ์อบยางแผ่นรมควันแห่งหนึ่งในพื้นที่จังหวัดสงขลา

**2.2.2 ตัวอย่างน้ำเสียที่ใช้ในการเดินระบบ** คือ น้ำเสียจากโรงงานอุตสาหกรรมผลิตน้ำยางข้น ในส่วนของการจับตัวทางน้ำยางด้วยกรดซัลฟิวริก ที่ทำการปรับค่าพีอีอชด้วยเล้าไม้ย่างพารา ตั้งทิ้งไว้ให้ตกตะกอนประมาณ 60 นาที และนำส่วนใสมาใช้ในการเดินระบบในการทดลอง

**2.2.3 ตະกອນหัวเชื้อจุลินทรีย์ (Seed)** จากระบบบำบัดน้ำเสียแบบไว้อาศาจากโรงงานอุตสาหกรรมผลิตน้ำยางข้นในพื้นที่จังหวัดสงขลา

**2.2.4 สารเคมีที่ใช้วิเคราะห์พารามิเตอร์ต่าง ๆ (ตารางที่ 2-1) ตามวิธีใน Standard Methods for the Examination of Water and Wastewater (APHA, AWWA and WEF, 1998)**

### **2.3 อุปกรณ์ที่ใช้ในการวิจัยครั้งนี้ ประกอบด้วย**

#### **2.3.1 อุปกรณ์เก็บตัวอย่างน้ำ ได้แก่**

- 1) ขวดโพลีเอทธิลีนขนาด 1 L
- 2) แก้วลอกน้ำพลาสติกขนาด 25 และ 30 L

#### **2.3.2 อุปกรณ์ที่ใช้ในการวิเคราะห์ลักษณะน้ำเสียในห้องปฏิบัติการ ได้แก่**

- 1) ตะแกรงร่อน (Sieve) ละเอียด ขนาด 500  $\mu\text{m}$
- 2) UV-VIS Spectrophotometer ผลิตภัณฑ์ Shimadzu รุ่น UV 1601
- 3) Refrigerated Super speed Centrifuge ผลิตภัณฑ์ Sorvall รุ่น Super 21
- 4) เครื่องซับ 2 ตำแหน่ง ผลิตภัณฑ์ Mettler Toledo รุ่น PB 1502
- 5) เครื่องซับ 4 ตำแหน่ง ผลิตภัณฑ์ Mettler Toledo รุ่น AB 204
- 6) เครื่องวัด pH (pH Meter) ผลิตภัณฑ์ WTW รุ่น 526
- 7) ตู้อบลมร้อน (Hot Air Oven) ผลิตภัณฑ์ Contherm รุ่น 240M
- 8) เตาเผา (Furnace) ผลิตภัณฑ์ Thermolyne รุ่น 6000
- 9) เครื่องกวนแม่เหล็กไฟฟ้า (Magnetic Stirrer) และเตาไฟฟ้า (Hot Plate) ผลิตภัณฑ์ Framo รุ่น M 21/1
- 10) เครื่องดูดสูญญากาศ (Vacuum Pump) ผลิตภัณฑ์ GAS รุ่น 0296
- 11) ถ้วยความชื้น (Desiccators) ผลิตภัณฑ์ Sanplatec
- 12) เตาอุ่นตัวอย่างสำหรับซีโอดี แบบปิด (Heating Blocks)
- 13) Gas Chromatography ผลิตภัณฑ์ Hewlett Packard รุ่น HP 6890

## บทที่ 3

### ผลและวิจารณ์ผลการวิจัย

#### 3.1 ลักษณะน้ำเสียที่ใช้ในการทดลอง

ในงานวิจัยครั้งนี้ใช้น้ำเสียจากโรงงานอุตสาหกรรมน้ำยาขึ้นในเขตจังหวัดสงขลา เนื่องจากกระบวนการผลิตยาสกิน โดยทำการเก็บตัวอย่างแบบจ้วง (grab sampling) จากถังเก็บรวบรวมน้ำเสีย (ภาพประกอบ 2-1) ซึ่งเป็นน้ำเสียจากการกระบวนการผลิตยาสกินโดยไม่มีการผสมกับน้ำเสียจากกระบวนการอื่น ๆ ของโรงงาน การศึกษาคุณสมบัติเบื้องต้นของตัวอย่างน้ำเสียพบว่า น้ำเสียสกินมีความเป็นกรดสูงโดยมีค่าพีเอชเฉลี่ย  $2.43 \pm 0.50$  และมีปริมาณซัลเฟต (sulfate,  $\text{SO}_4^{2-}$ ) สูงมีค่าเฉลี่ย  $6,506 \pm 1,038 \text{ mg/L}$  เนื่องจากกระบวนการผลิตยาสกินนั้นมีการใช้กรดซัลฟูริก (sulfuric acid) ในการจับตัวเนื้อยางที่อยู่ในหางน้ำยาขึ้น โดยลักษณะน้ำเสียสกินก่อนและหลังการปรับพีเอชแสดงดังตารางที่ 3-1

ตารางที่ 3-1 ลักษณะน้ำเสียสกินจากโรงงานอุตสาหกรรมและเมื่อทำการปรับพีเอชของน้ำเสียเป็นระดับต่าง ๆ ด้วยถ่านไม้ข้างพารา

Sample	pH	COD (mg/L)	Sulfate (mg/L)	VFA		Alkalinity (mg/L as $\text{CH}_3\text{COOH}$ )	$\text{COD/SO}_4^{2-}$
				(mg/L as $\text{CH}_3\text{COOH}$ )	(mg/L as $\text{CaCO}_3$ )		
A	$2.43 \pm 0.50$	$14,911 \pm 1,819$	$6,506 \pm 1,038$	$2,018 \pm 387$	-	-	$2.11 \pm 0.10$
B	$4.00 \pm 0.05$	$14,524 \pm 1,828$	$7,058 \pm 1,377$	$2,066 \pm 459$	-	-	$2.97 \pm 0.35$
C	$5.01 \pm 0.06$	$14,728 \pm 1,785$	$7,079 \pm 1,177$	$2,058,483$	$771 \pm 83$	-	$3.00 \pm 0.50$
D	$6.00 \pm 0.06$	$14,560 \pm 1,777$	$6,803 \pm 1,002$	$1,947 \pm 511$	$1,434 \pm 179$	-	$2.76 \pm 0.16$
E	$6.98 \pm 0.05$	$14,498 \pm 1,714$	$6,899 \pm 900$	$1,789 \pm 448$	$2,035 \pm 312$	-	$2.75 \pm 0.24$

หมายเหตุ : A คือ ตัวอย่างน้ำเสียสกินจากโรงงานอุตสาหกรรม ไม่ผ่านการปรับพีเอช

B คือ ตัวอย่างน้ำเสียสกินที่ผ่านการปรับพีเอชเป็น 4 ด้วยถ่านไม้ข้างพารา

C คือ ตัวอย่างน้ำเสียสกินที่ผ่านการปรับพีเอชเป็น 5 ด้วยถ่านไม้ข้างพารา

D คือ ตัวอย่างน้ำเสียสกินที่ผ่านการปรับพีเอชเป็น 6 ด้วยถ่านไม้ข้างพารา

E คือ ตัวอย่างน้ำเสียสกินที่ผ่านการปรับพีเอชเป็น 7 ด้วยถ่านไม้ข้างพารา

- คือ "ไม่สามารถดูดค่าได้" เนื่องจากน้ำเสียมีพีเอชน้อยกว่า 4

เมื่อทำการปรับพีเอชของน้ำเสียสกิมด้วยถ่านไม้ยางพารา (parawood ash) เป็นระดับ 4, 5, 6, 7 และ 2.43 (ไม่ปรับพีเอช, unadjusted pH) พบว่าหลังจากปรับพีเอชความเข้มข้นของซัลเฟตและ COD นั้นมีค่าไม่แตกต่างกันอย่างมีนัยสำคัญทางสถิติ ( $p>0.05$ ) แสดงคุณภาพที่ 3-1 ถึงแม้ว่าถ่านไม้ยางพาราจะมีคุณสมบัติที่สามารถดูดซับซัลเฟตและ COD ได้ โดยมีประสิทธิภาพอยู่ที่ร้อยละ 5.32 และ 4.82 ตามลำดับ แต่ในขณะเดียวกันถ่านไม้ยางพาราที่สามารถปลดปล่อยซัลเฟตได้ด้วย (วีรชาติ อินทร์ทอง, 2551) อีกทั้งการปรับพีเอชของน้ำเสียสกิมด้วยถ่านไม้ยางพาราซึ่งเป็นการเพิ่มสภาพด่างของน้ำเสียให้สูงขึ้น เนื่องจากถ่านไม้ยางพารามีแคลเซียมออกไซด์ ( $\text{CaO}$ ) เป็นองค์ประกอบสูงถึงร้อยละ 59.52 (พนาลี ชีวกิจการและคณะ, 2548) โดยน้ำเสียที่ทำการปรับพีเอชเป็นระดับต่าง ๆ นั้นจะนำไปใช้ในการทดลองที่ 1

นอกจากนี้ในกระบวนการบำบัดน้ำเสียที่มีซัลเฟตสูง เมื่อทำการบำบัดด้วยระบบไร้อากาค ต้องอาศัยการทำงานร่วมกันของจุลินทรีย์หลายชนิดที่อยู่ในระบบ เช่น จุลินทรีย์ผลิตกรด (acid producing bacteria), จุลินทรีย์ผลิตมีเทน (methane producing bacteria, MPB) และจุลินทรีย์รีดิวซ์ซัลเฟต (Sulfate reducing bacteria, SRB) ดังนั้นปัจจัยที่มีผลต่อการทำงานร่วมกันของจุลินทรีย์ในระบบ คือ  $\text{COD/SO}_4^{2-}$  ratio โดยค่า  $\text{COD/SO}_4^{2-}$  ratio ต่ำสุดที่สามารถเกิดกระบวนการซัลเฟต รีดักชันได้คือ 0.67 (Lens *et al.*, 1998) ซึ่งน้ำเสียที่ไม่ผ่านการปรับพีเอชก่อนทำการป้อนเข้าระบบมี  $\text{COD/SO}_4^{2-}$  ratio เท่ากับ  $2.11 \pm 0.10$  เมื่อทำการปรับพีเอชของน้ำเสียเป็น 4 พบว่าค่า  $\text{COD/SO}_4^{2-}$  ratio เพิ่มขึ้นเป็น  $2.97 \pm 0.35$  และเมื่อปรับพีเอชของน้ำเสียเพิ่มขึ้นเป็น 5, 6 และ 7 พบว่า มี  $\text{COD/SO}_4^{2-}$  ratio อยู่ในช่วง 2.71-2.88 (ตารางที่ 3-1) โดย  $\text{COD/SO}_4^{2-}$  ratio ของน้ำเสียที่ปรับพีเอชระดับต่าง ๆ ไม่มีความแตกต่างกันอย่างมีนัยสำคัญทางสถิติ ( $p>0.05$ )

จะเห็นได้ว่าการปรับพีเอชของน้ำเสียสกิมก่อนทำการบำบัดด้วยถ่านไม้ยางพารานั้นไม่มีผลทำให้ ความเข้มข้นของ COD, ซัลเฟต และ  $\text{COD/SO}_4^{2-}$  ratio ของน้ำเสียสกิมเกิดการเปลี่ยนแปลง อีกทั้งน้ำเสียที่ใช้ในงานวิจัยนี้ทั้งก่อนและหลังการปรับพีเอชมี  $\text{COD/SO}_4^{2-}$  ratio  $> 0.67$  ซึ่งเป็นค่าที่เพียงพอต่อการเกิดปฏิกิริยาซัลเฟต รีดักชัน

### 3.2 การทดลองที่ 1 ผลของพีเอชต่อกระบวนการกำจัดซัลเฟต ( $\text{SO}_4^{2-}$ ) ในน้ำเสียสกิมในระบบไร้อากาค

ในการทดลองนี้เป็นการศึกษาเปรียบเทียบการปรับพีเอชด้วยถ่านไม้ยางพาราเป็น 5 ระดับ คือ 2.43 (ไม่ปรับพีเอช) 4, 5, 6 และ 7 ตามลำดับ ต่อประสิทธิภาพการทำงานของระบบบำบัดน้ำเสียไร้อากาคในการกำจัดซัลเฟต (sulfate removal) โดยการป้อนน้ำเสียแบบกะที่ต่อเนื่อง (semi-batch continuous) ได้ผลการทดลอง ดังนี้

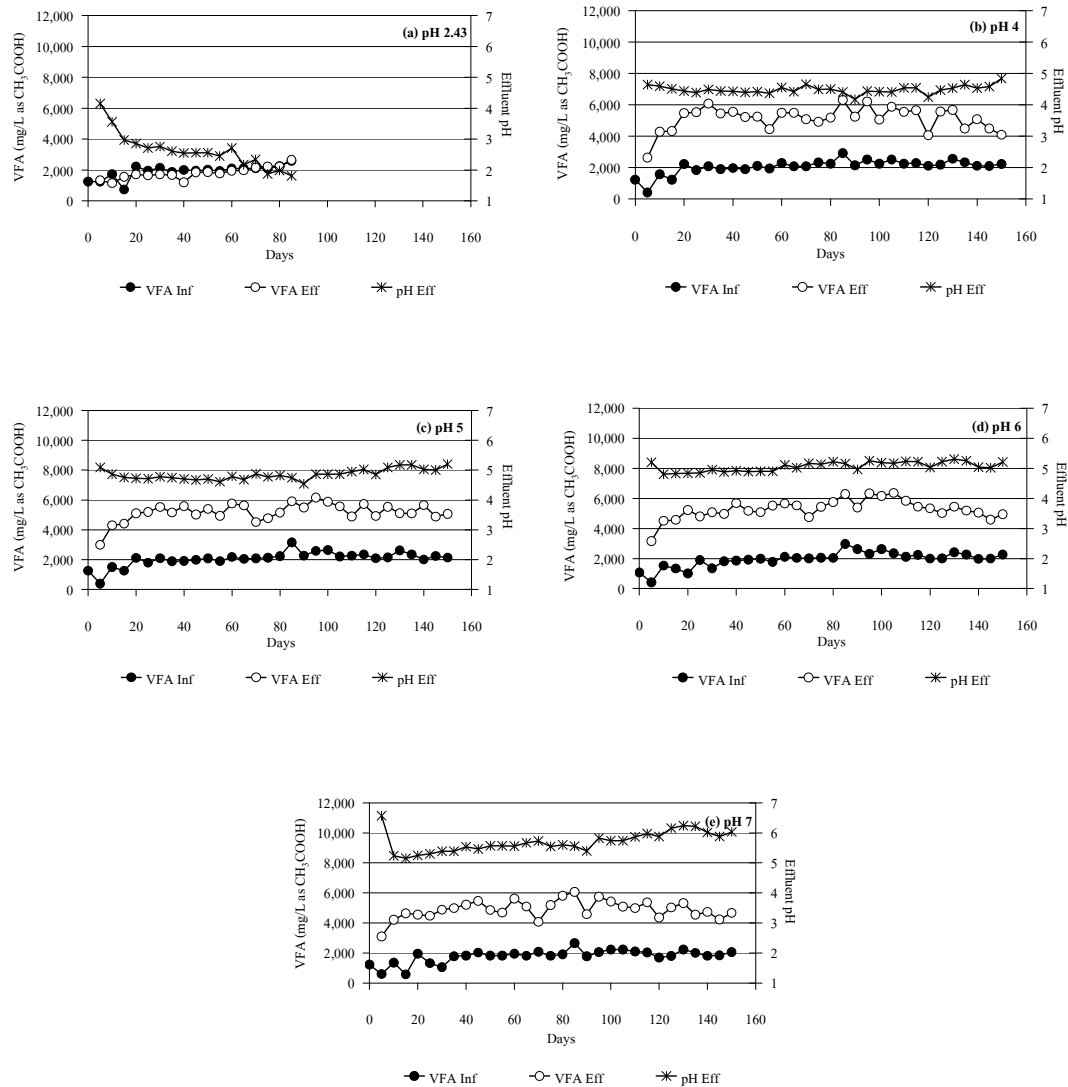
### 3.2.1 VFA (Volatile Fatty Acid), สภาพด่าง (Alkalinity) และพีอีอช (pH)

ผลการศึกษาเมื่อป้อนน้ำเสียไม่มีการปรับพีอีอชเข้าระบบพบว่า เมื่อเดินระบบໄດ້ເພີຍ 20 ວັນ ພືອຂອງນໍາທຶນມີຄ່າລດລອງຍ່າງຮວດເຮົາ (ກາປປະກອນ 3-1 (a)) ແລະມີແນວໂນມລດລອງຈະກະທິ່ງ ວັນທີ 85 ຮະບນມີພືອຂອງຍຸ້ຍ່າຍໍ່ 1.81 ນອກຈາກນີ້ຂັງພວວ່າປະມາມ VFA ໃນຮະບນທີ່ຮັບນໍາເສີຍໄມ່ຜ່ານການ ປັບພືອຂອນນີ້ມີຄ່າທ່າກັນ  $2,318 \pm 225$  mg/L as  $\text{CH}_3\text{COOH}$  ຜຶ່ງໃກລີເຄີຍກັບປະມາມ VFA ໃນນໍາເສີຍ ປັນເຂົ້າຮະບນ  $2,256 \pm 226$  mg/L as  $\text{CH}_3\text{COOH}$  ອີກທີ່ປະສິທິກາພກການກຳຈັດ COD ແລະ ຊັດເຟ ລດລອງເລື່ອເພີຍຮ້ອຍລະ 2.6 ແລະ 0.3 ຕາມລຳດັບ (ກາປປະກອນ 3-4 (a)) ທັງນີ້ເປັນພລມາຈາກພືອຂອງ ນໍາເສີຍສົກມເຂົ້າຮະບນມີຄ່າທ່າກັນ  $2.43 \pm 0.50$  (ຕາງໆທີ່ 3-1) ແລະ ພືອຂໃນຮະບນມີຄ່າຕໍ່າ ( $2.00 \pm 0.24$ ) ດ້ວຍແຫຼນນີ້ອີງຈຶ່ງສ່າງຜລໄຫ້ເກີດສປາວະໄໝເໜ່າມະແກ່ການທຳການຂອງຈຸລິນທີ່ຢ່າໄຫ້ເກີດກາຍັງທີ່ການທຳການຂອງຈຸລິນທີ່ຢ່າມີສາມາດທຳການໄດ້ ດັ່ງນັ້ນຈຶ່ງ ພູດການປັນນໍາເສີຍສົກມທີ່ໄໝຜ່ານການປັບພືອຂ

ສໍາຫັບຮະບນທີ່ຮັບນໍາເສີຍປັບພືອຂຮະດັບອື່ນ ຖ້າ (4, 5, 6, ແລະ 7) ຜຸດການສົກມາພວວ່າ ພືອຂອງນໍາທຶນຈາກຮະບນທີ່ຮັບນໍາເສີຍປັບພືອຂເປັນ 4, 5 ແລະ 6 ມີລັກນະຄອງທີ່ ເນື່ອຈາກໃນຂ່ວງຕົນຂອງ ການເດີນຮະບນຈຸລິນທີ່ທີ່ທຳການອູ້ງໃນຮະບນຈະທຳການປັບດ້ວຍໃຫ້ສາມາດທຳການໄດ້ໃນສປາວະທີ່ປັນ ນໍາເສີຍນີ້ນໍາທຶນ ເນື່ອຈຸລິນທີ່ສາມາດປັບດ້ວຍໃຫ້ເກັບສປາວະໃນຮະບນໄດ້ແຕ່ວ່ຈະທຳໄຫ້ຮະບນທຳການໄດ້ ອ່າງມີເສົ່າຍກາພາມາກນີ້ ໂດຍເນື່ອຮະບນເຫົ້າສູ່ສປາວະຄອງຕ້ວຮະບນທີ່ຮັບນໍາເສີຍສົກມປັບພືອຂ 4, 5 ແລະ 6 ມີພືອເຊເລື່ອຂອງຮະບນທ່າກັນ  $4.65 \pm 0.14$ ,  $5.10 \pm 0.10$  ແລະ  $5.13 \pm 0.12$  ຕາມລຳດັບ (ກາປປະກອນ 3-3) ແຕ່ສໍາຫັບພືອຂອງຮະບນທີ່ຮັບນໍາເສີຍພືອຂ 7 ທ່າກັນ 6.57 ໃນວັນທີ 5 ແລະ ລດລອງເລື່ອ 5.24 ໃນ ວັນທີ 10 ກັດຈາກນີ້ພືອຂອງຮະບນກີ່ມີແນວໂນມເພີ່ມສູງຂຶ້ນຈະທີ່ສົ່ນສຸດການເດີນຮະບນມີພືອຂ ທ່າກັນ 6.03 ໃນວັນທີ 150 ຂອງການເດີນຮະບນ (ກາປປະກອນ 3-1 (e))

ເມື່ອທຳການເດີນຮະບນຈະກະທິ່ງສົ່ນສຸດການທົດລອງພວວ່າ ເມື່ອພືອຂອງນໍາເສີຍປັນເຂົ້າຮະບນ ເພີ່ມຂຶ້ນເປັນ 4 ແລະ 5 ປະມາມ VFA ໃນນໍາທຶນເພີ່ມຂຶ້ນ (ເມື່ອເປົ້າຍເຖິງກັບຮະບນທີ່ຮັບນໍາເສີຍສົກມ ໂດຍໄມ່ຜ່ານການປັບພືອຂດັ່ງການ (ກາປປະກອນ 3-2) ໂດຍຄ່າ VFA ທີ່ເພີ່ມຂຶ້ນນີ້ເກີດຂຶ້ນຈາກແບຄທີ່ເຮີຍພລິຕ ກຣດໃນຮະບນຍັງສາມາດຍ່ອຍສາຮອນທີ່ນາດໃຫ້ໄໝໃຫ້ເປັນ VFA ໄດ້ແສດງລຶງການທຳການໄດ້ຂຶ້ນຂອງ ຈຸລິນທີ່ນິດພລິຕກຣດ ໃນຂະໜາດທີ່ MPB ຢັ້ງໄມ່ສາມາດທຳການໄດ້ຍ່າງມີປະສິທິກາພ ເໜີໄດ້ຈາກການ ທີ່ຮະບນເກີດການສະສົມຂອງ VFA ທີ່ເກີດຂຶ້ນ ໂດຍໄມ່ໄດ້ຄູກໃຊ້ໃນການສ້າງມີເທັນແລະ ກາຮັນອນໄດ້ອອກໃຊ້ດ້ວຍ MPB ຈາກການທີ່ພືອຂໃນຮະບນໄມ່ໄດ້ອູ້ງໃນຂ່ວງທີ່ເໜ່າສົມຕ່ອກການທຳການ ຂອງ MPB ເມື່ອປັບພືອຂນໍາເສີຍເປັນ 6 ແລະ 7 ພວວ່າປະມາມ VFA ໃນນໍາທຶນລດລອງຕາມລຳດັບ ແສດງໄ້ ເໜີລຶງການໃຊ້ໄປຂອງ VFA ໂດຍ MPB ເນື່ອຈາກພືອຂອງຮະບນທີ່ຮັບນໍາເສີຍປັບພືອຂເປັນ 7 ເລື່ອ

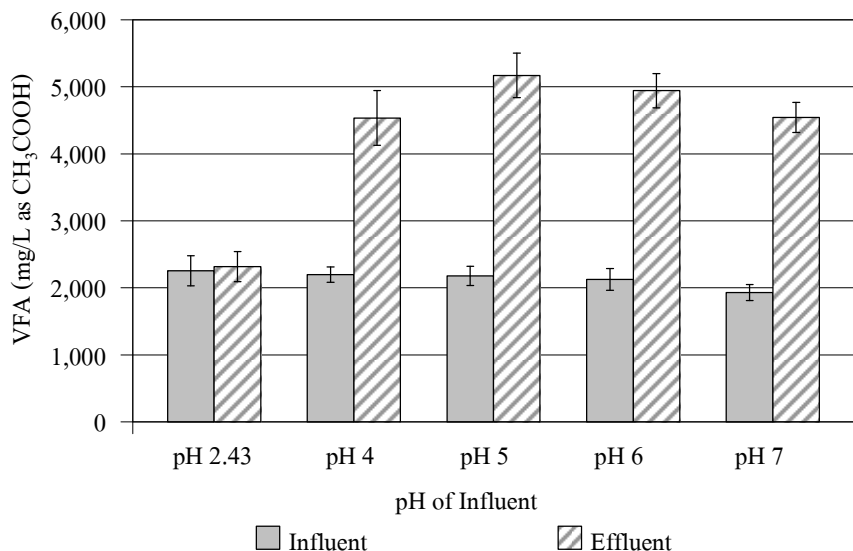
เท่ากับ  $6.04 \pm 0.14$  ซึ่งมีความเห็นใจสมต่อการทำงานของ MPB หากกว่าระบบที่รับน้ำเสียปรับพิเศษดับต่ำกว่า



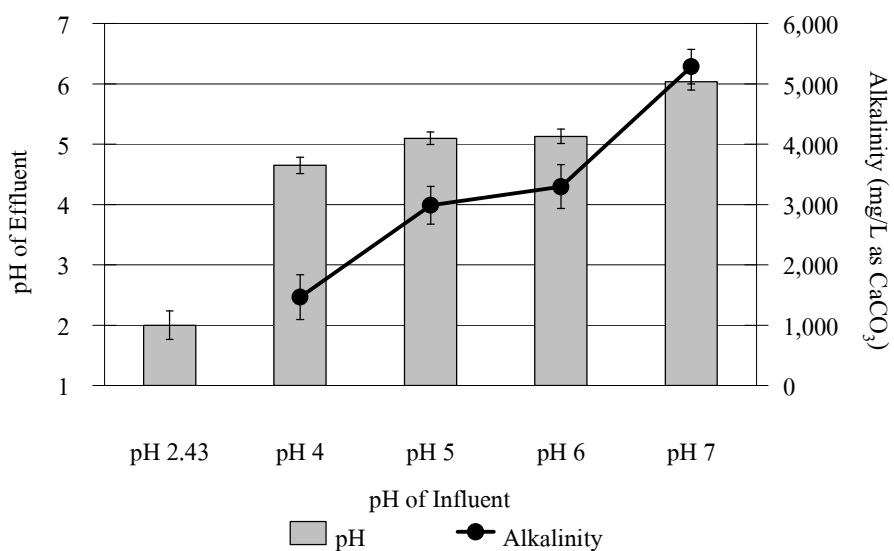
ภาพประกอบ 3-1 สภาพความเป็นกรดในระบบกำลังต่อเนื่อง ที่รับน้ำเสียที่ระดับพิเศษต่าง ๆ โดย (a) พิเศษ 2.43, (b) พิเศษ 4, (c) พิเศษ 5, (d) พิเศษ 6 และ (e) พิเศษ 7

เมื่อเปรียบเทียบพิเศษและสภาพค่าคงของน้ำทิ้ง พบว่ามีแนวโน้มสูงขึ้นตามพิเศษของน้ำเสีย ที่ถูกป้อนเข้าระบบที่เพิ่มขึ้น เนื่องจากการปรับพิเศษน้ำเสียก่อนเข้าระบบด้วยถ่านไม้ยางพารา ซึ่งมีองค์ประกอบของแคลเซียมออกไซด์ (CaO) ร้อยละ 59.5 (พนาลี ชีววิทยาศาสตร์ และคณะ, 2548) เป็นการเพิ่มสภาพด่าง (alkalinity) ให้กับระบบ เมื่อระบบมีสภาพด่างทำให้ระบบมีความสามารถด้านทานต่อการลดลงของพิเศษอันเป็นผลมาจากการสะสมของ VFA ที่เกิดขึ้นจากการทำงานของ

จุลินทรีย์ผลิตกรด (ภาพประกอบ 3-3) แต่ระบบที่รับน้ำเสียสกิมไม่ผ่านการปรับพีเอชนั้นไม่สามารถตัดสภาวะความเป็นด่างได้เนื่องจากน้ำทิ้งมีพีเอชน้อยกว่า 4

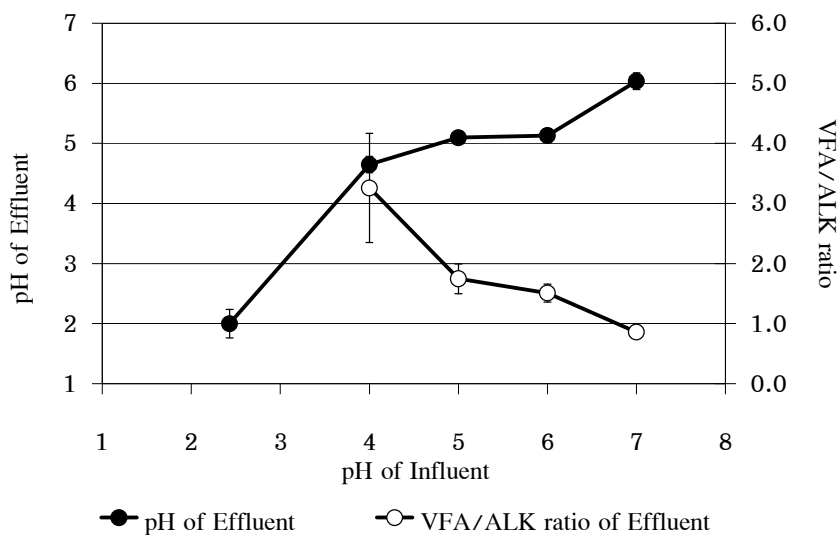


ภาพประกอบ 3-2 ปริมาณ VFA ในน้ำเสียที่ปรับพีเอชระดับต่าง ๆ และนำทิ้งจากระบบไร้อากาศแบบกะถังต่อเนื่อง ณ สภาวะคงตัว



ภาพประกอบ 3-3 พีเอช และสภาวะด่างในน้ำทิ้งจากระบบแบบกะถังต่อเนื่องที่รับน้ำเสียสกิมปรับพีเอชระดับต่าง ๆ ณ สภาวะคงตัว

นอกจากนี้อีกปัจจัยที่มีความสำคัญต่อการควบคุมการเดินระบบคือ VFA/ALK ratio ซึ่งสามารถใช้เป็นตัวชี้วัดความสามารถในการต้านทานการลดลงของพิโ袖ในระบบอันเกิดจากการสะสมของ VFA ที่เกิดขึ้นจากการย่อยสลายสารอินทรีย์ของจุลินทรีย์ในระบบ (buffer capacity) โดย Khanal (2008) กล่าวว่าระบบจะมีความสามารถในการต้านทานการลดลงของพิโ袖ได้ดีเมื่อ VFA/ALK ratio มีค่าระหว่าง 0.1-0.25 แต่ขณะที่ทำการเดินระบบ VFA/ALK ratio อาจจะมีค่าอยู่ในช่วง 0.3-0.4 ซึ่งถือว่าระบบยังคงมีกำลังบักฟเฟอร์สูง หาก VFA/ALK ratio มากกว่า 0.8 แสดงว่าระบบมีกำลังบักฟเฟอร์ต่ำมาก นั่นหมายถึงถ้ามีการเพิ่มขึ้นของ VFA ภายในระบบเพียงเล็กน้อย ระบบจะมีความสามารถเสี่ยงต่อการลดลงของพิโ袖อย่างรวดเร็ว (กรมโรงงานอุตสาหกรรม, 2545) ในกรณีลดลงครั้งนี้เมื่อระบบเข้าสู่สภาพแวดล้อมที่ตัวพบร่วมกับพิโ袖 ริออกาสจะก่อตัวเนื่องที่รับน้ำเสียสกิมปรับพิโ袖เป็น 4, 5, 6 และ 7 นั้นมี VFA/ALK ratio ลดลงตามลำดับแสดงดังภาพประกอบ 3-4 โดยมีค่าเท่ากับ  $3.26 \pm 0.91$ ,  $1.75 \pm 0.25$ ,  $1.51 \pm 0.15$  และ  $0.86 \pm 0.04$  ตามลำดับ จะเห็นได้ว่า VFA/ALK ratio ของระบบมีค่ามากกว่า 0.8 ถึงแม้ว่าจะทำการปรับพิโ袖ของน้ำเสียเข้าระบบเป็น 7 แล้วก็ตาม



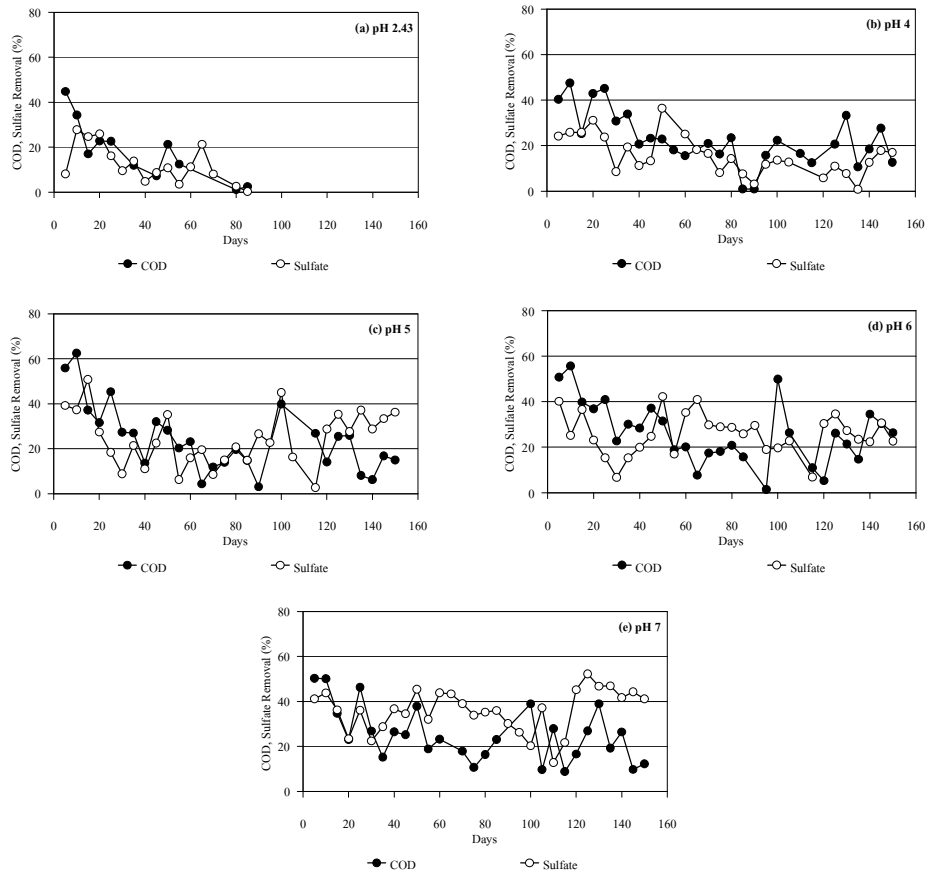
ภาพประกอบ 3-4 พิโ袖 และ VFA/ALK ratio ของระบบแบบกึ่งต่อเนื่องที่รับน้ำเสียสกิมปรับพิโ袖ระดับต่าง ๆ ณ สภาวะคงตัว

### 3.2.2 ชัลเฟต (Sulfate: $\text{SO}_4^{2-}$ )

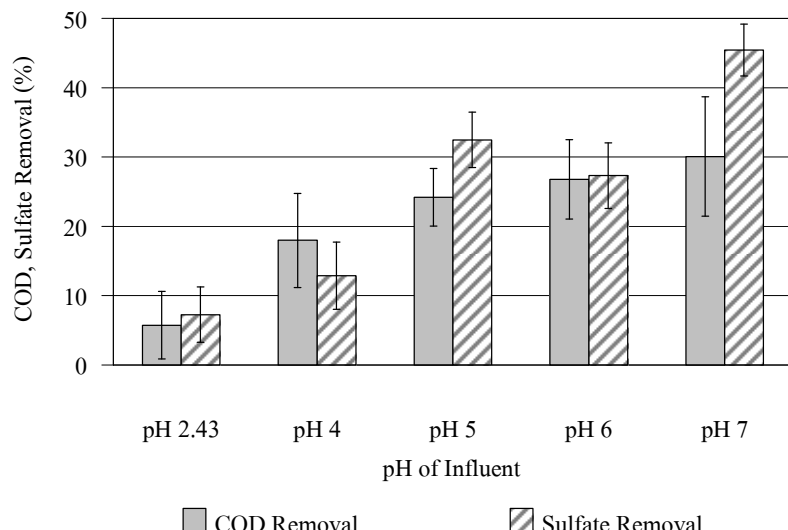
เมื่อทำการเดินระบบไวร่าอากาศจะกึ่งต่อเนื่องโดยระบบที่รับน้ำเสียไม่ปรับพิเชชณ์แนวโน้มประสิทธิภาพการกำจัดชัลเฟตเพิ่มขึ้นจากร้อยละ 8.1 (วันที่ 5) เป็นร้อยละ 27.8 ในวันที่ 10 ของการเดินระบบ หลังจากนั้นมีแนวโน้มลดลงจนกระทั่งระบบมีประสิทธิภาพเหลือเพียงร้อยละ 9.5 ในวันที่ 30 (ภาพประกอบ 3-5 (a)) และเมื่อทำการเดินระบบจนถึงวันที่ 85 ระบบมีประสิทธิภาพเหลือเพียงร้อยละ 0.3 เนื่องจากน้ำเสียที่ใช้ในการทดลองครั้งนี้มีความเข้มข้นของชัลเฟตสูง ( $6,506 \pm 1,038 \text{ mg/L}$ ) ซึ่งเมื่อถูกเปลี่ยนรูปไปเป็นไฮโดรเจนชัลไฟฟ์แล้ว จะทำให้เกิดความเป็นพิษกับจุลินทรีย์ได้อีกทั้งระบบมีพิเชชณ์ในระดับที่ต่ำมาก ( $2.00 \pm 0.24$ ) ซึ่งไม่เหมาะสมกับการเกิดปฏิกิริยา sulfidogenesis ดังนั้นจึงหยุดเดินระบบ ประสิทธิภาพการกำจัดชัลเฟตของระบบมีค่าเท่ากับร้อยละ  $7.25 \pm 4.01$  แต่เมื่อทำการปรับพิเชชณ์ก่อนป้อนเข้าระบบเป็น 4, 5, 6 และ 7 พบร่วมกับจุลินทรีย์ได้อีกทั้งระบบมีพิเชชณ์ในระดับที่ต่ำมาก ( $2.00 \pm 0.24$ ) ซึ่งไม่เหมาะสมกับการทดลอง (ภาพประกอบ 3-5 (b), (c), (d) และ (e))

เมื่อเดินระบบจะกึ่งต่อเนื่องจนกระทั่งสิ้นสุดการทดลอง ระบบที่รับน้ำเสียพิเชชณ์ 5 และ 6 มีประสิทธิภาพการกำจัดชัลเฟตร้อยละ  $32.46 \pm 3.99$  และ  $27.33 \pm 4.73$  ตามลำดับ ซึ่งไม่มีความแตกต่างกันอย่างมีนัยสำคัญทางสถิติ ( $p > 0.05$ ) และระบบที่รับน้ำเสียพิเชชณ์ 7 มีประสิทธิภาพการกำจัดชัลเฟตร้อยละ  $45.45 \pm 3.75$  แสดงถึงแนวโน้มประสิทธิภาพการกำจัดชัลเฟตสูงขึ้นเมื่อปรับพิเชชณ์ของน้ำเสียเข้าระบบเพิ่มขึ้น (ภาพประกอบ 3-6) หากพิจารณาในภาพรวมแล้ว พบว่าทุกๆ ระบบมีประสิทธิภาพการกำจัดชัลเฟตน้อยกว่าร้อยละ 50 เนื่องจากจุลินทรีย์ถูกบั้งการทำงานด้วยความเป็นพิษของไฮโดรเจนชัลไฟฟ์ซึ่งมีการเปลี่ยนรูปไปตามพิเชชณ์ที่เปลี่ยนแปลง ร้อยละการเปลี่ยนแปลงรูปของชัลไฟฟ์แสดงดังสมการ (8) หากระบบมีความเข้มข้นของไฮโดรเจนชัลไฟฟ์มากกว่า  $150-200 \text{ mg/L}$  จะมีความเป็นพิษและมีผลบั้งการทำงานของจุลินทรีย์ในระบบ (Bitton, 2005) โดยที่ MPB มีความอ่อนไหวต่อความเป็นพิษจากไฮโดรเจนชัลไฟฟ์มากกว่าจุลินทรีย์ผลิตกรด ซึ่งปริมาณชัลไฟฟ์ในน้ำทึ่งสามารถคำนวณได้จากการสมการ (9) (Speece, 1996) โดยชัลเฟต ( $\text{SO}_4^{2-}$ )  $96 \text{ g}$  จะถูกเปลี่ยนเป็นชัลไฟฟ์ ( $\text{HS}^-$ )  $33 \text{ g}$  ปริมาณของชัลไฟฟ์ในระบบที่ได้จากการคำนวณแสดงในตาราง 3-2





ภาพประกอบ 3-5 ประสิทธิภาพการกำจัด COD และซัลเฟตของระบบกะกึ่งต่อเนื่อง โดย (a) พีอีช 2.43, (b) พีอีช 4, (c) พีอีช 5, (d) พีอีช 6 และ (e) พีอีช 7



ภาพประกอบ 3-6 ประสิทธิภาพการกำจัด COD และซัลเฟตของระบบแบบกะกึ่งต่อเนื่องที่รับน้ำเสียปรับพีอีชระดับต่าง ๆ ณ สภาพะคงตัว

ตารางที่ 3-2 ค่า COD และซัลเฟตในน้ำเสีย และน้ำทิ้งของระบบจะกึ่งต่อเนื่องที่รับน้ำเสียปรับพิอิชระดับต่าง ๆ ณ สภาวะคงตัว

pH of Influent	COD		Sulfate		$S_T^*$ (mg/L)	$H_2S$ (mg/L)
	Influent	Effluent	Influent	Effluent		
pH 2.43	16,386±922	14,787±835	7,339±540	6,730±712	176±94	176±94
pH 4	16,409±1,276	12,627±830	5,485±169	4,892±271	228±96	227±95
pH 5	15,585±1,592	13,264±555	5,722±502	3,865±396	638±98	630±96
pH 6	15,676±869	11,670±930	5,725±331	4,150±184	541±121	533±119
pH 7	15,966±1,528	12,135±1,705	5,942±236	3,239±229	929±98	825±76

หมายเหตุ : \* ได้จากการคำนวณจากสมการ (8) แสดงในภาคผนวก ข

$S_T$  คือ Total Sulfide

### 3.2.3 COD (Chemical Oxygen Demand)

ประสิทธิภาพการกำจัด COD ของน้ำเสียในการทดลองครั้งนี้ทั้งที่ไม่ปรับและปรับพิอิช มีแนวโน้มลดลงในช่วงประมาณ 30 วันแรก (ภาพประกอบ 3-5) เมื่อเดินระบบต่อไปพบว่าระบบที่ นำบัดน้ำเสียไม่ผ่านการปรับพิอิชมีการกำจัด COD ต่ำมาก และมีความแปรผันค่อนข้างสูง เนื่องจากความเข้มข้นของ COD น้ำเสียที่ป้อนสู่ระบบมีการแปรผันสูง เพราะเป็นน้ำเสียจริงที่เก็บรวบรวมมาจากโรงงาน การกำจัด COD จะเกิดเมื่อสารอินทรีย์ถูกเปลี่ยนเป็นก๊าซชีวภาพ ซึ่ง สอดคล้องกับความสามารถของ MPB

ประสิทธิภาพการกำจัด COD ที่ระบบเข้าสู่สภาวะคงตัวมีแนวโน้มเพิ่มขึ้นตามระดับพิอิช ของน้ำเสียป้อนเข้าระบบที่เพิ่มขึ้น (ภาพประกอบ 3-6) น้ำเสียป้อนเข้าระบบที่ไม่ทำการปรับพิอิช มีปริมาณ COD เท่ากับ  $16,386\pm922$  mg/L (ตารางที่ 3-2) ประสิทธิภาพการกำจัด COD ของระบบ เท่ากับร้อยละ  $5.72\pm4.88$  เนื่องจากการกำจัด COD นั้นเป็นผลมาจากการผลิตมีเทนและ คาร์บอนไดออกไซด์ของ MPB และการรีดิวเซ็ลเฟตของ SRB ดังนั้นการปรับพิอิชของน้ำเสียให้ สูงขึ้นจึงส่งผลให้ระบบมีพิอิชที่เหมาะสมต่อการทำงานของจุลินทรีย์มากขึ้น สภาวะที่เหมาะสมต่อ การทำงานของจุลินทรีย์จึงมีความสำคัญต่อประสิทธิภาพการกำจัด COD โดยเมื่อป้อนน้ำเสียที่ ระดับพิอิชเป็น 7 ระบบมีประสิทธิภาพการกำจัด COD เป็นร้อยละ  $30.08\pm8.61$

จากการทดลองที่ 1 ในการศึกษาหาค่าพิอุชที่เหมาะสมต่อการกำจัดชัลเฟตในน้ำเสียจากกระบวนการผลิตยางสกินด้วยระบบไร้อากาซแบบกะกึ่งต่อเนื่องปรับพิอุของน้ำเสียก่อนป้อนเข้าระบบที่ระดับต่าง ๆ คือ 4, 5, 6, 7 และไม่ปรับพิอุ (2.43) ด้วยถ้าไม้ข้างพาราพบว่า เมื่อปรับพิอุของน้ำเสียก่อนเข้าระบบเป็น 7 ระบบมีประสิทธิภาพการกำจัดชัลเฟตสูงที่สุดอย่างมีนัยสำคัญทางสถิติ ( $p<0.05$ ) มีค่าเท่ากับร้อยละ  $45.45\pm3.75$  ดังนั้นผู้วิจัยจึงได้นำผลที่ได้จากการทดลองที่ 1 ไปศึกษาประสิทธิภาพการกำจัดชัลเฟตของระบบบำบัดน้ำเสียไร้อากาซแบบ UASB และ ASBR ใน การทดลองที่ 2 ต่อไป

### 3.3 การทดลองที่ 2 ผลของระบบไร้อากาซแบบ UASB และ ASBR ในระดับห้องปฏิบัติการ

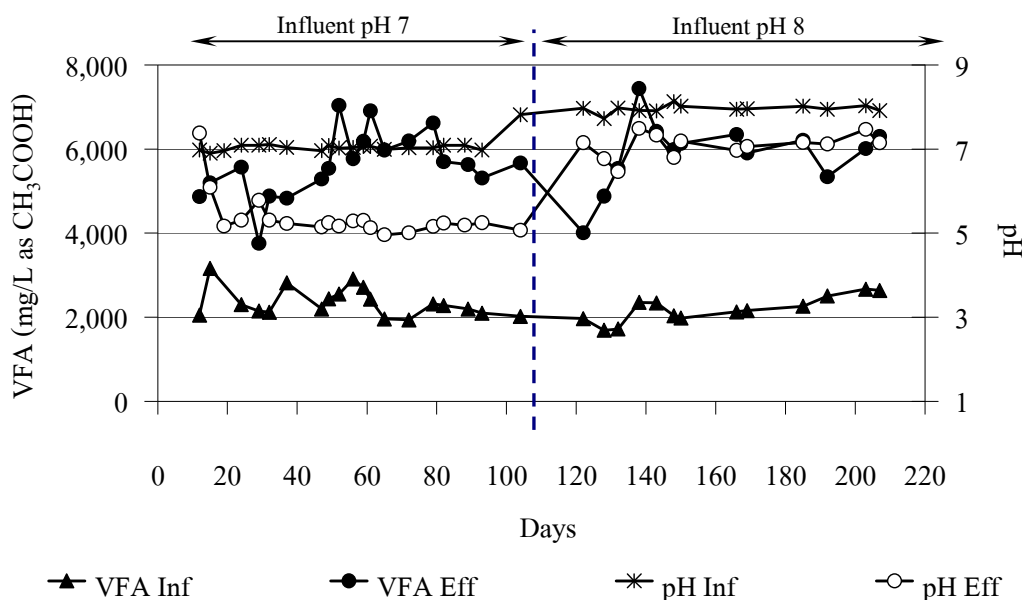
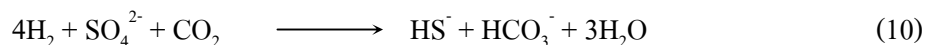
#### 3.3.1 VFA (volatile fatty acid) สภาพด่าง (alkalinity) และพิอุ

จากการทดลองพบว่าใน 16 วันแรกพบว่าพิอุของระบบ UASB มีค่าอยู่ที่ 7.38 และลดลงเหลือ 5.31 ในวันที่ 28 ของการเดินระบบ หลังจากนั้นพิอุของระบบ UASB ก็คงตัวตลอดการทดลอง เมื่อทำการเดินระบบได้ 97 วัน พิอุของระบบมีค่าเป็น 5.25 (ภาพประกอบ 3-7) หลังจากนั้นได้ทำการปรับพิอุของน้ำเสียเข้าระบบเป็น 8 ทำให้ระบบเกิดการปรับตัว พิอุของระบบเพิ่มขึ้นจาก 5.07 (วันที่ 108) เป็น 7.25 ในวันที่ 126 ของการเดินระบบ เมื่อระบบ UASB เข้าสู่สภาวะคงตัวมี VFA เท่ากับ  $5,885\pm493$  mg/L as  $\text{CH}_3\text{COOH}$  (ตารางที่ 3-3)

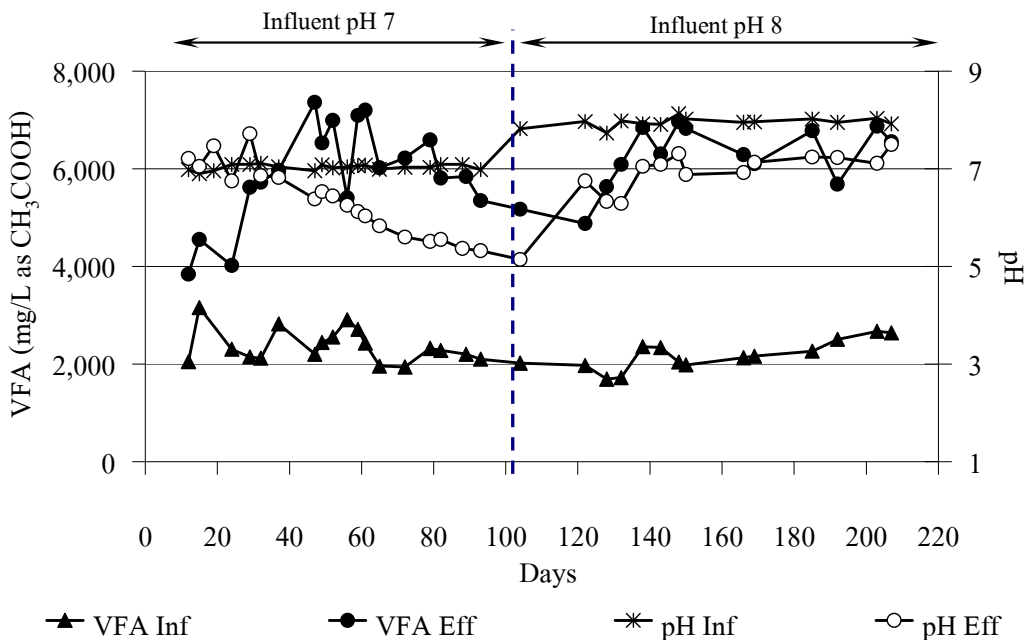
เมื่อเดินระบบ ASBR พบว่าพิอุของระบบลดลงต่ำกว่า 7 เมื่อเดินระบบได้ 40 วัน และลดลงเรื่อง ๆ จนกระทั่งพิอุของระบบมีค่าเป็น  $5.60\pm0.25$  ปริมาณ VFA เพิ่มขึ้นจาก  $4,137\pm369$  mg/L as  $\text{CH}_3\text{COOH}$  เป็น  $6,049\pm568$  mg/L as  $\text{CH}_3\text{COOH}$  ในวันที่ 16-28 ของการเดินระบบ (ภาพประกอบ 3-8) เมื่อทำการปรับพิอุของน้ำเสียเข้าระบบจาก 7 เป็น 8 ทำให้พิอุของระบบเพิ่มสูงขึ้นจนกระทั่งมีค่าเท่ากับ  $7.28\pm0.20$  และมี VFA เท่ากับ  $6,370\pm614$  mg/L as  $\text{CH}_3\text{COOH}$  (ตารางที่ 3-3)

เมื่อระบบ UASB และ ASBR ที่รับน้ำเสียปรับพิอุเป็น 8 เข้าสู่สภาวะคงตัวพบว่าระบบทั้งสองจะมีพิอุใกล้เคียงกัน ถึงแม้ว่าปริมาณ VFA ของระบบ ASBR จะสูงกว่าระบบ UASB ดังแสดงในตารางที่ 3-3 ทั้งนี้เนื่องจากระบบ UASB มีสภาพความเป็นด่างน้อยกว่าระบบ ASBR ซึ่งมีค่าเท่ากับ  $7,683\pm1,151$  mg/L as  $\text{CaCO}_3$  และ  $8,963\pm674$  mg/l as  $\text{CaCO}_3$  ตามลำดับ เพราะสภาพความเป็นด่างภายในระบบจะเป็นบaffler ป้องกันการลดลงอันเกิดจากปริมาณ VFA ที่เกิดขึ้นและสะสมอยู่ภายในระบบ สภาพความเป็นด่างของระบบนอกจากจะเกิดจากการปรับพิอุของน้ำเสียด้วยถ้าไม้ข้างพาราที่มีแคลเซียมออกไซด์ ( $\text{CaO}$ ) เป็นองค์ประกอบแล้ว ยังมาจาก

ปฏิกิริยาซัลเฟตเรดักชันได้อีกด้วย (Mara and Horan, 2003 และ Greben *et. al.*, 2005) สามารถแสดงได้ดังสมการ (10), (11) และ (12) โดย 2 mole ของสภាពค่าง (100 g) จะเกิดจากการรีดิวเซชันของซัลเฟต 1 mole (96 g) หรือ ซัลไฟต์ 2 mole (Speece, 1996) ดังนั้นระบบ ASBR จึงมีสภាពค่างมากกว่าระบบ UASB เนื่องจากระบบ ASBR มีประสิทธิภาพการกำจัดซัลเฟตสูงกว่าระบบ ASBR (ตารางที่ 3-3)

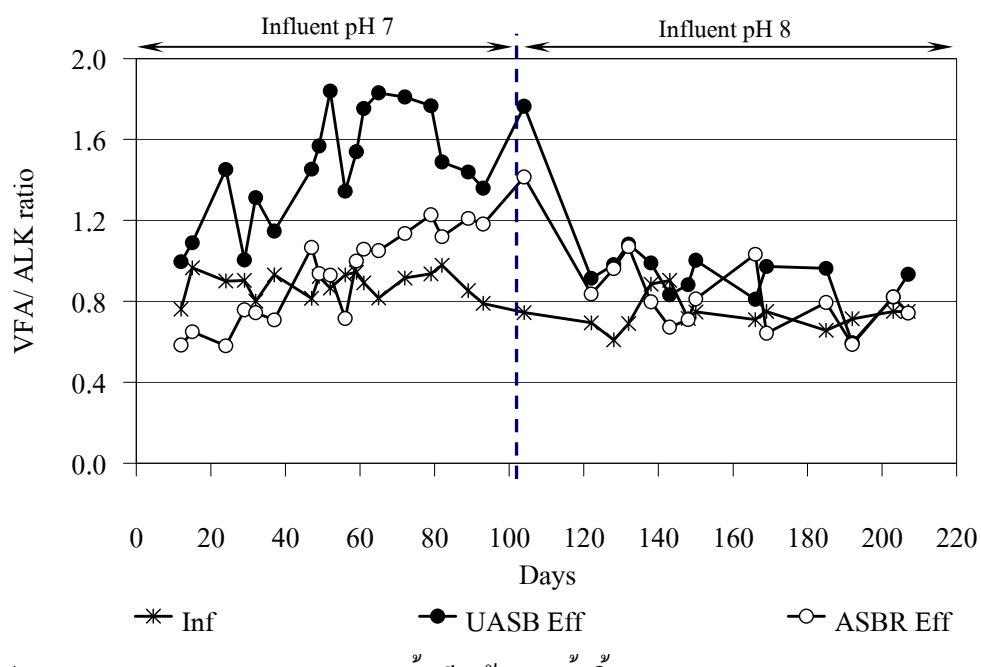


ภาพประกอบ 3-7 VFA และพีเอชในน้ำเสียเข้า และน้ำทิ้งจากระบบ UASB



ภาพประกอบ 3-8 VFA และพีอีชในน้ำเสียเข้าและน้ำทิ้งจากระบบ ASBR

นอกจากนี้ VFA/ALK ratio เป็นอีกปัจจัยหนึ่งที่มีความสำคัญต่อการทำงานของระบบไร์อากาศ (กรมโรงงานอุตสาหกรรม, 2545) ซึ่ง Khanal (2008) ได้กล่าวว่าโดยทั่วไประบบไร์อากาศควรมี VFA/ALK ratio อยู่ในช่วง 0.1-0.25 จึงไม่มีความเสี่ยงต่อการลดลงของพีอีชที่เกิดจาก การสะสมของ VFA ในระบบ ขณะเดินระบบ VFA/ALK ratio อาจเพิ่มขึ้นจนกระทั่งอยู่ในช่วง 0.3-0.4 ถือว่าระบบขังคงมีกำลังบีฟเฟอร์สูง แต่เมื่อระบบมีค่า VFA/ALK ratio มากกว่า 0.8 แสดงว่า ระบบมีกำลังบีฟเฟอร์ต่ำมาก (Zhao. and Viraraghavan, 2004) พีอีชของระบบอาจจะลดลงอย่าง รวดเร็วเมื่อมี VFA สะสมในระบบและส่งผลให้ MPB ถูกขับย้ายการทำงานได้ ซึ่งในช่วงแรกของ ระบบ UASB และ ASBR ที่รับน้ำเสียพีอีชเท่ากัน 7 พ布 ว่าระบบทั้งสองมี VFA/ALK ratio มากกว่า 0.8 ซึ่งสอดคล้องกับการทดลองที่ 1 โดยมีค่าเป็น  $1.64 \pm 0.20$  และ  $1.14 \pm 0.07$  ตามลำดับ (ภาพประกอบ 3-9) ทำให้ระบบไม่มีความสามารถในการต้านทานการลดลงของพีอีช เมื่อทำการ ปรับพีอีชของน้ำเสียเข้าระบบเป็น 8 พบ ว่า VFA/ALK ratio ของระบบ UASB และ ASBR มีค่าเป็น  $0.78 \pm 0.17$  และ  $0.72 \pm 0.12$  ตามลำดับ เป็นผลมาจากการระบบมีสภาพด่างเพิ่มขึ้น ทำให้ระบบทั้ง สองสามารถต้านทานการลดลงของพีอีชได้ดีขึ้น



ภาพประกอบ 3-9 VFA/ALK ratio ของน้ำเสียเข้าและน้ำทิ้งจากระบบ UASB และ ASBR

ตารางที่ 3-3 เปรียบเทียบประสิทธิภาพการทำงานของระบบ UASB และ ASBR ที่รับน้ำเสียเข้าระบบปรับพิเชื่อเป็น 8 ณ สภาพแวดล้อม

Parameter	UASB	ASBR
	Average±SD	Average±SD
pH	7.25±0.19	7.28±0.20
VFA (mg/L as CH <sub>3</sub> COOH)	5,885±493	6,370±614
Alkalinity (mg/L as CaCO <sub>3</sub> )	7,683±1,151	8,963±674
VFA/Alkalinity Ratio	0.78±0.17	0.72±0.12
COD Removal (%)	33.09±0.99	24.44±1.29
Sulfate Removal (%)	27.37±2.55	46.58±1.98
Biogas production (mL/day)	240±44	86±5
Observed CH <sub>4</sub> Yield (L CH <sub>4</sub> /g COD <sub>removal</sub> )	7.52±1.55	0.52±0.19
CH <sub>4</sub> in Biogas (%)	60.0±1.1	8.6±2.2
H <sub>2</sub> S in Biogas (ppm)	6,136±2,355	9,784±1,161
Dissolved H <sub>2</sub> S * (mg/L)	341±229	592±396

หมายเหตุ: \* ได้จากการคำนวณจากสมการ (8) และดังในภาคผนวก ๔

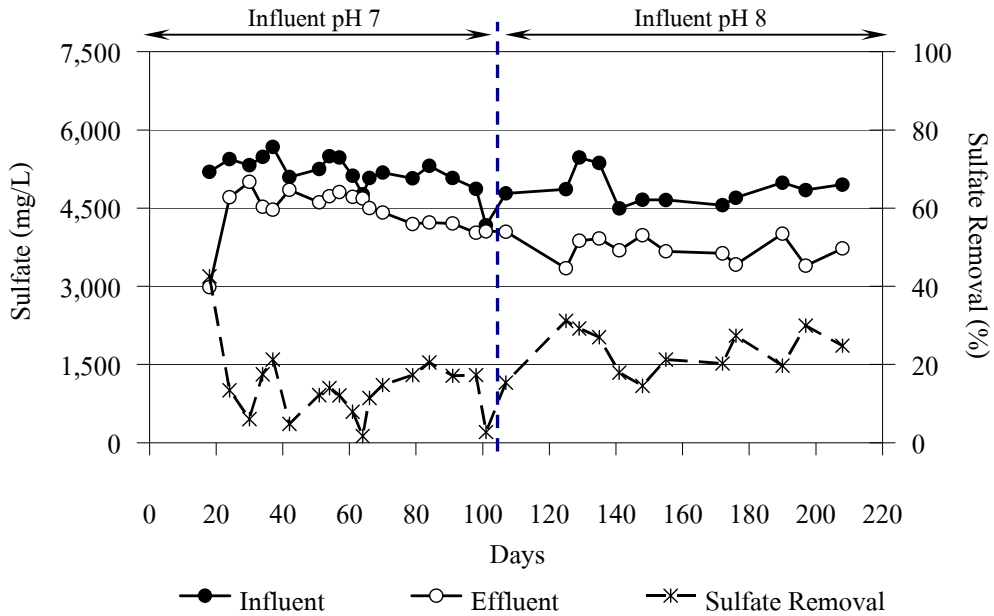
### 3.3.2 ชัลเฟต (Sulfate: $\text{SO}_4^{2-}$ )

เมื่อทำการเดินระบบ UASB ด้วยน้ำเสียสกินปรับพีอุ๊ชเป็น 7 พบว่าประสิทธิภาพการกำจัดชัลเฟตต่ำอยู่ที่ร้อยละ  $14.43 \pm 5.87$  ทั้งนี้อาจเนื่องมาจากพีอุ๊ของระบบมีค่าต่ำ ( $5.13 \pm 0.11$ ) ซึ่ง SRB จะถูกขับยังการทำงานเมื่อพีอุ๊ต่ำกว่า 5.5 หรือมากกว่า 9 (Mara and Horan, 2003) เมื่อทำการปรับพีอุ๊ของน้ำเสียเข้าระบบเป็น 8 พบว่าประสิทธิภาพการกำจัดชัลเฟตของระบบมีแนวโน้มสูงขึ้นจากร้อยละ 15.3 (วันที่ 107) เป็นร้อยละ 31.2 ในวันที่ 129 เมื่อระบบ UASB เข้าสู่สภาวะคงตัวประสิทธิภาพการกำจัดชัลเฟตมีค่าเท่ากับร้อยละ  $27.37 \pm 2.55$  (ภาพประกอบ 3-10) ถึงแม้ระบบจะมีประสิทธิภาพในการบำบัดชัลเฟตเพิ่มขึ้นแต่ก็ยังไม่สูงมากนัก ซึ่งอาจเป็นผลจากลักษณะการป้อนน้ำเสียที่ทำให้ส่วนล่างของระบบ UASB รับน้ำเสียที่มีความเข้มข้นของชัลเฟตที่สูง และการสะสมของ VFA ภายในระบบ

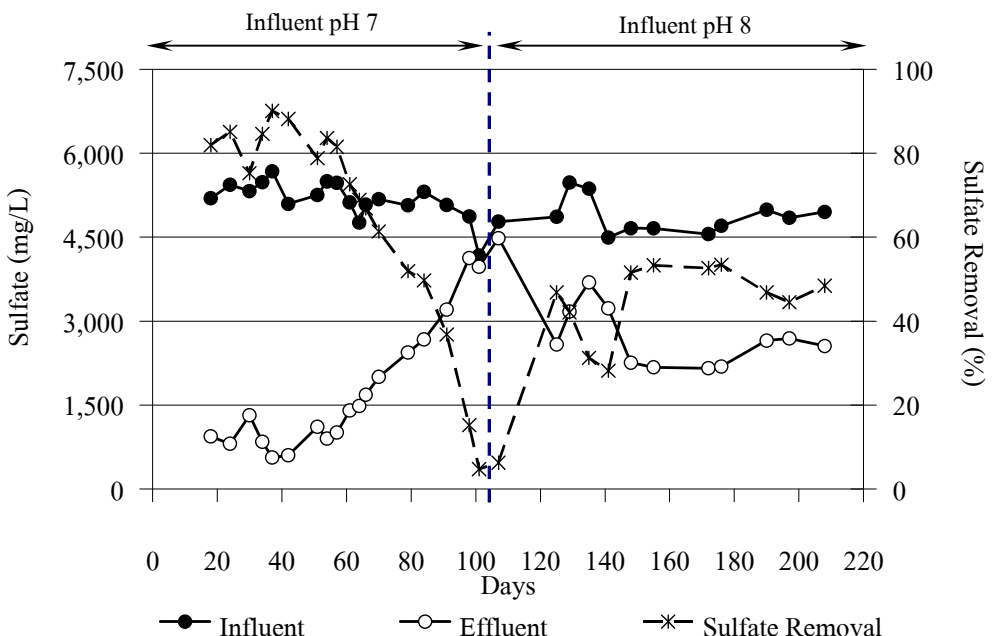
เมื่อพิจารณาประสิทธิภาพการกำจัดชัลเฟตของระบบ ASBR ที่รับน้ำเสียก่อนป้อนเข้าระบบปรับพีอุ๊เป็น 7 พบว่า 60 วันแรกระบบมีประสิทธิภาพมากกว่าร้อยละ 80 หลังจากนั้น ประสิทธิภาพของระบบ ASBR ในการกำจัดชัลเฟตมีแนวโน้มลดลงเรื่อยๆ จนกระทั่งมีค่าน้อยกว่าร้อยละ 20 (ภาพประกอบ 3-11) เกิดจากการสะสมของ VFA ที่ส่งผลให้พีอุ๊ของระบบลดลงแสดงดังภาพประกอบ 3-7 ทำให้เกิดสภาวะที่ไม่เหมาะสมต่อการทำงานของจุลินทรีย์ในระบบ และยังเป็นผลมาจากการที่ไฮโดรเจนชัลไฟฟ์ที่เกิดจากชัลเฟตรีดักชัน ซึ่งมีความเป็นพิษต่อ SRB ในระบบ (Maillacheruvu and Parkin, 1996) เมื่อทำการปรับพีอุ๊ของน้ำเสียเข้าระบบเป็น 8 ทำให้ประสิทธิภาพของระบบเพิ่มสูงขึ้นและที่สภาวะคงตัวระบบมีประสิทธิภาพในการกำจัดชัลเฟตอยู่ที่ร้อยละ  $46.58 \pm 1.98$

เมื่อทำการเปรียบเทียบผลของประสิทธิภาพการกำจัดชัลเฟตที่สภาวะคงตัวพบว่าระบบ ASBR มีประสิทธิภาพการกำจัดชัลเฟตสูงกว่าระบบ UASB (ตารางที่ 3-3) ซึ่งมีความแตกต่างกันอย่างมีนัยสำคัญทางสถิติ ( $p < 0.05$ ) อาจเกิดจากการที่ระบบ ASBR มีการกวนผสมภายในระบบ เมื่อทำการป้อนน้ำเสียเข้าระบบทำให้เกิดการเจือจางของน้ำเสียขึ้นภายในระบบ ในขณะที่ระบบ UASB ไม่มีการกวนผสม เมื่อระบบ UASB ได้รับน้ำเสียทำให้ไม่เกิดการเจือจางทั่วทั้งระบบเหมือนระบบ ASBR ดังนั้นส่วนล่างของระบบ UASB จึงต้องรับน้ำเสียที่มีความเข้มข้นมากกว่าระบบ ASBR อีกปัจจัยที่มีความสำคัญต่อประสิทธิภาพการกำจัดชัลเฟตของระบบ UASB คือ การที่ SRB ไม่มีการรวมตัวเป็นเม็ดตะกอนจุลินทรีย์ (granular) เช่นเดียวกับ MPB แต่จะมีลักษณะเป็นการรวมตะกอน (flocs) (Visser et al., 1993) SRB จึงมีโอกาสที่จะถูกชะ (wash out) ออกจากระบบ UASB ได้ง่าย (De Smul et al., 1999 และ Shayegan et al., 2005) ขณะที่ระบบ ASBR นั้นจะมีการ

ปล่อยให้เกิดการตัดก่อนก่อนที่จะถ่ายนำทิ้งออกจากระบบทำให้ระบบ ASBR มีความเสี่ยงต่อการสูญเสีย SRB ในระบบน้อยกว่าระบบ UASB



ภาพประกอบ 3-10 ประสิทธิภาพการกำจัดซัลเฟต ความเข้มข้นของซัลเฟตในน้ำเสียเข้าระบบ และนำทิ้งจากระบบ UASB

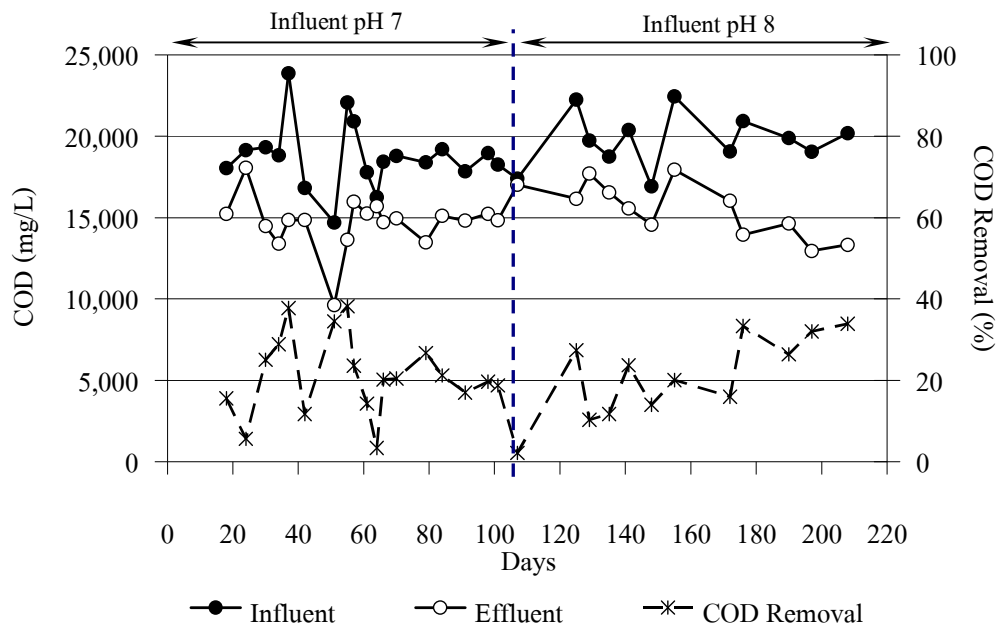


ภาพประกอบ 3-11 ประสิทธิภาพการกำจัดซัลเฟต ความเข้มข้นของซัลเฟตในน้ำเสียเข้าระบบ และนำทิ้งจากระบบ ASBR

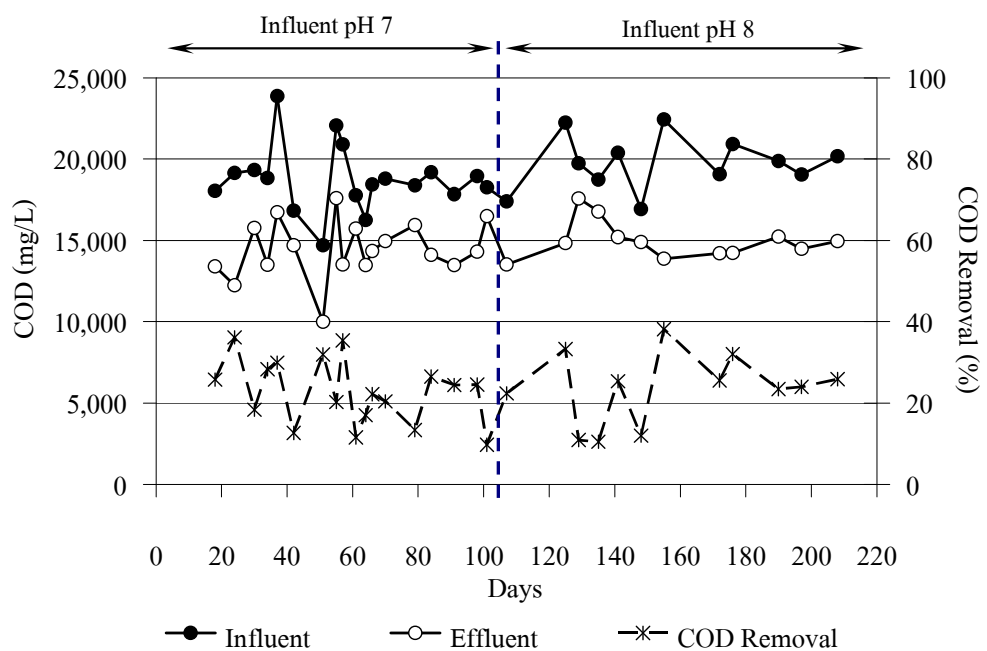
### 3.3.3 COD (Chemical Oxygen Demand)

ประสิทธิภาพการกำจัด COD ของระบบ UASB และ ASBR ที่รับน้ำเสียปรับพีอุชเป็น 7 มีค่าไกด์เคียงกันคือร้อยละ  $20.56 \pm 3.04$  และ  $20.17 \pm 6.28$  ตามลำดับ โดยช่วง 65 วันแรกที่ทำการเดินระบบ UASB พบว่าจากการที่นำเสียที่นำมาใช้ในการทดลองมีความแปรผันของ COD ทำให้ระบบมีความแปรผันของประสิทธิภาพการกำจัด COD หลังจากวันที่ 79 ระบบมีความเสถียรสูงขึ้น (gap ประกอบ 3-12) และมีค่าร้อยละ  $25.09 \pm 8.45$  หลังจากนั้นทำการปรับพีอุชนำเสียเข้าระบบเป็น 8 พน ว่า ประสิทธิภาพเพิ่มขึ้นเล็กน้อย โดยระบบมีแนวโน้มของประสิทธิภาพการกำจัดสูงขึ้นจากวันที่ 107-172 จนกระทั่งระบบมีความคงตัวและมีประสิทธิภาพการกำจัด COD เท่ากับร้อยละ  $33.09 \pm 0.99$  อีกทั้งระบบ UASB มีค่า VFA/ALK ratio เท่ากับ  $1.64 \pm 0.20$  เมื่อมีการสะสม VFA ในระบบที่เกิดจากจุลินทรีย์สร้างกรดขณะที่ระบบมีสภาพด่างไม่เพียงพอต่อการดำเนินการลดลงของพีอุชในระบบ (VFA/ALK ratio > 0.8) เมื่อพีอุชของระบบลดลงส่งผลให้เกิดสภาพที่ไม่เหมาะสมต่อการทำงานของ MPB ซึ่งมีความอ่อนไหวต่อสภาพแวดล้อมทำให้ MPB ไม่สามารถทำงานได้อ่องมีประสิทธิภาพ ระบบ UASB จึงมีประสิทธิภาพการกำจัด COD ไม่สูงมากนัก ถึงแม้จะปรับพีอุชของนำเสียเพิ่มขึ้นเพื่อให้เหมาะสมต่อการทำงานของ MPB แต่จุลินทรีย์ผลิตกรดกีดขวางคงผลิต VFA เช่นกัน ซึ่ง VFA ที่เกิดขึ้นนั้นขังคงสามารถกัดได้ในรูปของ COD ทำให้ค่า COD ของระบบลดลงเพียงเล็กน้อยเท่านั้น

สำหรับระบบ ASBR ที่รับน้ำเสียสกimmerปรับพีอุชเป็น 7 เข้าระบบพบว่าในช่วง 65 วันแรกของการเดินระบบประสิทธิภาพการกำจัด COD มีความแปรผันเช่นเดียวกันกับระบบ UASB โดยมีแนวโน้มประสิทธิภาพการกำจัด COD ลดลง (gap ประกอบ 3-13) โดยพีอุชของระบบลดต่ำลง (gap ประกอบ 3-8) มีค่าเท่ากับ  $5.60 \pm 0.25$  ซึ่งเป็นระดับที่ไม่เหมาะสมต่อการทำงานของจุลินทรีย์ที่ทำงานอยู่ภายในระบบ และบังส่งผลต่อการทำงานของ SRB ทำให้การรีดิวชั่ลเฟตในระบบลดลง (gap ประกอบ 3-12) โดยในการรีดิวชั่ลเฟตนั้นจำเป็นจะต้องใช้ COD ร่วมด้วยในสัดส่วน COD 0.67 g ต่อการรีดิวชั่ลเฟต 1 g (Lens *et al.*, 1998) หากระบบมีการรีดิวชั่ลเฟตลดลงก็ส่งผลให้ประสิทธิภาพการกำจัด COD ของระบบลดลงด้วย โดยที่สภาวะคงตัวระบบ ASBR มีร้อยละของการนำบัด COD อยู่ที่  $24.44 \pm 1.29$  เมื่อทำการปรับพีอุชของนำเสียป้อนเข้าระบบ ASBR เป็น 8 ทำให้ระดับพีอุชของระบบ ASBR เพิ่มขึ้นเป็น  $7.14 \pm 0.12$  ซึ่งเป็นสภาวะที่เหมาะสมต่อการทำงานของจุลินทรีย์มากขึ้น



ภาพประกอบ 3-12 ประสิทธิภาพการกำจัด COD ความเข้มข้นของ COD ในน้ำเสียเข้าระบบ และนำทิ้งจากระบบ UASB



ภาพประกอบ 3-13 ประสิทธิภาพการกำจัด COD ความเข้มข้นของ COD ในน้ำเสียเข้าระบบ และนำทิ้งจากระบบ ASBR

ดังที่กล่าวมาข้างต้นจะเห็นว่า COD ในระบบ UASB ถูกเปลี่ยนไปเป็นมีเทนและคาร์บอนไดออกไซด์ โดยมีองค์ประกอบของก๊าซชีวภาพเป็นมีเทนร้อยละ  $60.0\pm1.1$  ส่วนระบบ ASBR จะใช้ COD ใน การรีดิวเซชัลเฟต ซึ่งมีองค์ประกอบของก๊าซชีวภาพเป็นมีเทนเท่ากับร้อยละ  $8.6\pm2.2$

### 3.3.4 องค์ประกอบของมีเทนและไฮโดรเจนซัลไฟด์

ปริมาณก๊าซชีวภาพที่ระบบผลิตขึ้นและองค์ประกอบของมีเทนในก๊าซชีวภาพถือเป็นอีกด้วยที่สามารถบ่งชี้ถึงการทำงานของ MPB ในระบบ เมื่อเปรียบเทียบองค์ประกอบมีเทนของก๊าซชีวภาพที่ผลิตจากระบบ UASB และ ASBR พนว่าระบบ UASB มีองค์ประกอบของมีเทนมากกว่าคือร้อยละ  $60.0\pm1.1$  ส่วนระบบ ASBR มีค่าอยู่ที่ร้อยละ  $8.6\pm2.2$  และปริมาณก๊าซชีวภาพที่ระบบผลิตขึ้นระหว่างระบบ UASB และ ASBR มีค่าเฉลี่ยเป็น  $240\pm44$  mL/day และ  $86\pm5$  mL/day ตามลำดับ และมีค่า observed CH<sub>4</sub> Yield เฉลี่ย  $7.52\pm1.55$  L CH<sub>4</sub>/g COD<sub>removal</sub> และ  $0.52\pm0.19$  L CH<sub>4</sub>/g COD<sub>removal</sub> ตามลำดับ และถึงการทำงานที่มีประสิทธิภาพหรือปริมาณของ MPB ในระบบ UASB ที่มากกว่าระบบ ASBR อีกสาเหตุที่ทำให้ระบบ ASBR มีปริมาณก๊าซชีวภาพ และมีเทนต่ำกว่าคือปฏิกิริยาซัลเฟตวิศักขันที่เกิดขึ้นในระบบ ASBR ส่งผลให้มีองค์ประกอบของไฮโดรเจนซัลไฟด์ในก๊าซชีวภาพของระบบ ASBR สูงกว่าระบบ UASB (ตารางที่ 3-3) ซึ่งไฮโดรเจนซัลไฟด์นั้นมีความเป็นพิษสามารถขับยิ่งการทำงานของจุลินทรีย์ภายในระบบได้ และทำให้ความสามารถในการผลิตก๊าซชีวภาพของระบบลดลงถึงร้อยละ 70 เมื่อความเข้มข้นของไฮโดรเจนซัลไฟด์ในระบบมีความเข้มข้นมากกว่า 200 mg/L (McCartney and Oleszkiewicz. 1993)

## 3.4 การเปรียบเทียบการทำงานของระบบไฮdroเจนซัลไฟด์กับอากาศที่รับน้ำเสียอุตสาหกรรมยางพาราที่แตกต่างกัน

การเปรียบเทียบการทำงานของระบบไฮdroเจนซัลไฟด์ UASB ASBR และถังปฏิกิริยาน้ำเสียอากาศ แบบแผ่นกัน (ABR) ที่นำบัดน้ำเสียจากอุตสาหกรรมนำยางขึ้นในส่วนของการบวนการผลิตยาง สกินกันน้ำเสียจากการบวนการผลิตนำยางขึ้นที่มีคุณลักษณะน้ำเสียแตกต่างกันแสดงในตารางที่ 3-4 โดยเปรียบเทียบกับการศึกษาของศวาริศ เบนตอนนัต (2551) ที่ทำการศึกษาการพัฒนาระบบ UASB ที่นำบัดน้ำเสียอุตสาหกรรมนำยางขึ้นที่ระบบทากพักทางชลศาสตร์เท่ากับ 7 วัน อัตราการบรรทุกสารอินทรีย์ (organic loading rate, OLR) เท่ากับ  $0.79$  kg COD/m<sup>3</sup> ปรับพื้อเชื้อเป็น 7 ด้วยถ้าไม่ยางพารา มีประสิทธิภาพการกำจัด COD เฉลี่ยร้อยละ  $86.10\pm3.42$  กับการศึกษาของกัญญาเรตต์ สมยุทธ์พงศ์ทิรฆ (2550) สามารถการทำงานของ ABR ในการนำบัดน้ำเสียอุตสาหกรรมนำยางขึ้น อัตราการบรรทุกสารอินทรีย์เท่ากับ  $0.60$  kg COD/m<sup>3</sup> ปรับพื้อเชื้อเป็น 7.6 ด้วยถ้าไม่ยางพารา

ระยะกักพักทางชลศาสตร์รวม 10 วัน โดยระบบ ABR จะประกอบด้วย 4 หน่วยย่อย (compartment) แต่จะนำมาเปรียบเทียบกับระบบ UASB 1 และ UASB 2 เพียง 3 หน่วยย่อยแรกเท่านั้น ซึ่งจะได้ระยะกักพักทางชลศาสตร์ของระบบเท่ากับ 7.5 วัน มีประสิทธิภาพการกำจัด COD เฉลี่ยร้อยละ  $79.34 \pm 1.66$  และดังตารางที่ 3-5

ตารางที่ 3-4 เปรียบเทียบลักษณะน้ำเสียที่ป้อนเข้าระบบ UASB 1, UASB 2 และ ABR

Parameter	UASB 1 <sup>a</sup>	ABR <sup>b</sup>	UASB 2	UASB 3	ASBR
Wastewater	Combine	Combine	Skim	Skim	Skim
pH	7.20±0.04	7.61±0.02	7.04±0.05	7.97±0.06	7.97±0.06
VFA (mg/L as CH <sub>3</sub> COOH)	695±41	1,022±66.0	2,176±185	2,605±88	2,605±88
Alkalinity (mg/L as CaCO <sub>3</sub> )	2,752±317	2,279±287	2,471±209	3,530±26	3,530±26
COD (mg/L)	5,720±916	6,259±580	18,552±458	20,009±777	20,009±777
Sulfate (mg/L)	2,012±80	2,330±102	4,964±376	4,871±130	4,871±130
COD/SO <sub>4</sub> <sup>2-</sup> Ratio	2.85±0.51	2.70±0.35	3.76±0.30	4.11±0.23	4.11±0.23
OLR (kg COD/m <sup>3</sup> .d)	0.79	0.60	2.66	2.87	2.87
HRT (days)	7	7.5	7	7	7

หมายเหตุ: <sup>a</sup> ยศวรรค์ เขตอันดับ (2551)

<sup>b</sup> กัญญาภรณ์ สกุยภูพศรีธรรม (2550)

ตารางที่ 3-5 เปรียบเทียบลักษณะน้ำทิ้งและประสิทธิภาพของระบบ UASB 1, UASB 2 และ ABR

Parameter	UASB 1	ABR	UASB 2	UASB 3	ASBR
pH	8.15±0.05	7.70±0.02	5.13±0.11	7.25±0.19	7.28±0.20
VFA (mg/L as CH <sub>3</sub> COOH)	74±26	92.5±45.7	6,049±568	5,885±493	6,370±614
Alkalinity (mg/L as CaCO <sub>3</sub> )	4,370±330	3,509±2,257	3,717±209	7,683±1,151	8,963±674
VFA/ALK ratio	0.02±0.01	0.02±0.01	1.64±0.20	0.78±0.17	0.72±0.12
COD (mg/L)	800±279	1,286±19	14,732±584	13,719±739	14,718±454
Sulfate (mg/L)	493±19	119±11	4,232±173	3,635±290	2,521±228
COD Removal (%)	86.10±3.42	79.34±1.66	25.09±8.45	33.09±0.99	24.44±1.29
Sulfate Removal (%)	75.45±0.68	94.89±0.41	22.55±5.19	27.37±2.55	46.58±1.98
Dissolved H <sub>2</sub> S* (mg/L)	26±3	96±1	247±105	341±229	592±396

หมายเหตุ: <sup>a</sup> ยศวรรค์ เขตอันดับ (2551)

<sup>b</sup> กัญญาภรณ์ สกุยภูพศรีธรรม (2550)

\* ได้จากการคำนวณจากสมการ (8) และดังในภาคผนวก ข

### 3.4.1 VFA (volatile fatty acid) สภาพค่า (alkalinity) และพีอีอช

เมื่อทำการพิจารณาการทำงานของระบบบำบัด UASB 1, UASB 2, UASB 3, ASBR และ ABR พบว่า ระบบ UASB 1 และ ABR มีพีอีอชของน้ำทึ้งจากระบบที่เพิ่มขึ้น ในขณะที่ระบบ UASB 2, UASB 3 และ ASBR มีพีอีอชในน้ำทึ้งลดลง ทั้งนี้เป็นผลมาจากการความเข้มข้นของ VFA และ สภาพค่าของระบบ ระบบ UASB 1 และ ABR นั้นมีปริมาณ VFA ในน้ำทึ้งลดลง แสดงให้เห็นถึง จุลินทรีย์ภายในระบบมีการใช้ไปของ VFA อีกทั้งระบบยังมีสภาพค่าที่เพียงพอต่อการเพิ่มขึ้นของ VFA ในระบบ จึงทำให้พีอีอชของระบบไม่ลดลง แต่ในขณะที่ระบบ UASB 2, UASB 3 และ ASBR จุลินทรีย์ผลิตกรดในระบบสร้าง VFA แต่มีการใช้ไปของVFA ในระบบน้อยมากเมื่อเปรียบเทียบ กับการผลิตขึ้นของ VFA ทำให้เกิดการสะสมในระบบ ถึงแม้ระบบจะมีสภาพค่าที่เพิ่มขึ้นแต่ ออฟชิพลงของปริมาณ VFA มีมากกว่าจึงทำให้ระบบมีพีอีอชลดลง ซึ่งความสามารถในการต้านทาน การลดลงของพีอีอชเมื่อระบบมีปริมาณ VFA เพิ่มขึ้นสามารถประเมินได้จากค่า VFA/ALK ratio โดยระบบจะมีความสามารถในการรองรับการเปลี่ยนแปลงของพีอีอชาการเพิ่มขึ้นของ VFA ใน ระบบ ได้ดีเมื่อมี VFA/ALK ratio อยู่ในช่วง 0.3-0.4 แต่จะ ไม่มีความสามารถเสี่ยงต่อการลดลงของพีอีอชเมื่อ VFA/ALK ratio อยู่ในช่วง 0.1-0.25 โดยระบบ UASB 2, UASB 3 และ ASBR นั้นมี VFA/ALK ratio เท่ากับ  $1.64 \pm 0.20$ ,  $0.78 \pm 0.17$  และ  $0.72 \pm 0.12$  ตามลำดับ ในขณะที่ระบบ UASB 1 และ ABR มี VFA/ALK ratio น้อยกว่า 0.1 (ตารางที่ 3-5) ซึ่ง VFA/ALK ratio มากกว่า 0.8 แสดงว่าระบบมี กำลังบักฟเฟอร์ต่ำมาก (Zhao and Viraraghavan, 2004) ทำให้พีอีอชของระบบลดลงอย่างรวดเร็วเมื่อ มีการเพิ่มขึ้นของ VFA เพียงเล็กน้อย

### 3.4.2 ชัลไฟต์ (sulfate: $\text{SO}_4^{2-}$ )

การเปรียบเทียบประสิทธิภาพการกำจัดชัลไฟต์ของระบบ UASB 1, UASB 2, UASB 3, ASBR และ ABR แสดงดังตารางที่ 3-5 พบว่าประสิทธิภาพการกำจัดชัลไฟต์สูงที่สุด คือ ระบบ ABR มีค่าร้อยละ  $94.89 \pm 0.41$  โดยที่ความเข้มข้นของชัลไฟต์ที่เข้าระบบมีค่าเป็น  $2,330 \pm 102$  mg/L ขณะที่ระบบ UASB 2 รับน้ำเสียที่มีความเข้มข้นชัลไฟต์เท่ากับ  $4,964 \pm 376$  mg/L มีประสิทธิภาพ การกำจัดชัลไฟต์ต่ำที่สุดเท่ากับร้อยละ  $14.43 \pm 5.87$  และระบบ UASB 3 และ ASBR รับน้ำเสียที่มี ความเข้มข้นชัลไฟต์เท่ากับ  $4,871 \pm 130$  mg/L มีประสิทธิภาพการกำจัดชัลไฟต์เท่ากับร้อยละ  $27.37 \pm 2.55$  และ  $46.58 \pm 1.98$  ตามลำดับ ดังนั้นจะเห็นได้ว่าความเข้มข้นของชัลไฟต์ที่เข้าระบบที่ เพิ่มขึ้นส่งผลให้ประสิทธิภาพของระบบลดลง ซึ่งสอดคล้องกับการศึกษาของ Al-Zuhair *et al.* (2008) ที่กล่าวว่า เมื่อความเข้มข้นเริ่มต้นของชัลไฟต์มากกว่า 4,000 mg/L ทำให้อัตราการ เจริญเติบโตของ SRB ลดลง และอัตราการเจริญเติบโตของ SRB จะมีค่ามากที่สุด เมื่อความเข้มข้น เริ่มต้นของชัลไฟต์เท่ากับ 2,500 mg/L นอกจากนี้ค่าพีอีอชของระบบยังมีผลต่อชัลไฟต์ในระบบด้วย

เช่นกัน เนื่องจากชัลไฟด์จะเปลี่ยนรูปไปตามพีอช ซึ่งระบบ UASB 1, 2, 3, ASBR และ ABR มีพีอชของระบบเท่ากับ  $8.15 \pm 0.05$ ,  $5.13 \pm 0.11$ ,  $7.25 \pm 0.19$ ,  $7.28 \pm 0.20$  และ  $7.70 \pm 0.02$  ตามลำดับ (ตารางที่ 3-5) ดังนั้นแบบที่เรียในระบบ UASB 2 จึงถูกยับยั้งด้วยค่าพีอชที่ต่ำและไฮโดรเจนชัลไฟด์ที่เกิดขึ้น ซึ่งจุลินทรีย์ในระบบจะถูกยับยั้งการทำงานเมื่อมีความเข้มข้นของไฮโดรเจนชัลไฟด์ในระบบมากกว่า 200 mg/L (Bitton, 2005) โดยความเข้มข้นของไฮโดรเจนชัลไฟด์ของระบบทั้ง 3 แสดงในตารางที่ 3-5

นอกจากปัจจัยต่างๆ ดังที่กล่าวมาแล้วข้างต้น อีกปัจจัยที่มีความสำคัญ และมีผลต่อประสิทธิภาพการกำจัดชัลเฟดของระบบ คือ COD/SO<sub>4</sub><sup>2-</sup> ratio เมื่อจากในระบบนำบัดน้ำเสียนั้นต้องอาศัยการทำงานร่วมกันของจุลินทรีย์สร้างกรด MPB และ SRB ซึ่งค่าต่ำสุดของ COD/SO<sub>4</sub><sup>2-</sup> ratio ที่สามารถเกิดกระบวนการการชัลเฟดได้คือ 0.67 (Lens *et al.*, 1998) ดังนั้นการเกิดปฏิกิริยาชัลเฟตรีดักชัน เพื่อรีวิชชัลเฟต 1 g จะต้องใช้ COD อย่างน้อย 0.67 g แต่จากการศึกษาของ Vossoughi *et al.* (2002) ทำการนำบัดน้ำเสียสังเคราะห์ที่มีความเข้มข้น COD เริ่มต้นเท่ากับ 3,000 mg/L โดยใช้ระบบ ABR และเพิ่มความเข้มข้นของชัลเฟต จาก 180-500 mg/L มี COD/SO<sub>4</sub><sup>2-</sup> ratio อยู่ระหว่าง 16.7-6 พบร้า เมื่อ COD/SO<sub>4</sub><sup>2-</sup> ratio ลดลงไม่มีผลยับยั้งการทำงานของ SRB ดังนั้นความเข้มข้นเริ่มต้นของชัลเฟดและปริมาณไฮโดรเจนชัลไฟด์ในระบบ จึงเป็นปัจจัยที่มีอิทธิพลต่อการยับยั้งการทำงานของ SRB มากกว่า COD/SO<sub>4</sub><sup>2-</sup> ratio

### 3.4.3 COD (chemical oxygen demand)

เมื่อทำการเปรียบเทียบประสิทธิภาพการกำจัด COD ของระบบนำบัดน้ำเสียทั้ง UASB 1, UASB 2 และ ABR พบร้าว่าประสิทธิภาพการกำจัด COD จะลดลงเมื่ออัตราการบรรเทาสารอินทรีย์ของระบบเพิ่มขึ้น โดยระบบ UASB 2 มีประสิทธิภาพต่ำที่สุดมีค่าร้อยละ  $20.56 \pm 3.04$  นอกจากความเข้มข้นของ COD ที่สูงถึง  $18,552 \pm 458$  mg/L แล้ว อาจจะเป็นผลมาจากการปริมาณ VFA ที่สะสมอยู่ในระบบ ส่งผลให้พีอชของระบบลดลงเหลือ  $5.13 \pm 0.11$  ซึ่งไม่เหมาะสมต่อการทำงานของ MPB ในระบบ โดยพีอชที่เหมาะสมต่อการทำงานของ MPB อยู่ในช่วง 7.8-8.2 (Khanal, 2008) เมื่อพิจารณาระบบ UASB 3 และระบบ ASBR พบร้ามีประสิทธิภาพการกำจัด COD เท่ากับร้อยละ  $33.09 \pm 0.99$  และ  $24.44 \pm 1.29$  ตามลำดับ ที่อัตราการบรรเทาสารอินทรีย์เท่ากับ  $2.87 \text{ kg COD/m}^3 \cdot \text{d}$  ทั้งนี้อาจเป็นผลจาก MPB ถูกยับยั้งการทำงานจากไฮโดรเจนชัลไฟด์ที่เกิดจากการรีวิชชัลเฟต เมื่อในระบบมีความเข้มข้นของไฮโดรเจนชัลไฟด์มากกว่า 200 mg/L (Bitton, 2005) โดยในระบบ UASB 2, UASB 3 และ ASBR มีค่าความเข้มข้นของไฮโดรเจนชัลไฟด์เท่ากับ  $247 \pm 105$  mg/L,  $341 \pm 229$  mg/L และ  $592 \pm 396$  mg/L ตามลำดับ (ตารางที่ 3-4) ซึ่งมีความเป็นพิษต่อ MPB ที่มีความอ่อนไหวต่อปริมาณไฮโดรเจนชัลไฟด์ในระบบมากกว่าจุลินทรีย์ผลิตกรด และ SRB

## บทที่ 4

### บทสรุปและข้อเสนอแนะ

#### 4.1 บทสรุป

ในการศึกษาผลของพื้นที่อิฐต่อการกำจัดชัลเฟตในน้ำเสียสกินด้วยระบบแบบไร์อากาค เป็นการทดลองในห้องปฏิบัติการ แบ่งการทดลองเป็น 2 การทดลอง โดยการทดลองที่ 1 ศึกษาผลของพื้นที่อิฐต่อการกำจัดชัลเฟตในน้ำเสียสกินที่ปรับพื้นที่อิฐเด้าไม่ขยุงพาราด้วยระบบบำบัดไร์อากาค แบบง่ายๆ ต่อเนื่อง และการทดลองที่ 2 เปรียบเทียบประสิทธิภาพการทำงานของระบบ UASB และระบบ ASBR ได้ผลการทดลองสามารถสรุปได้ดังนี้

ผลการปรับพื้นที่อิฐตัวอย่างนำเสียด้วยเด้าไม่ขยุงพาราที่ระดับต่าง ๆ (2.43, 4, 5, 6 และ 7) พบว่าระบบมีประสิทธิภาพการกำจัดชัลเฟตสูงสุดที่พื้นที่อิฐเท่ากับ 7 อย่างมีนัยสำคัญทางสถิติที่  $p<0.05$  เมื่อทำการป้อนนำเสียสกินปรับพื้นที่อิฐเป็น 7 เข้าระบบ UASB และ ASBR พบว่าระบบไม่สามารถรักษาเสถียรภาพการทำงานของระบบได้ เนื่องจากระบบมี VFA/ALK ratio มากกว่า 0.8 เมื่อปรับพื้นที่อิฐนำเสียสกินเป็น 8 ระบบทั้งสองสามารถทำงานได้ ประมาณ VFA ในระบบ UASB และ ASBR มีค่ามากกว่าในนำเสียเข้าระบบตลอดการทดลอง แต่เมื่อเปรียบเทียบโดยระบบ ASBR มีสภาพด่างในระบบสูงกว่าระบบ UASB ซึ่งเกิดจากชัลเฟตติดตัวกัน เนื่องจากระบบ ASBR มีประสิทธิภาพการกำจัดชัลเฟตสูงกว่าระบบ UASB เพราะลักษณะการทำงานของระบบ ทำให้ระบบ ASBR มีการสูญเสียของ SRB น้อยกว่าระบบ UASB

#### 4.2 ข้อเสนอแนะในการทำการวิจัยเพิ่มเติม

1) ควรมีการศึกษาอัตราสูบน้ำเสียข้อนกลับต่อกระบวนการกำจัดชัลเฟตของนำเสียสกิน เนื่องจากนำเสียสกินมีความเข้มข้นของชัลเฟตสูง หากมีการสูบน้ำเสียข้อนกลับจะเป็นการลดการบรรเทาของชัลเฟตที่เข้าระบบ โดยระบบไร์อากาคที่จะใช้ศึกษานั้นควรเป็นระบบที่มีความสามารถในการรักษาตะกอนได้ดี เช่นระบบ ABR เป็นต้น เนื่องจากการสูบน้ำเสียข้อนกลับนั้นจะเป็นการเพิ่มการบรรเทาของชัลเฟต หากระบบไม่สามารถรักษาตะกอนจุลินทรีย์ไว้ได้ก็จะมีผลต่อประสิทธิภาพการกำจัดชัลเฟต

2) ศึกษาความเร็วไอลชีนของระบบ UASB เนื่องจากการที่ SRB ไม่รวมตัวเป็นเม็ดเหมือน MPB ดังนั้นความเร็วไอลชีนของระบบ UASB สูงเกินไปอาจมีผลต่อการถูกชะออกจากระบบของ SRB ซึ่งส่งผลโดยตรงต่อประสิทธิภาพการกำจัดชัลเฟตของระบบ แต่ถ้าความเร็วไอลชีนมีค่าน้อยเกินไปอาจทำให้น้ำเสียที่เข้าระบบสัมผัสกับจุลินทรีย์ไม่ทั่วทั้งระบบได้ โดยปัจจัยที่มีผลต่อความเร็วไอลชีน เมื่อระบบมีขนาดเท่ากันและทำการเดินระบบที่ระยะกักพักทางชลศาสตร์เท่ากันคือความสูง และขนาดเส้นผ่านศูนย์กลางของระบบ

3) ศึกษาประสิทธิภาพการทำงานแบบลูกผสม ASBR และ UASB ในการผลิตก๊าซชีวภาพจากน้ำเสียสกิน เนื่องจากจากการทดลองพบว่าระบบ ASBR สามารถกำจัดชัลเฟต ได้ดีกว่าระบบ UASB ไขขยะที่ระบบ UASB สามารถผลิตก๊าซชีวภาพที่มีองค์ประกอบมีเทนสูงถึงร้อยละ 60 ดังนั้นควรจะให้ระบบ ASBR รับน้ำเสียสกินจากน้ำจึงนำบัดต่อด้วยระบบ UASB เพื่อเป็นการเพิ่มประสิทธิภาพการกำจัดชัลเฟต และการผลิตก๊าซชีวภาพของระบบ UASB จากน้ำเสียสกิน

## บรรณานุกรม

กรมโรงงานอุตสาหกรรม. 2545. ตำราระบบบำบัดมลพิษน้ำ. กรุงเทพฯ: สมาคมสิ่งแวดล้อมแห่งประเทศไทย.

กรมควบคุมมลพิษ. 2545. การจัดทำแนวทางการออกแบบวิศวกรรมเพื่อการปรับปรุงระบบบำบัดน้ำเสียอุตสาหกรรมให้มีประสิทธิภาพ และประหยัดพลังงานโดยระบบไม่ใช้ออกซิเจน: ข้อแนะนำแนวทางการออกแบบ เล่ม 1 อุตสาหกรรมฟอกย้อม. กรุงเทพฯ: กระทรวงวิทยาศาสตร์เทคโนโลยี และสิ่งแวดล้อม.

กรมควบคุมมลพิษ. 2546. คู่มือวิชาการระบบบำบัดน้ำเสียแบบไม่ใช้อากาศ เล่มที่ 1 กรุงเทพฯ: กระทรวงทรัพยากรธรรมชาติ และสิ่งแวดล้อม.

กรมควบคุมมลพิษ. 2546. คู่มือวิชาการระบบบำบัดน้ำเสียแบบไม่ใช้อากาศ เล่มที่ 2 กรุงเทพฯ: กระทรวงทรัพยากรธรรมชาติ และสิ่งแวดล้อม.

กรมควบคุมมลพิษ. 2548. แนวปฏิบัติที่ดีด้านการป้องกัน และลดมลพิษ: อุตสาหกรรมน้ำยาขึ้น. กรุงเทพฯ: กระทรวงทรัพยากรธรรมชาติ และสิ่งแวดล้อม.

กัญญารัตน์ สุญญ์พงศ์ทิรฆ 2550. “ผลการปรับพื้นเชื้อด้วยถ่านไม้ย่างพาราและอัตราส่วนการสูบกลับน้ำทึบต่อมรรคภาพการทำงานของถังปฏิกรณ์ไร้อากาศแบบแผ่นก้นในการบำบัดน้ำเสียโรงงานน้ำยาขึ้น”. วิทยานิพนธ์วิทยาศาสตร์มหาบัณฑิต สาขาวิชาจัดการสิ่งแวดล้อม มหาวิทยาลัยสงขลานครินทร์.

เกรียงศักดิ์ อุดมสิน โภจน์. 2543. วิศวกรรมกำจัดน้ำเสีย. กรุงเทพฯ: สาขาวิชาวิศวกรรมสิ่งแวดล้อม มหาวิทยาลัยรังสิต.

ดวงพร คันธ์โชค. 2545. นิเวศวิทยาของจุลินทรีย์. กรุงเทพฯ: สำนักพิมพ์โอลเดียนสโตร์.

ธีระ เกรอต. 2539. วิศวกรรมน้ำเสียและการบำบัดทางชีวภาพ. กรุงเทพฯ: สำนักพิมพ์จุฬาลงกรณ์มหาวิทยาลัย.

พัชรากรณ์ จ่าแก้ว. 2546. “การบำบัดน้ำเสียโรงงานน้ำยาขึ้นด้วยระบบตะกอนเร่ง”, วิทยานิพนธ์ วิศวกรรมศาสตร์มหาบัณฑิต สาขาวิชาวิศวกรรมเคมี มหาวิทยาลัยสงขลานครินทร์.

พัฒนวรรณ วิทยกุล. 2544. “การบำบัดชัลเพต และไชโตรเจนชัลไฟฟ์ในน้ำเสียจากโรงงานน้ำยาขึ้นด้วยระบบไร้อากาศ และระบบกรองชีวภาพ”, วิทยานิพนธ์วิทยาศาสตร์มหาบัณฑิต สาขาวิชาจัดการสิ่งแวดล้อม มหาวิทยาลัยสงขลานครินทร์.

มั่นสิน ตันทูลเวศม์, มั่นรักษ์ ตันทูลเวศม์. 2545. เคมีวิทยาของน้ำ และน้ำเสีย. กรุงเทพฯ: สำนักพิมพ์ จุฬาลงกรณ์มหาวิทยาลัย.

- มั่นสิน ตัณฑุลเวศม์. 2546. คู่มือวิชาการระบบนำบัดน้ำเสียแบบใหม่ใช้อาศา เล่ม 1. กรุงเทพฯ:  
ศูนย์บริการวิชาการแห่งจุฬาลงกรณ์มหาวิทยาลัย.
- ยศวิรศ เบตตอนันต์. 2551. “การพัฒนาวิธีการนำบัดน้ำเสียโรงงานน้ำยาขึ้นโดยระบบญูเออสบี และระบบไบโอดิล์มที่ควบคุมพารามิเตอร์โออาร์พี”, วิทยานิพนธ์วิทยาศาสตร์บัณฑิต สาขาวิชาจัดการสิ่งแวดล้อม มหาวิทยาลัยสงขลานครินทร์.
- วรพันธ์ ราชวัตร และศักดา สารีรัตน์. 2545. “การใช้ระบบนำบัดน้ำเสียเพื่อบำบัดน้ำเสียจากการจับทางน้ำยาด้วยกรดซัลฟิวริก”, รายงานคณวิศวกรรมศาสตร์ ภาควิชาวิศวกรรมโยธา มหาวิทยาลัยสงขลานครินทร์.
- วรรณ์ ใจชัยกุล. 2531. **น้ำยา (LATEX)**. กลุ่มอุดสาหกรรมผลิตภัณฑ์จากยาง. ศูนย์วิจัยยาง สงขลา. กรมวิชาการเกษตร.
- วันชัย แก้วยอด. 2540. “การตรวจสอบการจัดการนำบัดน้ำเสียโรงงานยาง: กรณีศึกษาในจังหวัดสงขลา”, วิทยานิพนธ์วิทยาศาสตร์บัณฑิต สาขาวิชาจัดการสิ่งแวดล้อม มหาวิทยาลัยสงขลานครินทร์.
- วีรชาติ อินทร์ทอง. 2551. “การนำบัดซัลเฟตในนำบัดน้ำเสียโรงงานน้ำยาขึ้นโดยใช้ถ้าล้อยจากเตาเผา ของจังหวัดภูเก็ต”, วิทยานิพนธ์วิทยาศาสตร์บัณฑิต สาขาวิชาจัดการสิ่งแวดล้อม มหาวิทยาลัยสงขลานครินทร์.
- ศันสนีย์ วงศ์ชนะ. 2553. “ประสิทธิภาพการนำบัดน้ำเสียด้วยระบบญูเออสบีจากการจับตัวเนื้อยางในทางน้ำยาด้วยพอลิเมอร์ A 702”, วิทยานิพนธ์วิทยาศาสตร์บัณฑิต สาขาวิชาจัดการสิ่งแวดล้อมมหาวิทยาลัยสงขลานครินทร์.
- สถาบันวิจัยยาง. 2552. **ปริมาณ ปริมาณการส่งออกยางธรรมชาติแยกตามประเภท**. สถาบันวิจัยยาง.  
<http://www.thainr.com/th/detail-stat.php?statID=97> (สืบค้นเมื่อ 30 กันยายน 2552)
- สถาบันวิจัยยาง. 2552. **ผลผลิตยางธรรมชาติแยกตามประเภทของประเทศไทย**. สถาบันวิจัยยาง.  
<http://www.thainr.com/th/detail-stat.php?statID=15> (สืบค้นเมื่อ 30 กันยายน 2552)
- สมพิพิช ดำเนินธิวนิชย์, อุดมพล พีชนีพนมูลย์, เจิดจรรย์ ศิริวงศ์ และพนาลี ชีวกิตาการ. 2541. **นำเสีย: การควบคุม และการนำบัด. มหาวิทยาลัยสงขลานครินทร์.**
- สำนักงานเศรษฐกิจการเกษตร. 2552. **ปริมาณ และมูลค่าการส่งออกยางพาราของไทย ปี 2546-2552.** สำนักงานเศรษฐกิจการเกษตร. <http://www.thainr.com/th/detail-stat.php?statID=47> (สืบค้นเมื่อ 30 กันยายน 2552)

- สำนักงานเศรษฐกิจการเกษตร. 2552. ผลพยากรณ์การผลิต ปี 2552 รายจังหวัด (กันยายน 2552).  
 สำนักงานเศรษฐกิจการเกษตร. [http://www2.oae.go.th/mis/Forecast/03\\_SEP2552/Thai/table/tbl\\_t\\_16.htm](http://www2.oae.go.th/mis/Forecast/03_SEP2552/Thai/table/tbl_t_16.htm) (ลีบคืนเมื่อ 15 กุลาคม 2552)
- สุบัณฑิต นิ่มรัตน์. 2548. จุลชีววิทยาของน้ำเสีย. กรุงเทพฯ: สำนักพิมพ์จุฬาลงกรณ์มหาวิทยาลัย  
 สันทัด ศิริอนันต์ไพบูลย์. 2549. ระบบบำบัดน้ำเสีย: การเลือกใช้ การออกแบบ การควบคุม และ  
 การแก้ปัญหา. กรุงเทพฯ: ห้อง
- APHA, AWWA and WEF. 2005. **Standard Methods for Examination of Water and Wastewater, 21<sup>st</sup> Edition.** Maryland: American Public Health Association.
- Bitton, G. 2005. **Wastewater Microbiology, 3<sup>rd</sup> Edition.** Florida: Wiley-Liss, Inc.
- De Smul, A., Goethals, L. and Verstraete, W. 1999. "Effect of COD to sulphate ratio and temperature in expanded-granular-sludge-blanket reactors for sulphate reduction". **Process Biochemistry.** 34: 407-416
- Elke, G., Werner, H. and Christian, M. "Biological removal from tannery wastewater in a two-stage anaerobic treatment". **Water Research.** (30): 2,072-2,078.
- Field, J. And Sierra, R. 2005a. **Granulation. Anaerobic Granular Sludge Bed Technology Page** <http://www.uasb.org/discover/granules.htm#granulation> (accessed August 15, 2009).
- Field, J. And Sierra, R. 2005b. **Granulation. Anaerobic Granular Sludge Bed Technology Page** <http://www.uasb.org/discover/granules.htm#granules> (accessed August 15, 2009).
- Field, J. And Sierra, R. 2005c. **Anaerobic granular sludge bed reactor technology. Anaerobic Granular Sludge Bed Technology Page** <http://www.uasb.org/discover/agsb.htm#uasb> (accessed August 15, 2009).
- Gray, N.F. 1989. **Biological of wastewater treatment.** New York: Oxford Science Publications.
- Greben, H.A., Maree, J.P., Eioff, E. and Murray, K. 2005. "Improved sulphate removal rate at increase sulphide concentration in the sulphidogenic bioreactor". **Water SA.** 31(3): 351-358.
- Kapdan, I.K. and Oztekin, R. 2006. "The effect of hydraulic residence time and initial COD Concentration on color and COD removal performance of anaerobic-aerobic SRB system". **Journal of Hazardous Materials.** 136(3): 896-901.

- Khanal, S.K. 2008. **Anaerobic Biotechnology for Bioenergy Production: Principles and Applications, 1<sup>st</sup> Edition.** Singapore: John Wiley & Sons, Inc.
- Lens, P.N.L., R. Klijn, Lier, J. B. van and Lettinga, G. 2003. "Effect of specific gas loading rate on thermophilic (55°C) acidifying (pH 6) and Sulfate reducing granular sludge reactors". **Water Research.** 37(5): 1033-1047.
- Lens, P.N.L., Visser, A.N.L., Janssen, A.J.H., Hulshoff Pol, L.W., and Lettinga, G. W. 1998. "Biotechnological Treatment of Sulfate-rich Wastewater". **Critical Review in Environmental Science and Technology.** 28(1): 41-88
- Lopes, S.I.C., Sulistyawati, I., Capela, M.I., and Lens, L.P.N. 2007. "Low pH (6, 5 and 4) sulfate reduction during the acidification of sucrose under thermophilic (55°C) condition". **Process Biochemistry.** 42(4): 580-591
- Lopes, S.I.C., Wang, X., Capela, M.I. and Lens, L.P.N. 2007. "Effect of COD/SO<sub>4</sub><sup>2-</sup> ratio and sulafide on thermophilic (55°C) sulfate reduction during the acidification of sucrose at pH6". **Water Research.** 41(11): 2379-2392
- Mahmoud, N., Zeeman, G., Gijzen, H. and Lettinga, G. 2004. "Anaerobic sewage treatment in a one-stage UASB reactor and a combined UASB-Digester system". **Water Research.** 38(9): 2348-2358
- Maillacheruvu, K.Y. and Parkin, G.F. 1996. Kinetics of growth, substrate utilization and sulfide toxicity for propionate, acetate, and hydrogen utilizers in anaerobic systems. **Water Environment Federation.** 68 (7): 1,099-1,106
- Mara, Duncan and Horan, N.J. 2003. **Handbook of Water and Wastewater Microbiology.** United Kingdom: Elsevier.
- Metcalf and Eddy. 2004. **Wastewater engineering treatment and reuse.** New York: McGraw-Hill, Inc.
- McCartney, D.M. and Oleszkiewicz, J.A. 1993. Competition between methanogens and sulfate reducers: Effect of COD: Sulfate ratio and acclimation. **Water Environment Federation.** 65 (5): 655-664
- Moosa, S., Nemati, M. and Harrison, S.T.L. 2002. "A kinetic study on anaerobic reduction of sulfate, Part I: Effect of sulfate concentration". **Chemical Engineering Science.** 57 (14): 2773-2788

- O'Flaherty, V., Mahony, T., O'Kennedy, R., and Colleran, E. 1998. "Effect of pH on growth kinetics and sulphide toxicity thresholds of a range of methanogenic, syntrophic and sulphate-reduction bacteria". **Biochemistry**. 33(5): 555-569
- O'Flaherty, V., Lens, P., Leahy, B. and Colleran, E. 1998. "Long-Term competition between sulphate-reducing and methane-producing bacteria during full-scale anaerobic treatment of citric acid production wastewater". **Water Research**. 32(3): 815-825
- Omil, F., Lens, P., Hulshoff Pol, L. and Lettinga, G. 1996. "Effect of upflow velocity and sulphide concentration on volatile fatty acid degradation in a sulphidogenic granular sludge reactor". **Process Biochemistry**. 31(7): 699-710
- Percheron, G., Bernet, N. and Moletta, R. 1997. "Start-up of anaerobic digestion sulfate wastewater". **Bioresource Technology**. 61: 21-27
- Rintala, J.A. and Lepistö, S. 1998. "Thermophilic anaerobic treatment of sulphur rich forest industry wastewater". **Biodegradation**. 9: 225-232
- Rittmann, B.E. and McCarty, P.L. 2001. **Environmental Biotechnology**. New York: McGraw-Hill, Inc.
- Rodrigues, J.A.D., Ratusznei, S.M., Moraes de Camargo, E.F. and Zaiat, M. 2003. "Influence of agitation rate on the performance of an anaerobic sequencing batch reactor containing granulated biomass treating low-strength wastewater". **Advances in Environmental Research**. 7(2): 405-410
- Schlumberger. 2009. **X-Y plot of sulfide ion species**. Schlumberger Limited. <http://www.glossary.oilfield.slb.com/DisplayImage.cfm?ID=408> (accessed August 15, 2009).
- Shayegan, J., Ghavipanjeh, F. and Mirjafari, P. 2005. The effect influent COD and upward flow velocity on the behavior of sulphate-reducing bacteria. **Process Biochemistry**. 40: 2,305-2,310
- Speece, R.E. 1996. **Anaerobic Biotechnology for Industrial Wastewaters**. United States of America: Archæe Press.
- Velasco, A., Ramirez, M., Volke-Sequleda, T., Gonzalez-Sanchez, A. and Revah, S. 2007. "Evolution of feed COD/Sulfate ratio as a control criterion for the biological hydrogen sulfide production and lead precipitation". **Journal of Hazardous Materials**. (in press)

- Visser, A., Alphenaar, P.A., Gao, Y., van Rossum, G. and Lettinga, G. 1993. "Granulation and immobilisation of methanogenic and sulfate-reducing bacteria in high-rate anaerobic reactors". **Applied Microbiology and Biotechnology.** 40(4): 575-581
- Vossoughi, M., Shakeri, M. and Alemzadeh, I. 2002. "Performance of anaerobic baffled reactor treating synthetic wastewater influenced by decreasing COD/SO<sub>4</sub><sup>2-</sup> ratio". **Chemical Engineering and Processing.** 42(10): 811-816
- Yamaguchi, T., Harada, H., Hisano, T., Yamazaki, S. and Tseng, I.C. 1999. "Process behavior of UASB reactor treating a wastewater containing high strength sulfate". **Water Research.** 33(14): 3182-3190
- Yan, Y.G., and Tay J.H. 1997. "Characterisation of the granulation process during UASB start-up". **Water Research.** 31(7): 1573-1580
- Zhao, H. W. and Viraraghavan, T. 2004. "Analysis of the performance of an anaerobic digestion system at the Regina wastewater treatment plant". **Bioresource Technology.** 95(3): 301-307

ภาคผนวก

## ภาคผนวก ก

### ผลของการวิเคราะห์ทางเคมีของน้ำเสีย และน้ำทิ้ง

ผลการวิเคราะห์ทางเคมีของน้ำเสียและน้ำทิ้งในการทดลองที่ 1 คือ การทำงานของระบบก่อตัวเนื้องที่รับน้ำเสียสกิมปรับพื้นที่เฉพาะดับต่าง ๆ

ตารางภาคผนวก ก-1 ผลการวิเคราะห์ทางเคมีของน้ำเสีย น้ำทิ้ง และประสิทธิภาพการทำงานของระบบบำบัดแบบกึ่งต่อเนื่องที่รับน้ำเสียสกิมที่ปรับพื้นที่เฉพาะดับต่างๆ ด้วยถ่านไม้มงหาราที่ระดับต่าง ๆ (ใช้สำหรับภาพประกอบ 3-1 ถึง 3-6)

Day		pH	VFA		Alkalinity		COD			Sulfate			S <sup>2-</sup>	H <sub>2</sub> S
		Eff	Inf	Eff	Inf	Eff	Inf	Eff	% Re	Inf	Eff	% Re	Eff	Eff
0	pH 2.43	-	1,245.0	-	#N/A	-	13,718.0	-	-	5,913.7	-	-	-	-
	pH 4	-	1,230.0	-	#N/A	-	12,435.9	-	-	6,331.8	-	-	-	-
	pH 5	-	1,260.0	-	550.0	-	12,435.9	-	-	6,192.5	-	-	-	-
	pH 6	-	1,065.0	-	840.0	-	11,794.9	-	-	5,757.9	-	-	-	-
	pH 7	-	1,230.0	-	1,460.0	-	11,538.5	-	-	6,329.4	-	-	-	-

หมายเหตุ: - คือ ไม่มีการวิเคราะห์ด้วยชุด

\* คือ ที่สกาวะคงตัว

#N/A คือ ไม่สามารถหาค่าได้

Inf คือ น้ำเสียเข้าระบบ (Influent)

Eff คือ น้ำเสียทิ้งจากการระบบทิ้ง (Effluent)

% Re คือ ร้อยละ ของประสิทธิภาพการกำจัดสารของระบบ (Removal)

หน่วยของพารามิเตอร์ต่าง ๆ มีดังนี้

VFA มีหน่วยเป็น mg/L as CH<sub>3</sub>COOH

COD มีหน่วยเป็น mg/L

S<sup>2-</sup> มีหน่วยเป็น mg/L

Alkalinity มีหน่วยเป็น mg/L as CaCO<sub>3</sub>

Sulfate มีหน่วยเป็น mg/L

H<sub>2</sub>S มีหน่วยเป็น mg/L

ตารางภาคผนวก ก-1 (ต่อ)

Day		pH	VFA		Alkalinity		COD			Sulfate			S <sup>2-</sup>	H <sub>2</sub> S
		Eff	Inf	Eff	Inf	Eff	Inf	Eff	% Re	Inf	Eff	% Re	Eff	Eff
5	pH 2.43	4.15	1,245.0	1,335.0	#N/A	56.7	12,669.2	6,998.2	44.8	6,625.2	6,088.1	8.1	-	-
	pH 4	4.64	420.0	2,630.0	#N/A	1,163.3	12,158.4	7,254.2	40.3	6,224.6	4,717.6	24.2	-	-
	pH 5	5.09	390.0	2,985.0	160.0	1,403.3	12,669.2	5,593.9	55.8	6,651.5	4,041.5	39.2	-	-
	pH 6	5.20	420.0	3,160.0	0	1,703.3	13,690.9	6,743.3	50.7	6,865.7	4,110.4	40.1	-	-
	pH 7	6.57	600.0	3,095.0	540.0	3,000.0	13,307.8	6,615.6	50.3	6,128.5	3,607.2	41.1	-	-
10	pH 2.43	3.56	1,725.0	1,150.0	#N/A	#N/A	14,686.7	9,649.1	34.3	6,913.7	4,993.6	27.8	-	-
	pH 4	4.59	1,575.0	4,290.0	#N/A	996.7	12,180.5	6,391.0	47.5	6,883.7	5,106.5	25.8	-	-
	pH 5	4.86	1,500.0	4,300.0	690.0	1,670.0	15,188.0	5,701.8	62.5	7,027.8	4,403.9	37.3	-	-
	pH 6	4.81	1,530.0	4,515.0	1,120.0	1,553.3	13,558.9	6,015.0	55.6	6,455.9	4,832.2	25.2	-	-
	pH 7	5.24	1,350.0	4,215.0	1,360.0	2,600.0	13,558.9	6,766.9	50.1	7,407.5	4,165.7	43.8	-	-
15	pH 2.43	2.97	735.0	1,555.0	#N/A	#N/A	13,513.5	11,209.8	17.0	5,768.7	4,344.2	24.7	-	-
	pH 4	4.51	1,230.0	4,335.0	#N/A	823.3	13,770.9	10,296.0	25.2	6,109.1	4,531.4	25.8	-	-
	pH 5	4.76	1,252.5	4,405.0	535.0	1,580.0	14,157.0	8,893.2	37.2	8,877.8	4,371.1	50.8	-	-
	pH 6	4.83	1,335.0	4,575.0	1,040.0	1,570.0	12,097.8	7,284.4	39.8	5,767.2	3,659.0	36.6	-	-
	pH 7	5.15	577.5	4,635.0	1,835.0	2,403.3	15,186.6	9,922.8	34.7	6,323.2	4,030.5	36.3	-	-
20	pH 2.43	2.86	2,220.0	1,710.0	#N/A	#N/A	15,819.7	12,213.1	22.8	6,527.6	4,837.2	25.9	-	-
	pH 4	4.44	2,235.0	5,465.0	#N/A	1,036.7	14,453.6	8,251.4	42.9	6,101.5	4,202.4	31.1	-	-
	pH 5	4.72	2,107.5	5,100.0	1,015.0	1,630.0	13,360.7	9,139.3	31.6	6,204.8	4,503.8	27.4	-	-
	pH 6	4.84	1,005.0	5,225.0	1,470.0	2,256.7	14,043.7	8,866.1	36.9	6,218.0	4,781.8	23.1	-	-
	pH 7	5.25	1,957.5	4,550.0	2,425.0	3,413.3	12,404.4	9,549.2	23.0	5,467.3	4,186.3	23.4	-	-

ตารางภาคผนวก ก-1 (ต่อ)

Day		pH	VFA		Alkalinity		COD			Sulfate			S <sup>2-</sup>	H <sub>2</sub> S
		Eff	Inf	Eff	Inf	Eff	Inf	Eff	% Re	Inf	Eff	% Re	Eff	Eff
25	pH 2.43	2.71	1,950.0	1,655.0	#N/A	#N/A	14,983.5	11,595.9	22.6	6,966.4	5,840.4	16.2	-	-
	pH 4	4.39	1,845.0	5,525.0	#N/A	940.0	15,032.2	8,249.7	45.1	7,525.0	5,734.0	23.8	-	-
	pH 5	4.71	1,792.5	5,190.0	795.0	1,823.3	14,388.7	7,863.6	45.3	6,920.2	5,648.4	18.4	-	-
	pH 6	4.85	1,897.5	4,805.0	1,345.0	2,303.3	12,973.0	7,670.5	40.9	6,521.2	5,522.4	15.3	-	-
	pH 7	5.30	1,327.5	4,475.0	1,560.0	3,530.0	14,646.1	7,863.6	46.3	7,318.0	4,677.9	36.1	-	-
30	pH 2.43	2.76	2,145.0	1,710.0	#N/A	#N/A	13,257.6	13,775.3	#N/A	6,497.3	5,879.2	9.5	-	-
	pH 4	4.49	2,085.0	6,075.0	150.0	1,113.3	13,888.9	9,608.6	30.8	6,753.5	6,171.9	8.6	-	-
	pH 5	4.78	2,092.5	5,525.0	945.0	1,976.7	14,267.7	10,366.2	27.3	6,630.9	6,042.8	8.9	-	-
	pH 6	4.95	1,342.5	5,080.0	930.0	2,436.7	14,141.4	10,934.3	22.7	6,682.6	6,234.3	6.7	-	-
	pH 7	5.39	1,057.5	4,880.0	1,140.0	4,003.3	14,520.2	10,618.7	26.9	6,829.7	5,296.3	22.5	-	-
35	pH 2.43	2.61	1,875.0	1,680.0	#N/A	#N/A	13,170.1	11,601.4	11.9	5,863.9	5,052.0	13.8	-	-
	pH 4	4.44	1,897.5	5,455.0	#N/A	1,076.7	16,299.3	10,776.6	33.9	7,625.6	6,144.2	19.4	-	-
	pH 5	4.74	1,890.0	5,155.0	760.0	1,893.3	14,666.7	10,707.9	27.0	7,310.3	5,745.2	21.4	-	-
	pH 6	4.88	1,815.0	4,965.0	1,465.0	2,500.0	15,210.9	10,639.2	30.1	7,080.1	5,999.1	15.3	-	-
	pH 7	5.39	1,777.5	4,995.0	2,360.0	4,156.7	13,034.0	11,051.6	15.2	7,374.8	5,255.5	28.7	-	-
40	pH 2.43	2.55	2,002.5	1,200.0	#N/A	#N/A	14,098.8	14,814.8	#N/A	6,578.8	6,265.4	4.8	-	-
	pH 4	4.43	1,972.5	5,555.0	#N/A	950.0	13,234.6	10,493.8	20.7	7,011.8	6,219.3	11.3	-	-
	pH 5	4.70	1,905.0	5,580.0	680.0	1,900.0	12,864.2	11,111.1	13.6	6,622.4	5,890.0	11.1	-	-
	pH 6	4.92	1,860.0	5,680.0	1,245.0	2,670.0	14,469.1	10,370.4	28.3	6,934.0	5,553.6	19.9	-	-
	pH 7	5.54	1,822.5	5,212.5	1,800.0	4,815.0	13,851.9	10,185.2	26.5	7,221.2	4,570.1	36.7	-	-

ตารางภาคผนวก ก-1 (ต่อ)

Day		pH	VFA		Alkalinity		COD			Sulfate			S <sup>2-</sup>	H <sub>2</sub> S
		Eff	Inf	Eff	Inf	Eff	Inf	Eff	% Re	Inf	Eff	% Re	Eff	Eff
45	pH 2.43	2.56	1,957.5	1,850.0	#N/A	#N/A	14,761.0	13,690.3	7.3	6,910.9	6,307.9	8.7	-	-
	pH 4	4.40	1,905.0	5,220.0	#N/A	963.3	15,015.9	11,523.3	23.3	6,927.6	6,005.5	13.3	-	-
	pH 5	4.67	1,980.0	5,020.0	770.0	2,293.3	14,888.5	10,121.1	32.0	7,110.6	5,510.0	22.5	-	-
	pH 6	4.89	1,927.5	5,170.0	1,280.0	2,693.3	14,888.5	9,356.3	37.2	6,878.8	5,174.9	24.8	-	-
	pH 7	5.46	2,025.0	5,460.0	1,985.0	4,486.7	13,613.8	10,184.8	25.2	6,346.4	4,156.1	34.5	-	-
50	pH 2.43	2.56	2,017.5	1,865.0	#N/A	#N/A	17,518.8	13,784.5	21.3	6,810.2	6,075.6	10.8	-	-
	pH 4	4.42	2,107.5	5,245.0	#N/A	1,073.3	15,513.8	11,967.4	22.9	9,088.4	5,775.0	36.5	-	-
	pH 5	4.70	2,077.5	5,395.0	900.0	1,810.0	15,889.7	11,401.5	28.2	8,274.6	5,363.0	35.2	-	-
	pH 6	4.90	1,987.5	5,085.0	1,400.0	2,783.3	16,265.7	11,152.9	31.4	8,448.2	4,879.9	42.2	-	-
	pH 7	5.57	1,822.5	4,860.0	2,075.0	4,665.0	16,140.4	10,025.1	37.9	8,039.8	4,388.6	45.4	-	-
55	pH 2.43*	2.45	1,942.5	1,770.0	#N/A	#N/A	16,577.9	14,505.6	12.5	6,717.5	6,482.9	3.5	-	-
	pH 4	4.37	1,942.5	4,445.0	#N/A	980.0	15,393.7	12,611.0	18.1	6,829.1	7,724.1	#N/A	-	-
	pH 5	4.61	1,897.5	4,930.0	815.0	1,693.3	15,156.9	12,078.2	20.3	7,030.0	6,588.6	6.3	-	-
	pH 6	4.90	1,777.5	5,520.0	1,375.0	2,780.0	14,801.7	12,019.0	18.8	7,051.0	5,856.8	16.9	-	-
	pH 7	5.57	1,822.5	4,690.0	2,160.0	4,476.7	16,341.0	13,262.3	18.8	7,493.8	5,093.0	32.0	-	-
60	pH 2.43*	2.71	2,092.5	1,950.0	#N/A	#N/A	13,530.1	14,563.4	#N/A	6,816.5	6,048.9	11.3	244.9	244.9
	pH 4	4.55	2,287.5	5,495.0	#N/A	1,183.3	14,268.1	12,041.8	15.6	8,575.7	6,422.6	25.1	-	-
	pH 5	4.79	2,175.0	5,760.0	790.0	2,003.3	14,145.1	10,873.3	23.1	7,111.9	5,974.9	16.0	-	-
	pH 6	5.11	2,107.5	5,660.0	1,490.0	3,146.7	15,006.2	11,980.3	20.2	7,405.1	4,797.9	35.2	-	-
	pH 7	5.56	1,950.0	5,625.0	2,235.0	4,903.3	14,883.2	11,426.8	23.2	7,511.5	4,218.0	43.8	-	-

ตารางภาคผนวก ก-1 (ต่อ)

Day		pH	VFA		Alkalinity		COD			Sulfate			S <sup>2-</sup>	H <sub>2</sub> S
		Eff	Inf	Eff	Inf	Eff	Eff	% Re	Inf	Eff	% Re	Eff	Eff	
65	pH 2.43*	2.17	2,100.0	1,975.0	#N/A	#N/A	12,461.5	15,256.4	#N/A	7,886.7	6,205.2	21.3	78.2	78.2
	pH 4	4.42	2,077.5	5,495.0	#N/A	693.3	11,564.1	13,205.1	#N/A	7,739.5	6,325.4	18.3	-	-
	pH 5	4.68	2,047.5	5,630.0	805.0	1,750.0	13,871.8	13,269.2	4.3	8,175.7	6,575.2	19.6	-	-
	pH 6	5.02	2,040.0	5,530.0	1,455.0	3,103.3	14,512.8	13,397.4	7.7	9,324.8	5,507.7	40.9	-	-
	pH 7	5.67	1,815.0	5,095.0	2,170.0	4,756.7	12,718.0	12,948.7	#N/A	8,254.8	4,678.3	43.3	-	-
70	pH 2.43*	2.34	2,107.5	2,155.0	#N/A	#N/A	13,309.3	15,027.0	#N/A	7,741.7	7,118.2	8.1	255.9	255.9
	pH 4	4.65	2,085.0	5,080.0	765.0	1,803.3	14,991.0	11,843.8	21.0	8,216.1	6,857.4	16.5	-	-
	pH 5	4.87	2,077.5	4,520.0	1,275.0	3,156.7	13,309.3	11,723.7	11.9	7,476.9	6,838.3	8.5	-	-
	pH 6	5.17	2,010.0	4,760.0	2,600.0	5,220.0	14,270.3	11,783.8	17.4	7,774.5	5,458.3	29.8	-	-
	pH 7	5.73	2,077.5	4,070.0	4,025.0	7,776.7	15,231.2	12,504.5	17.9	8,122.2	4,951.5	39.0	-	-
75	pH 2.43*	1.87	2,092.5	2,235.0	#N/A	#N/A	13,405.0	13,406.6	#N/A	7,711.9	7,722.3	#N/A	-	-
	pH 4	4.49	2,332.5	4,920.0	#N/A	960.0	11,732.4	9,820.8	16.3	8,357.3	7,674.6	8.2	-	-
	pH 5	4.77	2,122.5	4,775.0	655.0	1,906.7	12,927.1	11,135.0	13.9	8,733.5	7,422.9	15.0	-	-
	pH 6	5.13	2,047.5	5,445.0	1,270.0	3,356.7	11,851.9	9,701.3	18.1	7,582.1	5,389.6	28.9	-	-
	pH 7	5.55	1,815.0	5,190.0	1,730.0	4,506.7	12,329.8	11,015.5	10.7	,910.1	5,230.9	33.9	-	-
80	pH 2.43*	1.98	2,242.5	2,230.0	#N/A	#N/A	15,303.0	15,126.3	1.2	7,490.8	7,290.2	2.7	207.8	207.8
	pH 4	4.50	2,242.5	5,190.0	#N/A	963.3	15,808.1	12,096.0	23.5	8,602.8	7,373.4	14.3	-	-
	pH 5	4.82	2,227.5	5,152.5	650.0	2,000.0	15,681.8	12,601.0	19.6	8,188.5	6,483.5	20.8	-	-
	pH 6	5.22	2,040.0	5,750.0	1,695.0	3,550.0	14,798.0	11,717.2	20.8	8,045.0	5,733.9	28.7	-	-
	pH 7	5.60	1,912.5	5,815.0	2,070.0	4,486.7	14,166.7	11,843.4	16.4	7,633.9	4,946.5	35.2	-	-

ตารางภาคผนวก ก-1 (ต่อ)

Day		pH	VFA		Alkalinity		COD			Sulfate			S <sup>2-</sup>	H <sub>2</sub> S
		Eff	Inf	Eff	Inf	Eff	Inf	Eff	% Re	Inf	Eff	% Re	Eff	Eff
80	pH 4	4.50	2,242.5	5,190.0	#N/A	963.3	15,808.1	12,096.0	23.5	8,602.8	7,373.4	14.3	-	-
	pH 5	4.82	2,227.5	5,152.5	650.0	2,000.0	15,681.8	12,601.0	19.6	8,188.5	6,483.5	20.8	-	-
	pH 6	5.22	2,040.0	5,750.0	1,695.0	3,550.0	14,798.0	11,717.2	20.8	8,045.0	5,733.9	28.7	-	-
	pH 7	5.60	1,912.5	5,815.0	2,070.0	4,486.7	14,166.7	11,843.4	16.4	7,633.9	4,946.5	35.2	-	-
85	pH 2.43*	1.81	2,580.0	2,650.0	#N/A	#N/A	16,144.4	15,731.8	2.6	7,913.0	7,891.4	0.3	66.9	66.9
	pH 4	4.41	2,925.0	6,310.0	#N/A	856.7	14,579.0	14,442.3	0.9	8,815.3	8,142.0	7.6	-	-
	pH 5	4.74	3,150.0	5,910.0	780.0	1,923.3	14,983.9	12,766.0	14.8	8,681.0	7,387.0	14.9	-	-
	pH 6	5.16	2,970.0	6,290.0	1,355.0	3,460.0	15,757.6	13,281.8	15.7	8,178.7	6,066.2	25.8	-	-
	pH 7	5.56	2,655.0	6,070.0	1,880.0	4,506.7	15,757.6	12,121.2	23.1	8,054.2	5,159.3	35.9	-	-
90	pH 2.43	-	1,770.0	-	#N/A	-	12,865.3	-	-	7,065.3	-	-	-	-
	pH 4	4.17	2,145.0	5,240.0	#N/A	340.0	13,687.5	13,561.0	0.9	8,737.8	8,463.4	3.1	-	-
	pH 5	4.54	2,265.0	5,490.0	660.0	1,336.7	12,169.5	11,790.0	3.1	8,870.3	6,511.4	26.6	-	-
	pH 6	4.96	2,625.0	5,390.0	1,220.0	2,763.3	11,157.5	11,916.5	#N/A	7,735.1	5,448.7	29.6	-	-
	pH 7	5.40	1,785.0	4,580.0	2,185.0	3,776.7	11,410.5	12,675.5	#N/A	7,499.6	5,235.7	30.2	-	-
95	pH 2.43	-	2,430.0	-	#N/A	-	14,231.2	-	-	7,569.7	-	-	-	-
	pH 4	4.44	2,520.0	6,210.0	#N/A	880.0	13,573.6	11,439.1	15.7	9,467.9	8,350.5	11.8	-	-
	pH 5	4.86	2,580.0	6,150.0	755.0	2,250.0	12,612.6	13,530.1	#N/A	8,726.2	6,745.7	22.7	-	-
	pH 6	5.25	2,310.0	6,330.0	1,270.0	3,853.3	12,852.9	12,669.1	1.4	7,221.6	5,856.9	18.9	-	-
	pH 7	5.82	2,055.0	5,740.0	1,770.0	4,840.0	12,372.4	13,407.1	#N/A	7,448.6	5,491.1	26.3	-	-
100	pH 2.43	-	2,250.0	-	#N/A	-	15,501.9	-	-	7,664.8	-	-	-	-

ตารางภาคผนวก ก-1 (ต่อ)

Day		pH	VFA		Alkalinity		COD			Sulfate			S <sup>2-</sup>	H <sub>2</sub> S
		Eff	Inf	Eff	Inf	Eff	Inf	Eff	% Re	Inf	Eff	% Re	Eff	Eff
100	pH 4	4.42	2,250.0	5,050.0	#N/A	953.3	15,985.1	12,416.4	22.3	8,239.5	7,118.7	13.6	-	-
	pH 5	4.86	2,640.0	5,870.0	885.0	2,340.0	15,489.5	9,318.5	39.8	8,385.7	4,612.8	45.0	-	-
	pH 6	5.19	2,625.0	6,160.0	1,515.0	3,606.7	17,100.4	8,575.0	49.9	7,355.7	5,906.4	19.7	-	-
	pH 7	5.74	2,220.0	5,420.0	2,145.0	4,733.3	15,861.2	9,690.2	38.9	6,867.1	5,470.8	20.3	-	-
105	pH 2.43	-	2,115.0	-	#N/A	-	16,324.8	-	-	8,237.6	-	-	-	-
	pH 4	4.41	2,520.0	5,880.0	300.0	1,000.0	10,854.7	15,099.7	#N/A	9,318.8	8,131.7	12.7	-	-
	pH 5	4.86	2,205.0	5,570.0	880.0	2,493.3	13,846.2	18,102.6	#N/A	8,442.1	7,067.0	16.3	-	-
	pH 6	5.17	2,340.0	6,360.0	2,010.0	3,620.0	18,760.7	13,817.7	26.3	,764.4	6,000.7	22.7	-	-
	pH 7	5.74	2,220.0	5,090.0	2,310.0	4,826.7	14,985.8	13,532.8	9.7	8,564.9	5,381.5	37.2	-	-
110	pH 2.43	-	2,205.0	-	#N/A	-	16,895.0	-	-	5,054.5	-	-	-	-
	pH 4	4.54	2,250.0	5,560.0	#N/A	1,153.3	16,012.2	13,363.8	16.5	5,545.1	7,970.3	#N/A	-	-
	pH 5	4.95	2,265.0	4,890.0	755.0	2,573.3	14,794.5	15,038.1	#N/A	5,834.7	6,736.0	#N/A	-	-
	pH 6	5.23	2,115.0	5,840.0	1,310.0	3,706.7	14,642.3	14,885.8	#N/A	5,996.0	6,520.1	#N/A	-	-
	pH 7	5.87	2,100.0	4,990.0	2,065.0	4,963.3	14,946.7	10,776.3	27.9	6,249.5	5,449.2	12.8	-	-
115	pH 2.43	-	2,370.0	-	#N/A	-	17,381.5	-	-	5,195.2	-	-	-	-
	pH 4	4.54	2,295.0	5,660.0	#N/A	1,273.3	15,169.3	13,273.1	12.5	5,496.4	6,645.8	#N/A	-	-
	pH 5	5.02	2,340.0	5,720.0	780.0	2,963.3	19,985.0	14,627.5	26.8	5,931.3	5,768.9	2.7	-	-
	pH 6	5.22	2,250.0	5,450.0	1,450.0	3,886.7	14,567.3	12,972.2	11.0	5,764.9	5,370.5	6.8	-	-
	pH 7	5.97	2,040.0	5,370.0	1,725.0	5,300.0	16,373.2	14,928.5	8.8	5,872.1	4,597.4	21.7	-	-
120	pH 2.43	-	1,935.0	-	#N/A	-	19,134.2	-	-	5,322.2	-	-	-	-
	pH 4*	4.24	2,115.0	4,070.0	#N/A	613.3	12,554.1	14,314.6	#N/A	5,443.1	5,126.2	5.8	105.6	104.6

ตารางภาคผนวก ก-1 (ต่อ)

Day		pH	VFA		Alkalinity		COD			Sulfate			S <sup>2-</sup>	H <sub>2</sub> S
		Eff	Inf	Eff	Inf	Eff	Eff	% Re	Inf	Eff	% Re	Eff	Eff	
120	pH 5*	4.85	2,085.0	4,920.0	650.0	2,520.0	15,151.5	13,015.9	14.1	5,813.0	4,141.7	28.8	557.1	551.5
	pH 6*	5.03	1,995.0	5,340.0	665.0	3,160.0	13,131.3	12,438.7	5.3	5,575.0	3,883.6	30.3	563.8	558.1
	pH 7*	5.88	1,695.0	4,360.0	565.0	4,976.7	14,574.3	12,150.1	16.6	5,739.4	3,145.4	45.2	864.7	786.8
125	pH 2.43	-	2,145.0	-	#N/A	-	18,042.6	-	-	5,634.7	-	-	-	-
	pH 4*	4.47	2,190.0	5,570.0	#N/A	1,116.7	17,900.7	14,212.8	20.6	5,488.4	4,883.6	11.0	201.6	199.6
	pH 5*	5.09	2,145.0	5,530.0	770.0	3,104.7	18,893.6	14,070.9	25.5	6,126.9	3,963.6	35.3	721.1	713.9
	pH 6*	5.22	2,010.0	5,020.0	1,380.0	3,686.7	18,468.1	13,645.4	26.1	6,318.1	4,132.4	34.6	728.6	721.3
	pH 7*	6.16	1,800.0	5,030.0	1,970.0	5,623.3	18,468.1	13,503.6	26.9	6,359.3	3,038.6	52.2	1,106.9	1,007.3
130	pH 2.43	-	2,670.0	-	#N/A	-	16,095.6	-	-	5,703.7	-	-	-	-
	pH 4*	4.53	2,565.0	5,670.0	#N/A	1,486.7	17,556.1	11,713.2	33.3	5,395.8	4,976.2	7.8	139.9	138.5
	pH 5*	5.17	2,610.0	5,110.0	875.0	3,286.7	17,954.9	13,306.8	25.9	5,682.9	4,113.9	27.6	523.0	517.8
	pH 6*	5.30	2,415.0	5,450.0	1,505.0	3,900.0	14,900.4	11,713.2	21.4	5,617.6	4,083.0	27.3	511.5	506.4
	pH 7*	6.24	2,235.0	5,320.0	2,420.0	5,750.0	15,697.2	9,588.3	38.9	5,744.0	3,057.1	46.8	895.6	815.0
135	pH 2.43	-	2,340.0	-	#N/A	-	14,480.4	-	-	5,012.4	-	-	-	-
	pH 4*	4.64	2,340.0	4,480.0	#N/A	1,250.0	15,354.9	13,719.5	10.7	5,337.2	5,294.8	0.8	-	-
	pH 5*	5.17	2,340.0	5,090.0	880.0	3,106.7	14,559.9	13,378.8	8.1	4,785.8	3,008.0	37.1	592.6	586.7
	pH 6*	5.25	2,265.0	5,190.0	1,465.0	3,660.0	15,014.2	12,810.9	14.7	5,304.1	4,060.9	23.4	414.4	410.3
	pH 7*	6.22	2,010.0	4,550.0	2,340.0	5,623.3	16,149.9	13,038.1	19.3	5,832.1	3,094.2	46.9	912.6	830.5
140	pH 2.43	-	2,115.0	-	#N/A	-	13,131.7	-	-	5,724.8	-	-	-	-
	pH 4*	4.53	2,115.0	5,080.0	#N/A	1,213.3	15,255.0	12,431.8	18.5	5,296.8	4,626.2	12.7	223.5	221.3
	pH 5*	5.02	2,010.0	5,650.0	685.0	2,720.0	14,780.5	13,855.3	6.3	5,572.5	3,967.3	28.8	535.1	529.7

ตารางภาคผนวก ก-1 (ต่อ)

Day		pH	VFA		Alkalinity		COD			Sulfate			S <sup>2-</sup>	H <sub>2</sub> S
		Eff	Inf	Eff	Inf	Eff	Eff	% Re	Inf	Eff	% Re	Eff	Eff	
140	pH 7*	6.01	1,815.0	4,730.0	1,695.0	5,216.7	17,864.8	13,143.5	26.4	6,043.1	3,525.4	41.7	839.2	763.7
	pH 6*	5.04	1,980.0	5,050.0	1,195.0	2,933.3	16,085.4	10,533.8	34.5	5,758.8	4,470.0	22.4	429.6	425.3
145	pH 2.43	-	2,145.0	-	#N/A	-	15,632.2	-	-	5,931.8	-	-	-	-
	pH 4*	4.58	2,100.0	4,490.0	#N/A	1,390.0	17,471.3	12,643.7	27.6	5,494.9	4,516.5	17.8	326.1	322.9
	pH 5*	5.00	2,235.0	4,880.0	785.0	2,750.0	15,044.7	12,516.0	16.8	5,689.7	3,787.9	33.4	634.0	627.6
	pH 6*	5.02	1,995.0	4,590.0	1,630.0	3,036.7	16,705.0	11,622.0	30.4	5,963.6	4,139.9	30.6	607.9	601.8
	pH 7*	5.88	1,845.0	4,230.0	1,850.0	4,933.3	14,150.7	12,771.4	9.7	5,767.3	3,214.0	44.3	851.1	774.5
150	pH 2.43	-	1,785.0	-	#N/A		11,829.5	-	-	3,901.4	-	-	-	-
	pH 4*	4.84	2,235.0	4,090.0	#N/A	2,010.0	16,544.2	14,446.4	12.7	5,811.8	4,824.2	17.0	329.2	325.9
	pH 5*	5.20	2,130.0	5,060.0	735.0	3,373.3	16,435.8	13,972.8	15.0	6,382.6	4,072.0	36.2	770.2	762.5
	pH 6*	5.21	2,265.0	4,940.0	1,445.0	3,550.0	13,830.7	10,183.5	26.4	5,538.2	4,284.3	22.6	418.0	413.8
	pH 7*	6.03	2,055.0	4,670.0	2,255.0	5,366.7	13,357.0	11,722.9	12.2	6,109.0	3,598.4	41.1	836.8	761.5

## ภาคผนวก ก-2 ผลของการวิเคราะห์ทางเคมีของน้ำเสีย และน้ำทิ้ง

ผลการวิเคราะห์น้ำเสีย และน้ำทิ้งของระบบ UASB และ ASBR ที่รับน้ำเสียสกimmer จากระบวนการจับตัวทางน้ำขางด้วยกรดซัลฟูริกของโรงงานอุตสาหกรรมน้ำขางชั้น ปรับพิเศษให้เป็น 7 ด้วยถ้าไม่ขางพารา ระยะเวลาพักทางชลศาสตร์ 7 วัน (ใช้สำหรับภาพประกอบ 3-7 ถึง 3-12)

Day	pH			VFA			Alkalinity			COD						Sulfate						CH <sub>4</sub>	
	Inf	Eff		Inf	Eff		Inf	Eff		Inf	Eff		% Re		Inf	Eff		% Re		% Re			
		U	A		U	A		U	A		U	A	U	A		U	A	U	A	U	A		
16	6.98	7.38	7.21	2,050.0	4,870.0	3,840.0	2,693.3	4,893.3	6,580.0	-	-	-	-	-	-	-	-	-	-	-	-		
18	-	-	-	-	-	-	-	-	-	18,044.30	15,235.0	13,398.2	15.6	25.8	5,195.8	2,984.9	940.4	42.5	81.9	-	-		
19	6.90	6.09	7.05	3,160.0	5,200.0	4,550.0	3,270.0	4,773.3	7,006.7	-	-	-	-	-	-	-	-	-	-	-	-		
24	-	-	-	-	-	-	-	-	-	19,146.4	18,065.9	12,231.2	5.64	36.1	5,436.7	4,708.0	810.8	13.4	85.1	-	-		
28	7.09	5.31	6.75	2,300.0	5,570.0	4,020.0	2,553.3	3,836.7	6,930.0	-	-	-	-	-	-	-	-	-	-	-	-		
30	-	-	-	-	-	-	-	-	-	19,322.6	14,483.9	15,774.2	25.04	18.4	5,322.4	5,003.1	1,317.9	6.0	75.2	-	-		

หมายเหตุ:

- คือ ไม่มีการวิเคราะห์ตัวอย่าง
- #N/A คือ ไม่สามารถหาค่าได้
- Eff คือ น้ำเสียทิ้งจากระบบ (Effluent)
- U คือ ระบบ UASB
- VFA มีหน่วยเป็น mg/L as CH<sub>3</sub>COOH
- Alkalinity มีหน่วยเป็น mg/L as CaCO<sub>3</sub>
- \* คือ ที่สภาวะคงตัว
- Inf คือ นำเสียเข้าระบบ (Influent)
- % Re คือ ร้อยละ ของประสิทธิภาพการกำจัดสารของระบบ (Removal)
- A ระบบ ASBR

หน่วยของพารามิเตอร์ต่างๆ มีดังนี้

VFA	มีหน่วยเป็น mg/L as CH <sub>3</sub> COOH	COD	มีหน่วยเป็น mg/L	CH <sub>4</sub>	มีหน่วยเป็น %
Alkalinity	มีหน่วยเป็น mg/L as CaCO <sub>3</sub>	Sulfate	มีหน่วยเป็น mg/L	H <sub>2</sub> S	มีหน่วยเป็น mg/L

ตารางภาคผนวก ก-2 (ต่อ)

Day	pH			VFA			Alkalinity			COD						Sulfate						CH <sub>4</sub>	
	Inf	Eff		Inf	Eff		Inf	Eff		Inf	Eff		% Re		Inf	Eff		% Re		%			
		U	A		U	A		U	A		U	A	U	A		U	A	U	A	U	A		
33	7.09	5.78	7.72	2,145.0	3,760.0	5,620.0	2,375.0	3,743.3	7,410.0	-	-	-	-	-	-	-	-	-	-	-	-	-	
34	-	-	-	-	-	-	-	-	-	18,829.7	13,396.0	13,500.5	28.86	28.3	5,482.6	4,525.1	843.9	17.5	84.6	-	-	-	
36	7.11	5.31	6.86	2,120.0	4,880.0	5,720.0	2,650.0	3,716.7	7,686.7	-	-	-	-	-	-	-	-	-	-	-	-	-	
37	-	-	-	-	-	-	-	-	-	23,872.2	14,849.6	16,729.3	37.8	29.9	5,674.4	4,467.6	563.2	21.3	90.	-	-	-	
41	7.04	5.23	6.82	2,820.0	4,830.0	5,970.0	3,030.0	4,210.0	8,436.7	-	-	-	-	-	-	-	-	-	-	-	-	-	
42	-	-	-	-	-	-	-	-	-	16,827.8	14,854.9	14,700.2	11.7	12.6	5,094.8	4,851.2	603.2	4.8	88.2	-	-	-	
51	6.96	5.15	6.38	2,200.0	5,290.0	7,360.0	2,700.0	3,640.0	6,900.0	14,699.2	9,624.1	10,000.0	34.5	32.0	5,251.1	4,612.5	1,111.5	12.2	78.8	-	-	-	
53	7.08	5.25	6.53	2,440.0	5,540.0	6,530.0	2,646.7	3,533.3	6,966.7	-	-	-	-	-	-	-	-	-	-	-	-	-	
54	-	-	-	-	-	-	-	-	-	-	-	-	-	-	-	5,496.4	4,728.5	901.1	14.0	83.6	-	-	-
55	-	-	-	-	-	-	-	-	-	22,069.0	13,639.8	17,599.0	38.2	20.2	-	-	-	-	-	-	-	-	-
56	7.02	5.17	6.44	2,550.0	7,040.0	6,990.0	2,946.7	3,826.7	7,520.0	-	-	-	-	-	-	-	-	-	-	-	-	-	
60	7.04	5.29	6.25	2,910.0	5,770.0	5,404.00	3,126.7	4,293.3	7,560.0	-	-	-	-	-	-	-	-	-	-	-	-	-	
61	-	-	-	-	-	-	-	-	-	17,777.8	15,241.5	15,724.6	14.3	11.5	5,119.5	4,716.0	1,402.2	7.9	72.6	-	-	-	
63	7.06	5.3	6.12	2,710.0	6,180.0	7,090.0	2,873.3	4,013.3	7,093.3	-	-	-	-	-	-	-	-	-	-	-	-	-	
64							-	-	-	16,243.1	15,690.6	13,480.7	3.4	17.0	4,761.1	4,680.6	1,481.3	1.7	68.9	-	-	-	
65	7.07	5.13	6.03	2,430.0	6,910.0	7,200.0	2,726.7	3,940.0	6,806.7	-	-	-	-	-	-	-	-	-	-	-	-	-	
66	-	-	-	-	-	-	-	-	-	18,438.7	14,721.2	14,349.44	20.2	22.2	5,078.8	4,498.8	1,681.7	11.4	66.9	-	-	-	
67	-	-	-	-	-	-	-	-	-	-	-	-	-	-	-	-	-	-	-	-	46.6	4.1	
69	6.99	4.96	5.83	1,960.0	5,980.0	6,020.0	2,400.0	3,266.7	5,733.3	-	-	-	-	-	-	-	-	-	-	-	-	-	
70	-	-	-	-	-	-	-	-	-	18,793.4	14,954.3	14,954.30	20.4	20.4	5,179.5	4,416.7	2,001.6	14.7	61.4	-	-	-	

ตารางภาคผนวก ก-2 (ต่อ)

Day	pH			VFA			Alkalinity			COD						Sulfate						CH <sub>4</sub>	
	Inf	Eff		Inf	Eff		Inf	Eff		Inf	Eff		% Re		Inf	Eff		% Re		%			
		U	A		U	A		U	A		U	A	U	A		U	A	U	A	U	A		
76	7.03	5.01	5.6	1,940.00	6,190.0	6,220.0	2,120.0	3,420.0	5,480.0	-	-	-	-	-	-	-	-	-	-	-	-	-	
79	-	-	-	-	-	-	-	-	-	18,386.0	13,473.7	15,929.8	26.7	13.4	5,071.2	4,194.9	2,438.0	17.3	51.9	-	-	-	
82	-	-	-	-	-	-	-	-	-	-	-	-	-	-	-	-	-	-	-	-	33.4	13.1	
83	7.03	5.16	5.51	2,320.0	6,620.0	6,590.0	2,480.0	3,746.7	5,366.7	-	-	-	-	-	-	-	-	-	-	-	-	-	
84	-	-	-	-	-	-	-	-	-	19,186.4	15,118.6	14,101.7	21.2	26.5	5,311.4	4,223.2	2,672.06	20.5	49.7	-	-	-	
86	7.09	5.24	5.55	2,280.0	5,700.0	5,810.0	2,330.0	3,826.7	5,193.3	-	-	-	-	-	-	-	-	-	-	-	-	-	
90																						29.0	24.8
91	-	-	-	-	-	-	-	-	-	17,840.9	14,810.6	13,484.9	17.0	24.4	5,073.8	4,206.1	3,206.5	17.1	36.8	-	-	-	
92	7.09	5.19	5.37	-	-	-	-	-	-	-	-	-	-	-	-	-	-	-	-	-	-	-	
93	-	-	-	2,200.0	5,630.0	5,840.0	2,580.0	3,913.3	4,826.7	-	-	-	-	-	-	-	-	-	-	-	19.4	8.2	
96																						17.2	29.8
97	6.98	5.25	5.32	2,100.0	5,310.0	5,350.0	2,660.0	3,906.7	4,526.7	-	-	-	-	-	-	-	-	-	-	-	-	-	
98	-	-	-	-	-	-	-	-	-	18,957.2	15,232.8	14,301.7	19.6	24.6	4,868.9	4,027.4	4,128.7	17.3	15.2	-	-	-	
101	-	-	-	-	-	-	-	-	-	18,260.3	14,831.8	16,482.5	18.8	9.7	4,167.6	4,055.4	3,969.4	2.7	4.8	-	-	-	
104	-	-	-	-	-	-	-	-	-	-	-	-	-	-	-	-	-	-	-	-	7.3	33.1	

ภาคผนวก ก-3 ผลของการวิเคราะห์ทางเคมีของน้ำเสีย และน้ำทิ้ง

ผลการวิเคราะห์น้ำเสีย และน้ำทิ้งของระบบ UASB และ ASBR ที่รับน้ำเสียสกิมจากกระบวนการจับตัวทางน้ำย่างด้วยกรดซัลฟูริกของโรงงานอุตสาหกรรมน้ำยาขึ้น ปรับพิเศษให้เป็น 8 ด้วยถ้าไม่ย่างพารา ระยะเวลาคัดกรอง 7 วัน (ใช้สำหรับภาพประกอบ 3-7 ถึง 3-12)

Day	pH			VFA			Alkalinity			COD						Sulfate						CH <sub>4</sub>	
	Inf	Eff		Inf	Eff		Inf	% U A		%	Eff U A		% Re U A		Inf	Eff U A		% Re U A		%			
		U	A		U	U		U	A		U	A	U	A		U	A	U	A	U	A		
107	-	-	-	-	-	-	-	-	-	17,393.5	17,017.5	13,508.8	2.2	22.3	4,779.9	4,046.6	4,480.9	15.3	6.3	-	-		
108	7.82	5.07	5.14	2,020.0	5,670.0	5,170.0	2,713.3	3,213.3	3,653.3	-	-	-	-	-	-	-	-	-	-	-	-		
125	-	-	-	-	-	-	-	-	-	22,246.1	16,152.9	14,838.7	27.4	33.3	4,863.3	3,346.7	2,584.8	31.2	46.8	-	-		
126	7.97	7.15	6.75	1,970.0	4,010.0	4,880.0	2,840.0	4,386.7	5,840.0	-	-	-	-	-	-	-	-	-	-	-	-		
129	-	-	-	-	-	-	-	-	-	19,737.1	17,706.1	17,586.6	10.3	10.9	5,471.8	3,873.0	3,167.9	29.2	42.1	-	-		
132	7.73	6.77	6.33	1,690.0	4,880.0	5,630.0	2,773.3	4,973.3	5,853.3	-	-	-	-	-	-	-	-	-	-	-	-		
135	-	-	-	-	-	-	-	-	-	18,740.6	16,545.4	16,776.4	11.7	10.5	5,363.4	3,916.7	3,689.3	27.0	31.2	-	-		
136	7.98	6.46	6.29	1,720.0	5,540.0	6,090.0	2,493.3	5,113.3	5,693.3	-	-	-	-	-	-	-	-	-	-	-	-		
141	-	-	-	-	-	-	-	-	-	20,379.3	15,551.7	15,206.9	23.7	25.4	4,495.1	3,689.2	3,227.0	17.9	28.2	-	-		
142	7.92	7.49	7.05	2,355.0	7,440.0	6,840.0	2,660.0	7,520.0	8,580.0	-	-	-	-	-	-	-	-	-	-	-	-		
147	7.91	7.33	7.09	2,340.0	6,420.0	6,300.0	2,590.0	7,710.0	9,370.0	-	-	-	-	-	-	-	-	-	-	-	-		
148	-	-	-	-	-	-	-	-	-	16,925.7	14,560.8	14,898.6	14.0	12.0	4,659.7	3,980.6	2,258.3	14.6	51.5	-	-		
152	8.13	6.8	7.31	2,040.0	5,985.0	6,960.0	2,850.0	6,790.0	9,810.0	-	-	-	-	-	-	-	-	-	-	-	-		
154	8.02	7.19	6.88	1,980.0	6,135.0	6,825.0	2,650.0	6,120.0	8,410.0	-	-	-	-	-	-	-	-	-	-	-	-		
155	-	-	-	-	-	-	-	-	-	22,441.1	17,944.3	13,875.8	20.0	38.2	4,655.6	3,666.2	2,174.1	21.3	53.3	-	-		

ตารางภาคผนวก ก-3 (ต่อ)

Day	pH			VFA			Alkalinity			COD						Sulfate						CH <sub>4</sub>	
	Inf	Eff		Inf	Eff		Inf	% U A	%	Eff U A	% Re U A	Inf	Eff U A	% Re U A	Inf	Eff U A	% Re U A	%					
		U	A		U	U		U		U	A		U	A		U	A	U	A	U	A		
		7.95	6.97	6.92	2,130.0	6,345.0	6,285.0	3,000.0	7,830.0	6,090.0	-	-	-	-	-	-	-	-	-	-	-		
170	-	-	-	-	-	-	-	-	-	19,066.9	16,024.3	14,198.8	16.0	25.5	4,553.2	3,630.9	2,156.8	20.3	52.6	-	-		
172	7.96	7.06	7.13	2,160.0	5,910.0	6,105.0	2,880.0	6,080.0	9,500.0	-	-	-	-	-	-	-	-	-	-	-	-		
173	-	-	-	-	-	-	-	-	-	20,925.5	13,950.4	14,218.6	33.3	32.0	4,700.0	3,414.4	2,189.8	27.4	53.4	-	-		
176	8.02	7.16	7.24	2,265.0	6,210.0	6,780.0	3,450.0	6,450.0	8,540.0	-	-	-	-	-	-	-	-	-	-	-	-		
189	-	-	-	-	-	-	-	-	-	19,883.5	14,640.8	15,223.3	26.4	23.4	4,988.4	4,006.5	2,652.3	19.7	46.8	-	-		
190	7.95	7.12	7.23	2,505.0	5,340.0	5,685.0	3,510.0	8,970.0	9,690.0	-	-	-	-	-	-	-	-	-	-	-	-		
196	-	-	-	-	-	-	-	-	-	19,047.6	12,952.4	14,476.2	32.0	24.0	4,845.1	3,395.1	2,689.2	29.9	44.5	-	-		
197																				59.2	10.6		
206	8.03	7.47	7.11	2,670.0	6,015.0	6,870.0	3,560.0	7,330.0	8,360.0	-	-	-	-	-	-	-	-	-	-	59.4	9.0		
207	-	-	-	-	-	-	-	-	-	20,180.2	13,333.3	14,955.0	33.9	25.9	4,952.3	3,723.2	2,554.2	24.8	48.4	-	-		
208	-	-	-	-	-	-	-	-	-	-	-	-	-	-	-	-	-	-	-	61.2	6.2		
209	7.92	7.15	7.5	2,640.0	6,300.0	6,555.0	3,520.0	6,750.0	8,840.0	-	-	-	-	-	-	-	-	-	-	-	-		
211																							

ภาคผนวก ก-4 ผลของการวิเคราะห์ทางเคมีของน้ำเสีย และน้ำทิ้ง

ผลการวิเคราะห์น้ำเสียและน้ำทิ้งของระบบ UASB 1 ที่รับน้ำเสียรวมจากระบบบำบัดน้ำเสียของโรงงานอุตสาหกรรมน้ำยาขั้นปรับพื้นที่เป็น 7 ด้วยถ้าไม่  
ยางพารา ระยะกักพักทางชลศาสตร์ 7 วัน (ยศวริศ เบต้อนนัต, 2551)

Day	pH		VFA		Alkalinity		COD			Sulfate		
	Inf	Eff	Inf	Eff	Inf	Eff	Inf	Eff	% Re	Inf	Eff	% Re
95	7.21	8.18	670.0	110.0	2,660.0	4,490.0	5,580.0	597.0	89.3	2,030.8	510.4	74.9
102	7.17	8.07	755.0	65.0	2,860.0	3,920.0	6,882.0	1,209.0	82.4	2,009.9	475.9	76.3
109	7.17	8.16	685.0	50.0	2,370.0	4,370.0	5,766.0	651.0	88.7	1,906.3	478.4	74.9
116	7.25	8.18	670.0	70.0	3,120.0	4,700.0	4,650.0	744.0	84.0	2,099.2	509.3	75.7

หมายเหตุ: - คือ ไม่มีการวิเคราะห์ตัวอย่าง

\* คือ ที่สภาวะคงตัว

#N/A คือ ไม่สามารถหาค่าได้

Inf คือ น้ำเสียเข้าระบบ (Influent)

Eff คือ น้ำเสียทิ้งจากระบบ (Effluent)

% Re คือ ร้อยละ ของประสิทธิภาพการกำจัดสารของระบบ (Removal)

หน่วยของพารามิเตอร์ต่าง ๆ มีดังนี้

VFA มีหน่วยเป็น mg/L as CH<sub>3</sub>COOH

COD มีหน่วยเป็น mg/L

Alkalinity มีหน่วยเป็น mg/L as CaCO<sub>3</sub>

Sulfate มีหน่วยเป็น mg/L

ภาคผนวก ก-5 ผลของการวิเคราะห์ทางเคมีของน้ำเสีย และน้ำทิ้ง

ผลการวิเคราะห์น้ำเสีย และน้ำทิ้งของระบบ ABR ที่รับที่รับน้ำเสียรวมจากระบบบำบัดน้ำเสียของโรงงานอุตสาหกรรมน้ำยางขั้นปรับพิเศษให้เป็น 7 ด้วยถ้า  
ไม้มียางพารา ระยะกักพักทางชลศาสตร์ 7.5 วัน (กัญญาวรรณ์ สุญญพงศ์ทิรเม, 2550)

Day	pH		VFA		Alkalinity		COD			Sulfate		
	Inf	Eff	Inf	Eff	Inf	Eff	Inf	Eff	% Re	Inf	Eff	% Re
181	7.60	7.73	1,114.0	118.0	2,435.0	4,782.0	5,575.0	1,271.0	77.2	2,480.0	126.0	94.9
188	7.64	7.69	1,014.0	114.0	2,455.0	4,584.0	6,943.0	1,311.0	81.1	2,250.0	106.0	95.3
195	7.61	7.69	957.0	114.0	2,376.0	4,623.0	6,455.0	1,291.0	80.0	2,296.0	114.0	95.0
202	7.59	7.69	1,004.0	24.0	1,851.0	4,505.0	6,064.0	1,271.0	79.0	2,293.0	130.0	94.3

หมายเหตุ: - คือ ไม่มีการวิเคราะห์ตัวอย่าง

\* คือ ที่สภาวะคงตัว

#N/A คือ ไม่สามารถหาค่าได้

Inf คือ น้ำเสียเข้าระบบ (Influent)

Eff คือ น้ำเสียทิ้งจากการระบบ (Effluent)

% Re คือ ร้อยละ ของประสิทธิภาพการกำจัดสารของระบบ (Removal)

หน่วยของพารามิเตอร์ต่าง ๆ มีดังนี้

VFA มีหน่วยเป็น mg/L as  $\text{CH}_3\text{COOH}$

Alkalinity มีหน่วยเป็น mg/L as  $\text{CaCO}_3$

COD มีหน่วยเป็น mg/L

Sulfate มีหน่วยเป็น mg/L

## ภาคผนวก ข

### วิธีคำนวณหาปริมาณไฮโดรเจนซัลไฟด์ ( $H_2S$ ) จากการร้อยละการกำจัดซัลเฟต ในระบบไร์օอากาศแบบกะกึงต่อเนื่อง

1. วิธีการคำนวณหาซัลไฟด์ทั้งหมดจากการร้อยละการกำจัดซัลเฟตในระบบไร์օอากาศแบบกะกึงต่อเนื่องจากสมการเคมีดังนี้ คือ



โดย Sulfate 1 mole  $\longrightarrow$  Sulfide 1 mole

Sulfate 96 g  $\longrightarrow$  Sulfide 33 g

$\therefore$  Sulfate 96 mg  $\longrightarrow$  Sulfide 33 mg

Sulfate 1 g  $\longrightarrow$  Sulfide  $\frac{33}{96}$  g

ถ้า Sulfate X g  $\longrightarrow$  Sulfide  $\left(\frac{X \times 33}{96}\right)$  g

จะได้สมการทางคณิตศาสตร์ดังนี้ คือ

$$S_T = \left(\frac{X \times 33}{96}\right) \quad (13)$$

โดยที่  $S_T$  = ปริมาณ Total Sulfide (g หรือ mg)

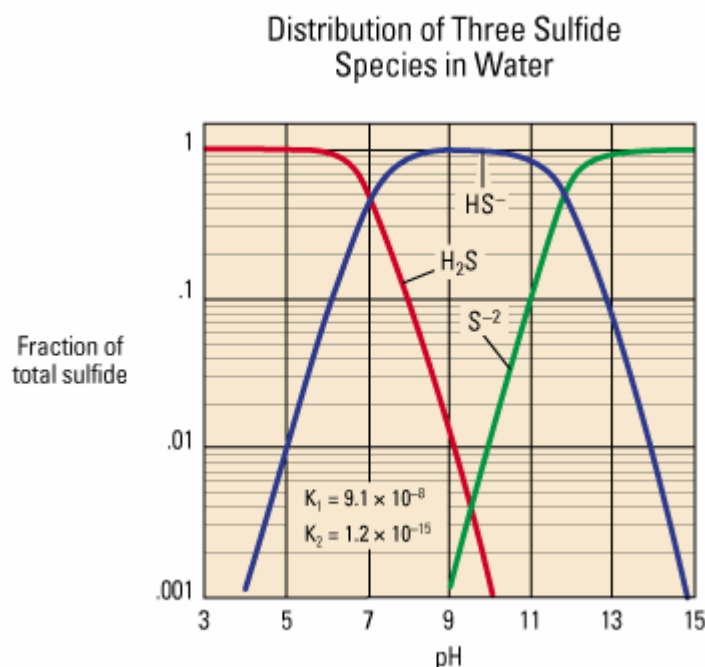
$X$  = ปริมาณซัลเฟตที่ระบบกำจัดได้ (g หรือ mg)

ถ้าในน้ำเสีย 1 L เมื่อเข้าสู่ระบบไร์օอากาศ และสามารถกำจัดซัลเฟตได้ 96 mg จะมีซัลไฟด์ในน้ำทิ้ง 33 mg

ดังนั้น Sulfate 96 mg/L  $\longrightarrow$  Sulfide 33 mg/L

## 2. วิธีการคำนวณหาไฮโดรเจนซัลไฟด์จากร้อยละการกำจัดซัลเฟตในระบบไฮdrogen sulfide ในรากแบบกึ่งต่อเนื่อง

เมื่อได้ปริมาณ Total Sulfide จากข้อ 1. แล้ว แต่ Total Sulfide ประกอบด้วย  $H_2S$  และ  $HS^-$  กายได้เงื่อนไขที่พีอุชของน้ำเสียมีค่าน้อยกว่า 9 แสดงดังภาพประกอบ ข-1 ซึ่ง Total Sulfide สามารถเปลี่ยนรูปตามพีอุชได้ดังสมการต่อไปนี้ คือ

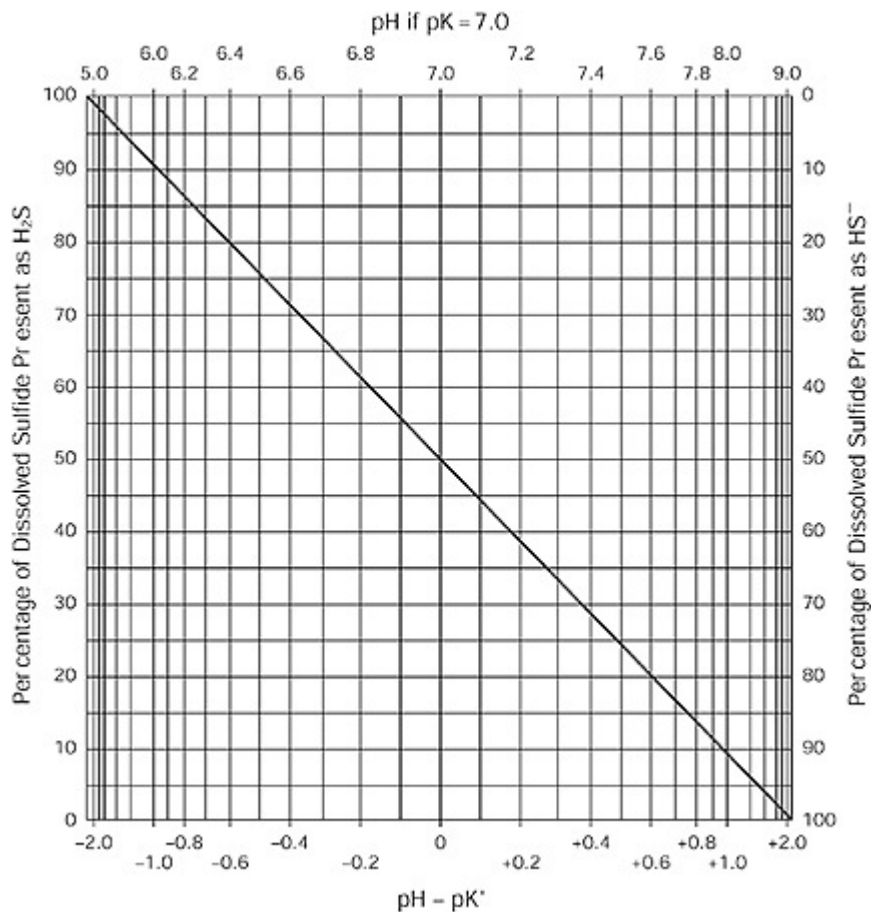


ภาพประกอบ ข-1 ความสัมพันธ์ระหว่างพีอุชกับการเปลี่ยนแปลงของซัลไฟด์  
ที่มา: <http://www.glossary.oilfield.slb.com/DisplayImage.cfm?ID=408>

จากสมการ (14) จะได้  $K' = \frac{[H^+] [HS^-]}{[H_2S]}$  (15)

$$pH - pK' = \log \frac{[HS^-]}{[H_2S]} \quad (16)$$

จากสมการ (16) เมื่อทราบค่า  $pK'$  สามารถนำไปใช้ในสมการ (17) หรือนำไปหาสัดส่วน  $H_2S$  / Total Sulfide จากภาพประกอบ ข-2



ภาพประกอบ ข-2 สัดส่วนของ  $\text{H}_2\text{S}$  และ  $\text{HS}^-$  ของชัลไฟฟ์ในน้ำ  
ที่มา: <http://www.glossary.oilfield.slb.com/DisplayImage.cfm?ID=408>

$$\alpha_{\text{H}_2\text{S}} = \frac{[\text{H}_2\text{S}]}{S_T} = \frac{1}{10^{\text{pH}-\text{pK}'} + 1} \quad (17)$$

โดยที่  $S_T$  = ปริมาณ Total Sulfide (g หรือ mg)

$\alpha_{\text{H}_2\text{S}}$  = อัตราส่วนระหว่าง  $\text{H}_2\text{S}$  / Total Sulfide

$\text{pK}'$  = ค่าคงที่ของปฏิกิริยา ซึ่งได้จากตาราง ข-1

ตาราง ข-1 ตารางแสดงค่า  $pK'$  ในสมการ (17) ที่ระดับ Ionic Strength ต่าง ๆ

Temperature $^{\circ}C$	Ionic Strength						
	0.00	0.05	0.01	0.02	0.03	0.05	0.10
0	7.36	7.33	7.32	7.30	7.29	7.27	7.24
20	7.05	7.02	7.00	6.99	6.97	6.96	6.92
25	6.98	6.95	6.94	6.92	6.91	6.85	6.86
30	6.92	6.89	6.87	6.86	6.84	6.83	6.79

หมายเหตุ: ดัดแปลงจาก Standard Methods for the Examination of Water and Wastewater 2005

$$\text{Ionic Strength} = 1.6 \times 10^{-5} C \quad (18)$$

โดยที่

$C$  = Conductivity,  $\mu\text{mhos}/\text{cm}$

### ตัวอย่าง A

กำหนดให้น้ำเสียมีความเข้มข้นของซัลเฟตเท่ากับ  $4,167.6 \text{ mg/L}$  เมื่อผ่านการบำบัดแบบไข่ หากมีความเข้มข้นของซัลเฟตเท่ากับ  $4,055.4 \text{ mg/L}$  พิเชชเท่ากับ  $5.25 \text{ Conductivity}$  เท่ากับ  $15,360 \text{ } \mu\text{s}/\text{cm}$  ปริมาณน้ำเสียที่เข้าระบบคือ  $330 \text{ mL/day}$  อุณหภูมิ  $25^{\circ}\text{C}$

$$\text{Sulfate Lodging} \left( \frac{\text{mg}}{\text{day}} \right) = \text{Sulfate Concentration} \left( \frac{\text{mg}}{\text{L}} \right) \times \text{Flow} \left( \frac{\text{L}}{\text{day}} \right) \quad (19)$$

$$\text{จากสมการ (13)} \quad S_T = \left( \frac{X \times 33}{96} \right)$$

ความเข้มข้นของซัลเฟตก่อนบำบัดเท่ากับ  $4,167.6 \text{ mg/L}$ , ความเข้มข้นของซัลเฟตหลังบำบัดเท่ากับ  $4,055.4 \text{ mg/L}$  และ อัตราไฟลุ่งของน้ำเสียเข้าระบบ คือ  $330 \text{ ml/day}$  แทนค่าในสมการ (13)

$$\text{จะได้} \quad S_T = \left( \frac{(4,167.6 - 4,055.4) \times 33}{96} \right)$$

$$\text{ดังนั้น} \quad S_T = 38.57 \text{ mg/L} \quad \text{นำໄไปแทนในสมการที่ (17)}$$

$$\alpha_{H_2S} = \frac{[H_2S]}{S_T} = \frac{1}{10^{pH-pK'} + 1}$$

หาค่า  $pK'$  จากตาราง ข-1 และ สมการที่ (18)

จากตัวอย่างกำหนดให้

$$\text{Conductivity} = 15,360 \mu\text{s/cm}$$

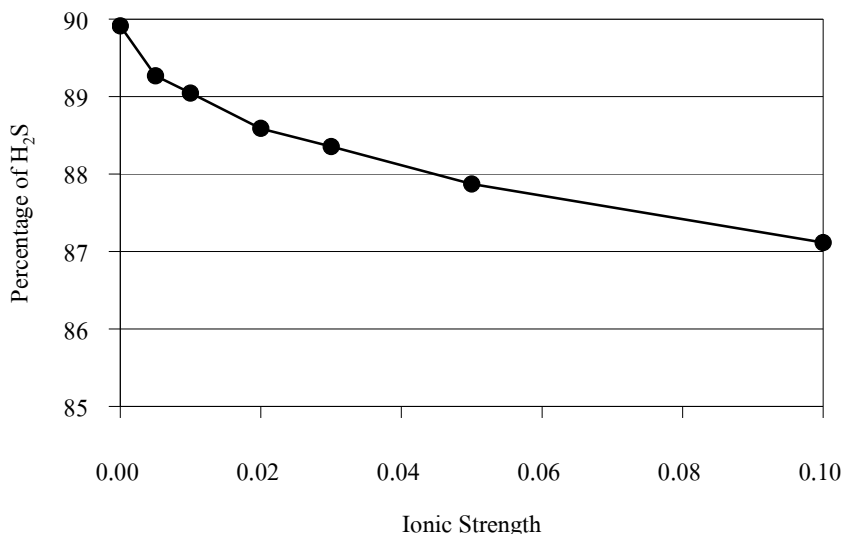
เปลี่ยนหน่วยโดย

$$1 \mu\text{mhos/cm} = 1\mu\text{s/cm}$$

จากสมการ (18) จะได้ว่า

$$\begin{aligned} \text{Ionic Strength} &= (1.6 \times 10^{-5}) \times 15,360 \\ &= 0.25 \quad \text{นำໄປเทียบค่า } pK' \text{ จากตาราง ข-1} \end{aligned}$$

จะเห็นว่าค่า Ionic Strength ที่ได้จากการคำนวณมีค่ามากกว่าที่มีในตาราง ข-1 ถึงแม้ว่า Ionic Strength จะ  $>0.1$  แต่ส่งผลให้  $\alpha_{H_2S}$  แตกต่างกันเพียงเล็กน้อยเท่านั้น โดยความสัมพันธ์ระหว่างค่า Ionic Strength ที่ระดับต่างๆ ในตาราง ข-1 และร้อยละของไฮโดรเจนซัลไฟด์ แสดงดังภาพประกอบ ข-3



ภาพประกอบ ข-3 ความสัมพันธ์ระหว่าง Ionic Strength กับการเปลี่ยนแปลงร้อยละไฮโดรเจนซัลไฟด์ เมื่อได้ค่า  $pK' = 6.89$  แล้วนำໄປแทนในสมการ (17)

ในที่นี่จะเลือกใช้ค่า  $pK'$  ที่ค่า Ionic Strength = 0.1 ที่อุณหภูมิ = 25 °C จะได้  $pK' = 6.89$

$$\alpha_{H_2S} = \frac{[H_2S]}{S_T} = \frac{1}{10^{pH-pK'} + 1}$$

กำหนดให้ pH = 6.98 จะได้ว่า

$$\alpha_{H_2S} = \frac{1}{10^{6.98-6.89} + 1} = 0.9760$$

$$\alpha_{H_2S} = 0.9760 = \frac{[H_2S]}{38.57}$$

$$[H_2S] = 38.57 \times 0.9760 = 37.64 \text{ mg/L}$$

ดังนั้นถ้ามีความเข้มข้นของซัลเฟตเท่ากับ 4,167.6 mg/L เมื่อผ่านการบำบัดแบบไร้อากาศ มีความเข้มข้นของซัลเฟต = 4,055.4 mg/L พีโอล = 5.25 Conductivity = 15,360  $\mu\text{s}/\text{cm}$  ปริมาณนำเสียที่เข้าระบบคือ 330 mL/day อุณหภูมิ 25 °C จะเกิดซัลไฟด์ 38.57 mg/L และเป็น H<sub>2</sub>S = 37.64 mg/L (คิดเป็นร้อยละ 97.6 ของปริมาณซัลไฟด์ทั้งหมด)

## ประวัติผู้เขียน

ชื่อ สกุล	พิริกรน์ ปรีชาเดิศมิตร
รหัสประจำตัวนักศึกษา	4910920023
<b>วุฒิการศึกษา</b>	
วุฒิ	ชื่อสถาบัน
วิทยาศาสตรบัณฑิต (การจัดการสิ่งแวดล้อมอุตสาหกรรม)	มหาวิทยาลัยสงขลานครินทร์ ปีที่สำเร็จการศึกษา 2548

### การตีพิมพ์เผยแพร่ผลงาน

#### การเผยแพร่ในการประชุมวิชาการ

พิริกรน์ ปรีชาเดิศมิตร, สุเมธ ไชยประพักษ์ และปิยรัตน์ บุญแสง. 2552 “ผลของพื้นที่ในการบำบัดน้ำเสียที่ชัลเฟตสูงด้วยระบบไร์อากาศแบบกะกึงต่อเนื่อง” เอกสารประกอบการประชุมเสนอผลงานวิจัยระดับบัณฑิตศึกษาแห่งชาติ ครั้งที่ 14 ณ มหาวิทยาลัยเทคโนโลยีพระจอมเกล้าพระนครเหนือ ระหว่างวันที่ 10-11 กันยายน 2552